

الْحَقُّ

بِسْمِ اللَّهِ الرَّحْمَنِ الرَّحِيمِ





پایان نامه کارشناسی ارشد

گروه پترولوزی و زمین‌شناسی اقتصادی

پترولوزی و ژئوشیمی گنبد‌های سابولکانیک منطقه جنوب شرق سه‌هل

(شمال شرق ترود)

بتول منصوری مقدم

استاد راهنما:

دکتر محمود صادقیان

استاد مشاور:

دکتر حبیب الله قاسمی

مرداد ۱۳۹۴



تقدیم به:

## پدر و مادر عزیز و مهربانم

به پاس تعبیر عظیم و انسانی شان از کلمه ایثار و از خودگذشتگی  
و به پاس قلب های بزرگشان که دلسوزانه در تمام مراحل زندگیم یار و یاورم بودند

۶

## همسر عزیز و گرامی ام

به پاس تمام خوبی هایش و همدلی و حمایت هایش  
و به پاس محبت های بی دریغش و همراهی اش در لحظات تلخ و شیرین زندگی ام

## تشکر و قدردانی:

سپاس و ستایش خدای را عزوجل که آثار قدرت او بر چهره روز روشن، تابان است و انوار حکمت او در دل تار شب، درفشان است. آفریدگاری که خویشتن را به ما شناساند و درهای علم را بر ما گشود و عمر و فرصتی عطا فرمود تا بدان، بندۀ ضعیف خویش را در طریق علم و معرفت بیازماید.

در اینجا فرصت را غنیمت می‌شمارم و از تمام عزیزانی که به من در این راه به هر نحوی کمک کرده‌اند، تشکر و قدردانی می‌کنم. باشد که ذره کوچکی از محبت‌شان را جبران کرده باشم.

پایان نامه حاضر را که تحفه ایست بسیار ناچیز، تقدیم می‌کنم به پدر و مادرم که مقدس‌ترین واژه‌ها در لغتنامه زندگیم هستند؛ پدر، مهربانی مشفق، بردبار و حامی همیشگی من؛ و مادر مهربانم که هر لحظه وجودم را از چشم‌هسار پر از عشق چشمانش سیراب می‌کند؛ خواهر عزیزم، به زلالی چشم‌ه پاکی آب و به طراوت شبنم، که همراه همیشگی من بوده و همواره مرا مديون خوبیهایش کرده است؛ و دو برادر عزیز و مهربانم که قلبم لبریز از عشق به آنهاست و سایه مهربانیشان سایه ساز زندگیم می‌باشد؛ و تقدیم به همسرم که با قلبی آکنده از عشق و معرفت محیطی سرشار از سلامت و امنیت و آرامش و آسایش برای من فراهم آورده است.

جا دارد که از اساتید محترم و فرزانه و دلسوزم که همچون شمعی عاشقانه سوختند تا روشنی بخش راه من باشند تشکر و قدردانی کنم؛ به خصوص استاد خوب و مهربانم جناب آقای دکتر محمود صادقیان، چرا که بدون راهنمایی‌های ایشان به سرانجام رساندن این پایان نامه مشکل بود؛ و استاد گرامی و فداکارم جناب آقای دکتر حبیب... قاسمی که ارشادات ایشان روشنایی بخش ظلمت اندیشه و تاریکی جان من بودند.

و در نهایت از کلیه دوستان و عزیزانی که مرا در این راه یاری کردند تقدیر و تشکر می‌کنم:

خانم‌ها کبری شیخ لیوسی، زهرا صمدی، سمية بابایی، فضیلت یوسفی و زکیه کاظمی؛ و آقایان، عباس محمدی مزرعی، مهندس علیرضا خانعلی زاده، دکتر مهدی جعفرزاده و محمد حسین طرفی؛ و همه کسانی که کمک‌های بی‌دریغشان را نثار من کردند.

## چکیده

منطقه مورد مطالعه در این تحقیق بخشی از نوار ماگمایی شمال ایران مرکزی است که در فاصله ۱۰۰ تا ۱۲۰ کیلومتری جنوب شاهروド و به عبارت دقیق‌تر در ۳۰ کیلومتری جنوب شرق روستای سهل واقع شده است. نوار ماگمایی شمال ایران مرکزی در این منطقه یک توالی آتشفسانی و آتشفسانی- رسوی به سن پالوسن تا اوسن میانی را شامل می‌شود که سنگ‌های آتشفسانی آن دارای ترکیب تراکی بازالتی تا تراکی آندزیتی هستند و سنگ‌های رسوی آن نیز تنوعی از کریستال توف، کریستال لیتیک توف، لیتیک توف، کنگلومرا، ماسه سنگ، سیلیستون، مارن، مارن‌های گچ دار و به مقدار کمتر آهک‌های نومولیت دار را در بر می‌گیرند.

در اوسن بالایی تعدادی توده‌های آذرین نیمه عمیق به شکل گنبد و دایک توالی آتشفسانی- رسوی مورد نظر را قطع کرده‌اند. این توده‌های آذرین دارای ترکیب تراکی آندزیتی بازالتی تا تراکی آندزیتی هستند. پلاژیوکلاز (آندزین- الیگوکلاز)، کلینوپیروکسن (اوژیت)، هورنبلند سیز (تا اکسی هورنبلند) کانی‌های سازنده اصلی این سنگ‌ها هستند. دو دسته آنکلاو هم منشأ (لخته‌های مافیک هورنبلندیتی- پیروکسنیتی و آنکلاوهای میکروگرانولار مافیک) و غیر هم منشأ (میکاشیستی، آمفیبولیتی، گابرویی و تونالیتی) در این سنگ‌ها یافت می‌شوند.

با توجه به نتایج آنالیز شیمیایی، فرایнд تبلور تفریقی و هضم و آلایش پوسته‌ای در تحول ماگمایی سازنده، سنگ‌های آذرین درونی مورد نظر سهیم بوده‌اند. این سنگ‌ها از عناصر خاکی نادر سبک و عناصر لیتوفیل بزرگ یون نظیر La, Ce, Nd, K, Rb, Sr, Th, U غنی شدگی نشان می‌دهند. در مقابل از برخی عناصر نادر سنگین و عناصر با قدرت میدانی بالا (Nb, Ta, Ti, Y, Yb, Lu) تهی شدگی نشان می‌دهند. این ویژگی‌ها با تعلق داشتن آنها به یک کمان ماگمایی حاشیه قاره‌ای سازگار است.

بر اساس ویژگی‌های ژئوشیمیایی، سنگ‌های سازنده گنبدها و دایک‌های تراکی آندزی بازالتی تا تراکی آندزیتی در زمرة آدکیت‌های سیلیس پایین قرار می‌گیرند. آدکیت‌های سیلیس پایین از تبلور مذاب- هایی حاصل می‌شوند که از ذوب گوه گوشه‌ای پریدوتیتی تحول یافته (Modified) یا متاسوماتیسم شده توسط سیالات آزاد شده از ورقه اقیانوسی فرورونده (در طی دگرگونی) سرچشمه گرفته‌اند.

با توجه به زمین شناسی منطقه، و زمین شناسی کلی شمال و شمال شرق ایران در زمان اوسن، فرورانش ورقه اقیانوسی نئوتیس شاخه سبزوار (درونه) به زیر لبه جنوبی ورقه البرز و پیامد آن ذوب و تحول گوه گوشه‌ای روی ورقه مذکور، به تشکیل سنگ‌های آذرین مورد نظر منجر شده است.

**واژه‌های کلیدی:** گنبد، تراکی آندزیت، گوه گوشه‌ای، متاسوماتیسم، آدکیت، سبزوار شاهرود، سهل.

## مقالات مستخرج از این پایان نامه

منصوری مقدم ب، صادقیان م، قاسمی ح. (۱۳۹۳)، پترولوزی و ژئوشیمی گنبدهای سابولکانیک جنوب شرق سهل، مجموعه مقالات هجدهمین همایش انجمن زمین شناسی ایران، دی ماه ۱۳۹۳.

منصوری مقدم ب، صادقیان م، قاسمی ح. (۱۳۹۳)، پترولوزی آنکلاوهای گنبدهای نیمه عمیق جنوب شرق سهل (جنوب شاهرود)، مجموعه مقالات هجدهمین همایش انجمن زمین شناسی ایران، دی ماه

۱۳۹۳

## فهرست مطالب

۱	فصل اول: کلیات
۲	۱- موقعیت جغرافیایی منطقه و راههای ارتباطی
۴	۲- ژئومورفولوژی
۵	۳- آب و هوای جغرافیای انسانی
۶	۴- کارهای انجام شده قبلی
۱۴	۵- روش مطالعه
۱۴	۱-۵-۱- جمع آوری اطلاعات زمین شناسی منتشر شده قبلی و نقشه های زمین شناسی و توپوگرافی منطقه
۱۴	۲-۵-۱- عملیات صحرایی
۱۴	۳-۵-۱- مطالعات آزمایشگاهی
۱۵	۶- اهداف
۱۷	فصل دوم: زمین شناسی عمومی منطقه
۱۸	۱-۲- مقدمه
۱۹	۲-۲- زمین شناسی عمومی و واحدهای سنگی موجود در منطقه
۲۲	۲-۲-۱- تریاس - ژوراسیک - کرتاسه
۲۳	۲-۲-۲- مجموعه آتشفسانی - رسوبی پالئوسن - ائوسن
۲۶	۳-۲-۲- سنگهای آذرین نیمه عمیق ائوسن بالای
۳۲	۴-۲-۲- مارنهای نئوژن و پادگانه های آبرفتی کواترنری
۳۲	۴-۳- زمین شناسی ساختمانی و تکتونیک منطقه
۳۵	فصل سوم: پتروگرافی
۳۶	۱-۳- مقدمه
۳۷	۲-۳- ویژگیهای پتروگرافی گنبدهای آذرین
۳۷	۲-۳-۱- آندزیتها
۳۷	کانیهای اصلی
۴۰	کانیهای فرعی
۴۱	کانیهای ثانویه
۴۵	۳-۳- پتروگرافی سنگهای میزبان

۴۵	..... بازالت ۳-۱
۴۶	..... سنگهای رسوبی ۳-۲
۴۸	..... پتروگرافی آنکلاوهای ۳-۴
۴۹	..... آنکلاوهای زینولیتی ۴-۱
۵۰	..... آنکلاوهای اтолیتی ۴-۲
۵۳	..... فصل چهارم: ژئوشیمی
۵۴	..... ۴-۱ مقدمه
۵۴	..... ۴-۲ آماده سازی و تجزیه شیمیایی نمونه ها و منابع بروز خطا در طی این مراحل
۵۵	..... ۴-۳ تصحیح داده های حاصل از تجزیه ژئوشیمیایی
۵۷	..... ۴-۴ کاربرد داده های ژئوشیمیایی
۵۷	..... ۴-۵ طبقه بندی و نامگذاری سنگهای مورد مطالعه
۵۷	..... ۴-۶ طبقه بندی شیمیایی
۵۸	..... ۴-۷ رده بندی شیمیایی با استفاده از: نمودار وینچستر و فلواید (۱۹۷۹) و نمودار میدلموست (۱۹۹۴)
۵۹	..... ۴-۸ رده بندی شیمیایی به کمک نمودار پکسریلو و تیلور (۱۹۷۶)
۵۹	..... ۴-۹ بررسی تغییر و تحولات ژئوشیمیایی به کمک نمودارهای تغییرات
۶۲	..... ۴-۱۰ نمودارهای تغییرات اکسیدهای عناصر اصلی در مقابل $\text{SiO}_2$ (هارکر، ۱۹۰۹)
۶۴	..... ۴-۱۱ نمودارهای تغییرات با استفاده از عناصر کمیاب و کمیاب خاکی در مقابل $\text{SiO}_2$ (هارکر، ۱۹۰۹)
۶۸	..... ۴-۱۲ نمودارهای تغییرات اکسیدهای اصلی در برابر ضربی تفرقی (D.I) (تورنتن و تاتل، ۱۹۶۰)
۶۹	..... ۴-۱۳ نمودارهای تغییرات عناصر کمیاب در برابر شاخص تفرقی (D.I)
۷۰	..... ۴-۱۴ نمودارهای تغییرات اکسیدهای اصلی در مقابل شاخص انجاماد (S.I)
۷۲	..... ۴-۱۵ نمودارهای تغییرات برخی عناصر کمیاب در مقابل یکدیگر و نسبتهای آنها
۷۴	..... ۴-۱۶ تعیین سری ماقمایی
۷۵	..... ۴-۱۷ نمودار فراوانی تغییرات عناصر خاکی کمیاب بهنجار شده نسبت به مقادیر کندریتی (ناکامورا، ۱۹۷۴)
۷۶	..... ۴-۱۸ نمودارهای عنکبوتی
۷۷	..... ۴-۱۹ نمودار عنکبوتی چند عنصری هنجار شده نسبت به گوشه اولیه (سان و مک دونوف، ۱۹۸۹)
۷۸	..... ۴-۲۰ بررسی ویژگیهای ژئوشیمیایی سنگهای آذرین نیمه عمیق مورد مطالعه
۷۹	..... ۴-۲۱ تقسیم بندی آدکیتها
۸۳	..... فصل پنجم: پتروژنز و جایگاه تکتونیکی
۸۴	..... ۵-۱ مقدمه

۸۴	۵- بررسی نقش هضم، آلایش و تفریق ماغمایی در تحول سنگهای نیمه عمیق مورد مطالعه
۸۵	۳- تعیین جایگاه تکتونیکی و محل منشأ آدکیتهای مورد مطالعه
۸۸	۴- خصوصیات محل منشأ و الگوی تکتونوماگمایی تشکیل سنگهای آذرین مورد مطالعه
۹۰	۵- مدل تکتونیکی تشکیل ماغمایی آدکیتهای منطقه مورد مطالعه
۹۴	۶- مقایسه آدکیتهای مورد مطالعه با آدکیتهای سایر نقاط ایران و جهان
۹۷	<b>فصل ششم: نتیجه گیری و پیشنهادها</b>
۹۸	۱- نتیجه گیری
۱۰۰	۲- پیشنهادها
۱۰۱	منابع
۱۰۲	منابع فارسی:
۱۰۸	Reference

## فهرست اشکال

۲	شكل ۱-۱- موقعیت منطقه مورد مطالعه در نقشه پهنههای رسوبی- ساختاری عمدۀ ایران (آقاباتی، ۱۳۸۳).
۳	شكل ۱-۲- الف- راههای دسترسی به منطقه جنوب شرق سهل (برگرفته شده از نرمافزار Google Earth).
۳	شكل ۱-۲- ب- تصویر ماهواره‌ای که نشان دهنده راههای دسترسی به منطقه مورد مطالعه (محدوده مورد مطالعه با یک چند ضلعی نامنظم مشخص شده است).
۴	شكل ۱-۳- تصویر ماهواره‌ای نشان دهنده محدوده منطقه مورد مطالعه در مقیاسی بزرگتر.
۵	شكل ۱-۴- تصویری از کوههای مرتفع و دارای یالهای پرشیب (گنبد بازمیں و سنگهای میزان آن، دید به سمت جنویشرق).
۵	شكل ۱-۵- رخمنون تپه ماهوری از توالی آتشفسانی- رسوبی ائوسن (دید به سمت شرق).
۶	شكل ۱-۶- تصویری از شترها در حال چرا در منطقه.
۶	شكل ۱-۷- نمایی از روستای سهل (دید به سمت شمال).
۲۱	شكل ۲-۱- نقشه زمین‌شناسی جنوب شرق سهل. با استفاده از تصاویر ماهواره‌ای و نرمافزار Arc GIS باز سازی شده است.
۲۳	شكل ۲-۲- تصویری از کنگلومرای مربوط به واحد رسوبی تریاس- ژوراسیک.
۲۴	شكل ۲-۳- تصویری از کنگلومرای پالئوسن.
۲۴	شكل ۲-۴- تصویری از کنگلومرای ائوسن.
۲۴	شكل ۲-۵- تصویری از ساخت چینه بندی مورب در ماسه سنگهای ائوسن.
۲۵	شكل ۲-۶- تصویر نشان دهنده ناپیوستگی بین ژوراسیک و قاعده توالی ائوسن.

..... ۲۵	شکل ۲-۷- تصویری از دایک قطع کننده توالی آتشفسانی - رسوبی اتوسن.
..... ۲۶	شکل ۲-۸- تصویری از توده آذرین نیمه عمیق به همراه سنگهای میزبان مارنی که در مجاورت توده دگرگون شده اند.
..... ۲۶	شکل ۲-۹- سنگهای توفی سیلتستونی دگرگون شده در مجاورت توده گنبد بازمیں.
..... ۲۶	شکل ۲-۱۰- نمای نزدیکی از سنگهای توفی سیلتستونی که در مجاورت گنبد بازمیں متحمل دگرگونی مجاورتی شده اند.
..... ۲۷	شکل ۲-۱۱- تصویر ماهواره ای که نشان دهنده محل رخنمون برخی از گنبدهای منطقه مورد مطالعه است.
..... ۲۸	شکل ۲-۱۲- تصاویر صحرا ای از گنبدهای مورد مطالعه.
..... ۲۹	شکل ۲-۱۳- الف- تصویر ماهواره ای نشان دهنده موقعیت قرارگیری محل رخنمون دایکهای تغذیه کننده. ب- دورنمایی از رخنمون دایکها در صحراء. ج- نمای نزدیکی از دایک تغذیه کننده گنبدهای نیمه عمیق که در توالی آتشفسانی و آتشفسانی رسوبی اتوسن نفوذ کرده اند.
..... ۳۱	ز- حضور بلورهای کشیده هورنبلند در زمینهای از پلازیوکلاز و به نمایش گذاشتن ساخت پگماتیتی
..... ۳۱	ح- تصویری از آنکلاوهای میکروگرانولار مافیک (با ترکیب دیوریتی).
..... ۳۱	شکل ۲-۱۴- تصویری از انواع آنکلاوهای موجود در سنگهای تشکیل دهنده گنبدهای منطقه جنوب شرق سهل.
..... ۳۳	شکل ۲-۱۵- نقشه پراکندگی گسلهای منطقه جنوب سهل برگرفته از نقشه زمین‌شناسی ۱:۱۰۰.۰۰۰ (۱۳۸۲).
..... ۴۲	شکل ۳-۱- تصویری از آندزیت در نمونه دستی.
..... ۴۲	شکل ۳-۲- تصویری از بافت غربالی در فنوکریست پلازیوکلاز (XPL).
..... ۴۳	شکل ۳-۳- بافت پورفیری در آندزیتها از اوزیت و اکسی هورنبلند با مقطع عرضی شش گوش (PPL).
..... ۴۳	شکل ۳-۴- بافت گلومرپورفیری حاصل از تجمع فنوکریستهای اوزیت در آندزیتها (XPL).
..... ۴۳	شکل ۳-۵- فنوکریستهای پلازیوکلاز دارای منطقه بندی ترکیبی و ریز بلورهای پلازیوکلاز در زمینه سنگ به همراه فنوکریستهای هورنبلند با ماکل گوه ای (XPL).
..... ۴۳	شکل ۳-۶- مقطع طولی یک فنوکریست هورنبلند که دارای منطقه بندی نیز است (XPL).
..... ۴۳	شکل ۳-۷- بافت گلومرپورفیری حاصل از تجمع فنوکریستهای تیتاناآوزیت به همراه ادخال مگنتیت موجود در آنها (XPL).
..... ۴۳	شکل ۳-۸- تصویری از اکسی بیوتیت به همراه مگنتیت در حاشیه و اطراف آن (PPL).
..... ۴۴	شکل ۳-۹- تصویری از ادخال آپاتیت موجود در هورنبلند سبز (PPL).
..... ۴۴	شکل ۳-۱۰- حضور کانیهای اپک به صورت ادخال در هورنبلند (PPL).
..... ۴۴	شکل ۳-۱۱- بلورهای شعاعی زئولیت (دارای بافت اسفلولیتی) در سنگهای آندزیتی. زئولیت یک کانی ثانویه و پرکننده درزه ها و حفرات آندزیتها است.
..... ۴۵	شکل ۳-۱۲- الف و ب- تصویر میکروسکپی از آندزیتها غنی از پلازیوکلاز (الف- XPL و ب- PPL). ج- تصویر میکروسکپی از آندزیتها غنی از پیروکسن (XPL). د- تصویر میکروسکپی از آندزیتها غنی از هورنبلند (PPL).

شکل ۳-۱۳- تصویر میکروسکپی از بافت پورفیری متاثر از وجود فنوکریست پیروکسن دارای ماکل ساعت شنی در بازالت های پورفیری (XPL). .....	۴۷
شکل ۳-۱۴- تصویر میکروسکپی از کنگلومرا (XPL). .....	۴۷
شکل ۳-۱۵- تصویر میکروسکپی از وضعیت دانه بندی و کانیهای سازنده ماسه سنگهای مورد مطالعه همراه با رگه کلسیتی قطع کننده آن. کوارتز، خردهای پلازیوکلاز، خرده های کانیهای اوپک و کانیهای فرومینیزین سازنده‌گان آنها هستند (PPL). .....	۴۸
شکل ۳-۱۶- تصویر میکروسکپی آهک میکراتی به همراه رگه کلسیتی اسپارایتی قطع کننده آن (PPL). .....	۴۸
شکل ۳-۱۷- تصویر میکروسکپی از ساختار استیلولیتی موجود در سنگ آهک میکراتی (PPL). .....	۴۸
شکل ۳-۱۸- تصویر میکروسکپی آنکلاو آمفیبوليتی به همراه بخشی از سنگ در برگیرنده آن (PPL). .....	۴۹
شکل ۳-۱۹- تصویر میکروسکپی نشان دهنده برگوارگی در آنکلاو آمفیبوليتی (PPL). .....	۴۹
شکل ۳-۲۰- تصویر میکروسکپی از آنکلاو گنیسی. .....	۵۰
شکل ۳-۲۱- تصویر میکروسکوپی آنکلاو پیروکسنیتی و سنگ در برگیرنده آن (XPL). .....	۵۰
شکل ۳-۲۲- تصویری از حضور هورنبلندهای آنکلاو در آنکلاو گابرویی (XPL). .....	۵۱
شکل ۳-۲۳- تصویری از هورنبلندهای آنکلاو در آنکلاو گابرویی (XPL). .....	۵۱
شکل ۳-۲۴- تصویر میکروسکپی آنکلاو گابرویی (XPL) و (PPL). .....	۵۲
شکل ۳-۲۵- تصویری از بافت گرانولار و حضور هورنبلندهای آنکلاو دیوریتی (XPL) و (PPL). .....	۵۲
شکل ۴-۱- الف- نمودار رده بندی سنگهای آتشفسانی و آذرین نیمه عمیق (میدلموست، ۱۹۹۴). ب- مقایسه نمونه های مورد مطالعه با نمونه های مربوط به منطقه رزه (از جمالی، ۱۳۹۳). این نمونه ها با لوزی نمایش داده شده اند) و موقعیت سنگهای مورد مطالعه بر روی آن. .....	۶۰
شکل ۴-۲- طبقه بندی سنگ های خروجی با استفاده از نسبت های Zr/TiO <sub>2</sub> در برابر Y/Nb (وینچستر و فلويد، ۱۹۷۷). .....	۶۱
شکل ۴-۳- نمودار درصد وزنی K <sub>2</sub> O در برابر SiO <sub>2</sub> (پکسریلو و تیلور، ۱۹۷۶) جهت تعیین سری سنگهای آذرین. .....	۶۱
شکل ۴-۴- نمودارهای درصد اکسیدهای عناصر اصلی در مقابل SiO <sub>2</sub> (نمودارهای هارکر) نمونه های سنگی مورد مطالعه. .....	۶۳
شکل ۴-۵- نمودارهای عناصر فرعی و کمیاب خاکی در مقابل SiO <sub>2</sub> . .....	۶۵
شکل ۴-۶- الف- نمودار مجموع MnO ، FeOt و MgO در مقابل SiO <sub>2</sub> . ب- نمودار مجموع CaO و Na <sub>2</sub> O در مقابل ج- نمودار مجموع TiO <sub>2</sub> ، MnO و FeOt در مقابل SiO <sub>2</sub> . د- نمودار Yb+Y در مقابل SiO <sub>2</sub> این نمودارها روندی نزولی نشان میدهند. .....	۶۷
شکل ۴-۷- نمودارهای شاخص تفریق در مقابل درصد وزنی اکسیدهای عناصر اصلی (تورنتن و تاتل، ۱۹۶۰). .....	۶۹
شکل ۴-۸- نمودارهای شاخص تفریق در مقابل عناصر کمیاب. .....	۷۰
شکل ۴-۹- نمودارهای شاخص انجامداد در مقابل درصد وزنی اکسیدهای عناصر اصلی (کونو، ۱۹۶۰). .....	۷۱
شکل ۴-۱۰- نمودارهای تغییرات عناصر ناسازگار - ناسازگار. .....	۷۳
شکل ۴-۱۱- نمودار، تغییرات عناصر سا:گا، - ناسا:گا. .....	۷۳

۱۲- نمودار نسبت- نسبت عناصر ناسازگار..... ۷۴

شکل ۴-۱۳- نمودار AFM برای تعیین سری ماقمایی سنگهای منطقه (ایروین و باراگار، ۱۹۷۱) و موقعیت آنها بر روی آن.. ۷۴

شکل ۴-۱۴- نمودار فراوانی عناصر کمیاب خاکی (REE) هنجار شده به مقادیر کندritی (ناکامورا، ۱۹۷۴) برای نمونه های مورد مطالعه..... ۷۶

شکل ۴-۱۵- نمودار عنکبوتی بهنجار شده نسبت به گوشه اولیه (سان و مک دو نوف، ۱۹۸۹) برای نمونه های مورد مطالعه.. ۷۸

از نمودار  $\text{SiO}_2\text{-MgO}$  (مارتن و همکاران، ۲۰۰۵) (شکل ۴-۱۷) برای تفکیک آداکیتها استفاده شد. با توجه به این نمودار سنگهای مورد مطالعه از نوع کم از سیلیس هستند. .... ۸۰

شکل ۴-۱۶- نمودار نسبت  $\text{Sr/Y}$  (کاستیلو، ۲۰۰۶) در برابر (ppm) (Y) در برابر (Rb/Zr) در برابر  $\text{K}_2\text{O}/\text{Na}_2\text{O}$  (اسپرانسا و همکاران، ۱۹۹۲). مطابق این نمودار نمونه های سنگی مورد مطالعه از روند تبلور تفریقی همراه با هضم و الایش تعیین پوسته ای می کنند. .... ۸۰

شکل ۴-۱۷- نمودار  $\text{SiO}_2\text{-MgO}$  مارتین و همکاران (۲۰۰۵) و قرارگیری نمونه ها در محدوده آداکیتها کمسیلیس.... ۸۱

شکل ۵-۱- نمودار نسبت  $\text{Rb/Zr}$  در برابر  $\text{K}_2\text{O}/\text{Na}_2\text{O}$  (اسپرانسا و همکاران، ۱۹۹۲). مطابق این نمودار نمونه های آداکیت های کم سیلیس منطقه مورد مطالعه. ج- نمودار  $\text{Sr/Y}$  در مقابل Y جهت تعیین ماقماهای آداکیتی کم سیلیس مورد مطالعه. نمونه ها در امتداد روندی قرار می گیرند که معرف ذوب گوه گوشه ای می باشد. د- نمودار  $\text{Y/Nb}$  در مقابل La/Y جهت تعیین منشاء آداکیت های مورد مطالعه. .... ۸۵

شکل ۵-۲- الف- نمودار بهنجار شده برای آداکیت های کم سیلیس ارائه شده توسط مکفرسون(۲۰۰۶). ب- نمودار بهنجار شده آداکیت های کم سیلیس منطقه مورد مطالعه. ج- نمودار  $\text{Sr/Y}$  در مقابل Y جهت تعیین ماقماهای آداکیتی کم سیلیس مورد مطالعه. نمونه ها در امتداد روندی قرار می گیرند که معرف ذوب گوه گوشه ای می باشد. د- نمودار  $\text{Y/Nb}$  در مقابل La/Y جهت تعیین منشاء آداکیت های مورد مطالعه. .... ۸۸

شکل ۵-۳- مدل پترولوجیکی چگونگی تشکیل انواع ماقماهای آداکیتی در مناطق فرورانشی کمان آتشفسانی (موین، ۲۰۰۹)... ۸۹

شکل ۵-۴- الگوی نمادین نشان دهنده تشکیل حوضه های آتشفسانی روسی در یک محیط پشت قوس مرتبط با فرورانش ورقه اقیانوسی سبزوار به زیر لبه شمالی ایران مرکزی (قاسمی و رضایی، ۲۰۱۵). .... ۹۱

شکل ۵-۵- مدل احتمالی پیشنهاد شده توسط مکفرسون (۲۰۰۶)، برای تشکیل سنگهای آداکیتی کم سیلیس و فرایندهای مرتبط با تشکیل این آداکیت ها در فیلیپین. .... ۹۳

شکل ۵-۶- الگوی نمادین نشان دهنده چگونگی تشکیل ماقماهای سازنده توده های نیمه نفوذی آداکیتی جوان تر از ائوسن در منطقه مورد مطالعه و مناطق همچوار نظیر احمدآباد و مقیسه. .... ۹۳

شکل ۵-۷- الگوی نمادین نشان دهنده چگونگی تشکیل ماقماهای سازنده توده های نیمه نفوذی آداکیتی جوان تر از ائوسن در منطقه مورد مطالعه و مناطق همچوار نظیر احمدآباد و مقیسه. .... ۹۳

شکل ۵-۸- الگوی نمادین نشان دهنده وضعیت جایگیری و رخمنون یافتن گنبدهای آداکیتی مورد مطالعه در اوخر الیکوسن- میوسن ..... ۹۴

شکل ۵-۹- الگوی نمادین جایگزینی توده های آذرین نیمه عمیق (سنگهای آداکیتی مورد مطالعه) بعد از ائوسن منطقه سبزوار (جمشیدی، و همکاران، ۲۰۱۵). .... ۹۴

## فهرست جداول

جدول ۴-۱- مشخصات و مختصات جغرافیایی محل برداشت نمونه‌های سنگی آنالیز شده بر حسب UTM.....	۵۵
جدول ۴-۲- نتایج آنالیز شیمیایی عناصر اصلی، عناصر کمیاب و کمیاب خاکی نمونه‌های مورد مطالعه منطقه جنوب شرق سهل، پس از حذف مواد فرار و تصحیح نسبت $Fe_2O_3/FeO$ .....	۶۶
جدول ۴-۳- مقایسه ویژگی‌های ژئوشیمیایی سنگ‌های منطقه مورد مطالعه با ویژگی‌های ژئوشیمیایی مطرح شده توسط کاستیلو (۲۰۱۲).....	۸۰
جدول ۵ - ۱- مقایسه ویژگی‌های ژئوشیمیایی آداسیت‌های مورد مطالعه با آداسیت‌های سایر نقاط ایران.....	۹۶
جدول ۵ - ۲- مقایسه ویژگی‌های ژئوشیمیایی آداسیت‌های مورد مطالعه با آداسیت‌های سایر نقاط جهان.....	۹۶

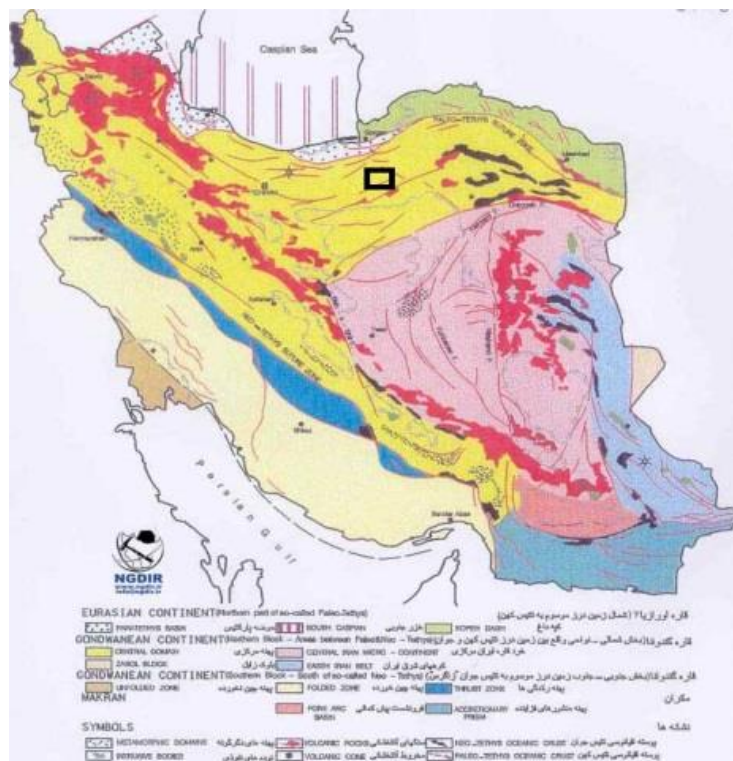


# فصل اول

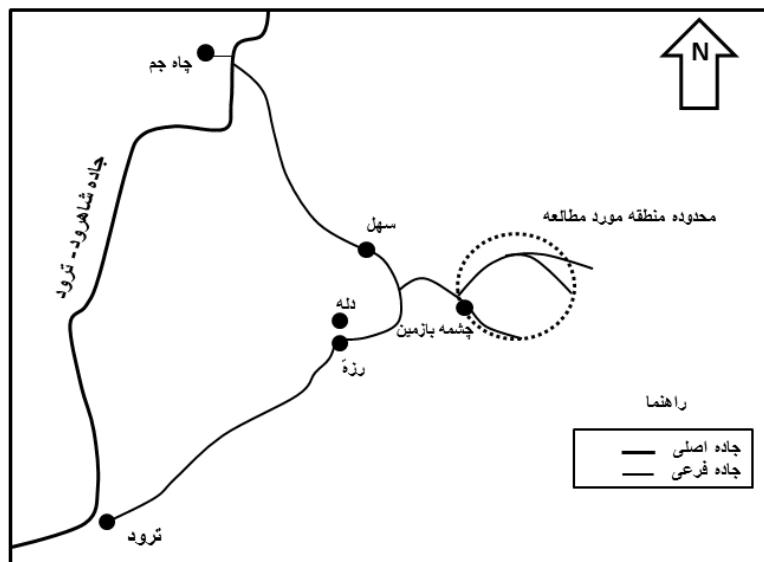
## کلیات

## ۱-۱- موقعیت جغرافیایی منطقه و راههای ارتباطی

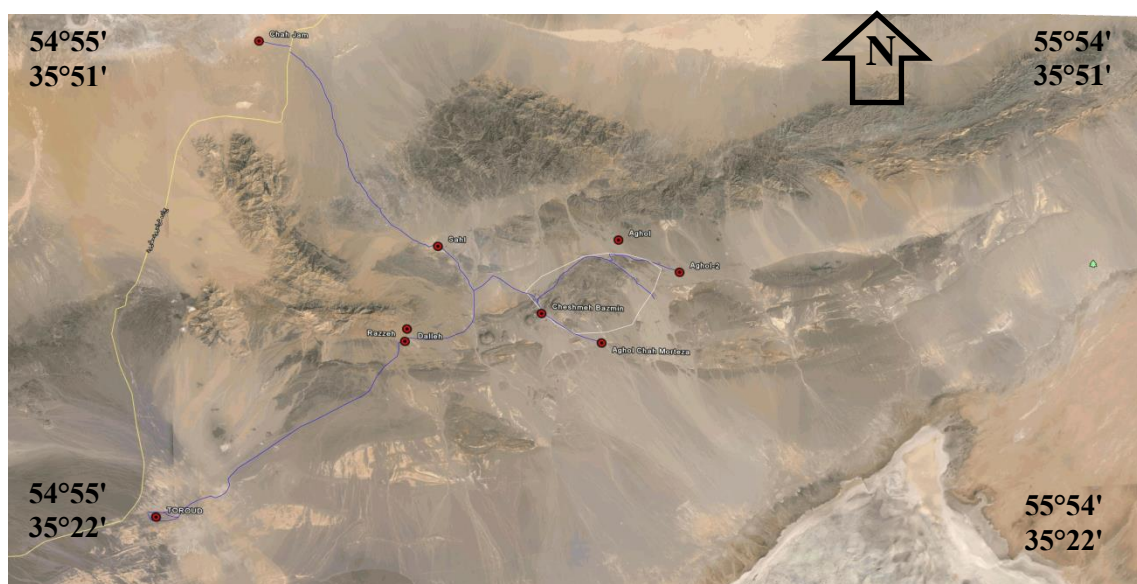
منطقه مورد مطالعه در حدود ۱۲۰ کیلومتری جنوب شهرستان شاهرود، در مسیر جاده شاهرود- ترود قرار گرفته است (شکل ۱-۱). این منطقه بین طولهای جغرافیایی $^{\circ} ۴۲' ۵۵$  تا  $۴۸' ۵۵$  شرقی و عرضهای جغرافیایی $^{\circ} ۳۵' ۶۴$  تا  $۳۵' ۵۹$  شمالی واقع شده است. دسترسی به این منطقه از طریق جاده شاهرود - ترود است. در کیلومتر ۷۵ این جاده (به سمت ترود) در سمت شرق، یک جاده خاکی به سمت سهل منشعب می‌شود که پس از ۲۸ کیلومتر به روستای سهل می‌رسد و سپس با ادامه این جاده به سمت جنوب و جنوب‌شرق (به فاصله ۱۲ تا ۲۰ کیلومتر) به منطقه مورد مطالعه دسترسی خواهیم رسید (شکل ۱-۲ و ۱-۳).



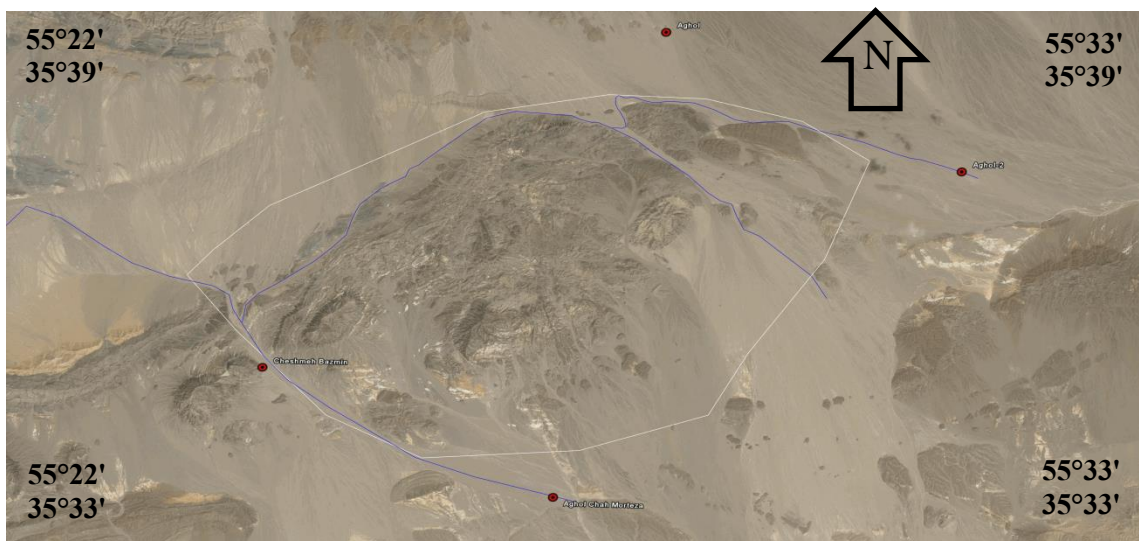
شکل ۱-۱- موقعیت منطقه مورد مطالعه در نقشه پهنه‌های رسوی- ساختاری عمده ایران (آفتابی، ۱۳۸۳).



شکل ۱-۲-الف- راههای دسترسی به منطقه جنوب سهل (برگرفته شده از نرم افزار Google Earth).



شکل ۱-۲-ب- تصویر ماهواره‌ای که نشان دهنده راههای دسترسی به منطقه مورد مطالعه (محدوده مورد مطالعه با یک چند ضلعی نامنظم مشخص شده است).



شکل ۱-۳ - تصویر ماهواره‌ای نشان دهنده محدوده منطقه مورد مطالعه در مقیاسی بزرگتر.

## ۱-۲-۱- ژئومورفولوژی

ریخت سطحی زمین و توپوگرافی هر منطقه، به عواملی همچون ویژگی‌های ساختاری، سنگ‌شناختی و آب و هوایی آن منطقه بستگی دارد. منطقه مورد مطالعه در بخش کوهستانی قرار گرفته است و می‌توان آن را منطقه‌ای نسبتاً مرتفع به شمار آورد. این منطقه از دیدگاه زمین ریخت‌شناسی دارای وضعیت بسیار ناهمانگ است. رفتار متفاوت واحدهای سنگی نسبت به پدیده‌های فرسایشی و نیز عوامل تکتونیکی، با توجه به تنوع ترکیب سنگ‌شناختی موجود، باعث ایجاد ساختار ریخت‌شناسی ناهمانگی در منطقه شده است و در نتیجه شکل دره‌ها، شبکه آبراهه‌ها و ارتفاع واحدهای بسیار ناهمگن است. سنگ‌های آذرین نیمه عمیق، بلندترین ارتفاعات منطقه به شمار می‌آیند و واحدهای آواری- آذراواری دارای ریخت‌شناسی کم ارتفاع‌تری هستند. رسوبات کواترنر، دشت‌ها و مناطق پست موجود را پر کرده‌اند (شکل ۴-۱ و ۵-۱).



شکل ۱-۵- رخنمون تپه ماهوری از توالی آتشفسانی- رسوبی ائوسن (دید به سمت شرق).

شکل ۱-۴- تصویری از کوههای مرتفع و دارای یالهای پرشیب (گنبد بازمیں و سنگهای میزبان آن، دید به سمت جنوب غرب).

### ۱-۳-آب و هوا و جغرافیای انسانی

آب و هوای منطقه مورد مطالعه بیابانی و نیمه بیابانی است. از ویژگی‌های عمدۀ آن، اختلاف شدید درجه حرارت از روز به شب و از تابستان به زمستان است. اندازۀ بارش سالیانه ۱۴۷ میلی‌متر تعیین شده است. منابع آب در منطقه را می‌توان به دو بخش آب‌های سطحی و آب‌های زیرزمینی تقسیم کرد. آب‌های جاری سطحی توسط رودخانه‌های فصلی هدایت می‌شوند. همه رودخانه‌ها فصلی هستند. آب‌های زیرزمینی در منطقه توسط قنات‌ها و چاه‌های عمیق و نیمه‌عمیق مورد بهره برداری قرار می‌گیرند. پوشش گیاهی در این مناطق شامل قیچ، دُرمنه، کاروانکش طاق و گز و ... است. از جانورانی که در منطقه زندگی می‌کنند، می‌توان به شتر (شکل ۱-۶)، قوچ، بز، یوزپلنگ آسیایی، گورخر آسیایی، آهو، گرگ، روباه، شغال و ... اشاره کرد.

به دلیل کم آب بودن در منطقه و عدم وجود رودخانه دائمی و همچنین نامساعد بودن خاک، تمرکز جمعیت بسیار پایین است. روستای سهل بارزترین نماد جمعیتی منطقه است که در حال حاضر تقریباً متروکه است (شکل ۱-۷).



شکل ۱-۶- تصویری از شترها در حال چرا در منطقه.



شکل ۱-۷- نمایی از روستای سهل (دید به سمت شمال شرق).

#### ۱-۴- کارهای انجام شده قبلی

در منطقه مورد نظر تا کنون مطالعه منظم و جامعی بر روی توده‌های آذرین نیمه عمیق (از جمله گنبدها) موجود انجام نشده است. از آنجا که این گنبدها در گستره وسیعی از نوار آتشفسانی شمال و شرق ایران مرکزی رخنمون دارند، مطالعه آنها در شناخت ماگماتیسم بعد از ائوسن ایران و در مجموع زمین‌شناسی ایران از اهمیت ویژه‌ای برخوردار است. برخی از کارها یا مطالعاتی که بر روی نوار ماگمایی شمال ایران مرکزی انجام شده عبارتند از:

فارسی (۱۳۸۶) پایان نامه کارشناسی ارشد خود را با عنوان پترولوزی و ژئوشیمی توده گرانیت‌وئیدی چاه سالار (جنوب غرب نیشابور) به انجام رسانده است. وی در این مطالعه نشان داده است که این توده گرانیت‌وئیدی از نوع I و دارای ماهیت متالومین و کالکوآلکالن بوده و به کمان آتشفسانی حاشیه قاره‌ای تعلق دارد. به عقیده ایشان، ماغماهای تشکیل دهنده این توده از ذوب بخشی ورقه اقیانوسی فرورونده با ترکیب آمفیبولیتی یا از ذوب بخشی گوه گوشه‌ای متاسوماتیسم شده حاصل شده و از طریق فرآیند تبلور تفریقی، آلایش یا اختلاط ماغماهای تحول یافته است.

قاسمی و همکاران (۱۳۸۷)، مقاله‌ای تحت عنوان اولین گزارش از ماغماتیسم آداسیتی نئوژن در جنوب قوچان ارائه کرده و معتقدند نوار آتشفسانی کالکآلکالن – آلکالن سنوزوئیک جنوب قوچان در شمال نوار افیولیتی سبزوار و در لبه جنوبی زون بینالود قرار دارد. این نوار از سنگ‌های بازیک-حدواسط ائوسن و سنگ‌های بازیک و حدواسط – اسید نئوژن تشکیل شده است. سنگ‌های نئوژن عمدتاً از گنبدهای آندزیتی – داسیتی تشکیل شده‌اند و دارای ویژگی‌های آداسیتی هستند.

صالحی‌نژاد (۱۳۸۷)، پترولوزی و ژئوشیمی گنبدهای ساب ولکانیک منطقه باشتن در جنوب غرب سبزوار را در قالب پایان نامه کارشناسی ارشد مورد مطالعه قرار داده است. طبق این تحقیق، سنگ‌های سازنده گنبدهای ساب ولکانیک منطقه مذکور دارای ترکیب آندزیتی تا ریولیتی بوده و میزان آنها نیز مجموعه افیولیتی سبزوار و سنگ‌های آتشفسانی – رسوی ائوسن است. این سنگ‌ها این سنگ‌ها دارای ماهیت متالومین و کالکوآلکالن بوده و در زمرة آداسیت‌های غنی از سیلیس قرار می‌گیرند.

صادقی (۱۳۸۸)، پترولوزی و ژئوشیمی توده گرانیت‌وئیدی ششتمد (جنوب سبزوار) را در قالب پایان نامه کارشناسی ارشد مورد بحث و بررسی قرار داده است. این توده در میان بازالت‌های بالشی متعلق به افیولیت‌های سبزوار نفوذ کرده و از نظر ژئوشیمیایی دارای ماهیت متالومین و کالکوآلکالن است. برای این توده سن بعد از ائوسن در نظر گرفته شده است.

خواجه‌زاده (۱۳۸۸)، در پایان نامه کارشناسی ارشد خود، توده‌های آذرین عمیق و نیمه عمیق شمال معلمان، را مورد مطالعه قرار داده است. این توده‌ها که به صورت استوک یا دایک رخنمون یافته‌اند، در

زمرة گرانیتوئیدهای نوع I و قوس‌های آتشفسانی (VAG) قراردارند و با توجه به شواهد ژئوشیمیایی، آدکیت‌های غنی از سیلیس محسوب می‌شوند.

دهنوي (۱۳۸۸)، در قالب پایان‌نامه کارشناسی ارشد، سنگ‌های آذرین بعد از ائوسن منطقه شهر فیروزه را تحت عنوان «پترولوزی و ژئوشیمی سنگ‌های آذرین منطقه شهر فیروزه (غرب نیشابور) و کانه‌زایی وابسته به آنها» مطالعه کرده است. وی سنگ‌های مورد مطالعه را دارای ویژگی‌های ژئوشیمیایی آدکیت‌ها و از گروه آدکیت‌های سیلیس بالا دانسته که ماغمای سازنده آنها از طریق ذوب‌بخشی ورقه اقیانوسی فرورونده سبزوار (دارای ترکیب سنگ‌شناسی گارتنت آمفیبولیت) در یک محیط قوس قاره‌ای ایجاد شده و سپس از طریق تبلور تفریقی و آلایش ماغمای (AFC) تحول یافته است.

تنها (۱۳۸۸)، سنگ‌های نیمه عمیق بعد از ائوسن نوار آتشفسانی قوچان اسفراین را در قالب پایان‌نامه کارشناسی ارشد مورد مطالعه قرار داده است. شواهد ژئوشیمیایی موجود در سنگ‌های نیمه عمیق نوار آتشفسانی قوچان-اسفراین، حاکی از ماهیت کالکوآلکالن آنها و ماهیت فرورانشی قوس قاره‌ای منطقه است و نقش تبلور تفریقی و فرآیندهای هضم و آلایش ماغمای در تکوین و تحول ماغمای آنها آشکار است. شواهد، بیانگر وجود یک سنگ منبع اکلوژیتی یا گارتنت آمفیبولیتی حاصل از دگرگونی ورقه اقیانوسی فرورانده شده سبزوار است. بررسی ویژگی‌های ژئوشیمیایی خاص سنگ‌های منطقه نشان داده که خصوصیات آنها بسیار شبیه آدکیت‌ها بوده و در گروه آدکیت‌های غنی از سیلیس قرار می‌گیرند. این ماغماهای آدکیتی، آخرین مذابهای حاصل از ذوب بخشی ورقه اقیانوسی فرورانده شده جوان و داغ نئوتیس سبزوار و گوه گوشه‌ای روی آن در یک زون فرورانش قوسی جوان با شیب به سمت شمال است که به زیر لبه جنوبی زون بینالود فرورانده شده است.

موسوی (۱۳۸۸)، در پایان‌نامه کارشناسی ارشد خود به بررسی پترولوزی و ژئوشیمی سنگ‌های آتشفسانی ائوسن منطقه چغدرسر (جنوب غرب عباس‌آباد) پرداخته است. به اعتقاد وی، برونزدهای سنگی منطقه چغدرسر شامل تناوبی از سنگ‌های آتشفسانی با ترکیب بازیک (تراکی بازالت) تا

حدواسط (تراکی آندزی بازالت و تراکی آندزیت) و سنگ‌های رسوبی (سیلتستون، ماسه‌سنگ، شیل، مارن و آهک فسیل‌دار) متعلق به محیط‌های کم عمق تا نیمه عمیق هستند. طبق نظر وی، سنگ‌های آتشفشاری منطقه دارای سرشت تقریباً آلکالن هستند.

بحیرایی (۱۳۸۹)، در پایان‌نامه کارشناسی ارشد خود تحت عنوان "پترولوزی سنگ‌های آتشفشاری شمال تا شمال خاوری ترود" به بررسی توده‌های آذرین نیمه‌عمیق منطقه ترود پرداخته است. این تحقیق با تناظرات متعددی همراه است، که ذکر آنها در حوصله و مجال این پایان‌نامه نیست. دلاور (۱۳۸۹)، پترولوزی و ژئوشیمی گنبدهای سابولکانیکی جنوب غرب بیرجند را در قالب پایان‌نامه کارشناسی ارشد مورد مطالعه قرار داده است که در آن براساس ویژگی‌های ژئوشیمیایی، سنگ‌های مورد مطالعه در زمرة آدکیت‌های سیلیس بالا قرار می‌گیرند و در ضمن از ذوب ورقه اقیانوسی فروزانده شده حاصل شده‌اند. البته گوه گوشه‌ای متاسوماتیسم شده روی آن نیز در این تغییر و تحولات نقش داشته است. با توجه به تاریخچه زمین‌شناسی منطقه مورد مطالعه می‌توان گفت سنگ‌های مورد مطالعه حاصل ذوب ورقه فروزانده شده نئوتیس به زیر ورقه قاره‌ای هلمند-فراده هستند.

سعیدی (۱۳۸۹)، پترولوزی و ژئوشیمی گنبدهای سابولکانیک بیرجند را در قالب پایان‌نامه کارشناسی ارشد مورد بررسی قرار داده است که براساس آن، گنبدهای مذکور در زمرة آدکیت‌های سیلیس بالا قرار می‌گیرند. سنگ‌های سازنده گنبدهای مورد نظر حاصل، ماجماتیسم مرتبط با فروزانش ورقه‌های اقیانوسی نئوتیس به زیر منشورهای به هم افزوده متشکل از برش‌های افیولیتی و سنگ‌های رسوبی-آتشفشاری اثوسن واقع در حاشیه بلوك‌های لوت و هلمند هستند. فرایندهایی نظیر آبزدایی، دگرگونی و ذوب ورقه‌های اقیانوسی فروزانده شده، رسوبات همراه و تا حدودی متاسوماتیسم گوه گوشه‌ای واقع بر روی آنها، در تشکیل ماجماتی سازنده گنبدهای مورد نظر سهیم بوده‌اند.

محمدی گورجی و همکاران (۱۳۹۱)، در مقاله‌ای "تحت عنوان منشاً ماجماتیسم آدکیت‌های پرسیلیس شمال‌غرب سبزوار" به بررسی گنبدهای نیمه عمیق موجود در زون افیولیتی سبزوار

پرداخته‌اند. ایشان ترکیب این گنبدها را داسیتی - ریولیتی دانسته که در داخل سنگ‌های مجموعه افیولیتی نفوذ کرده‌اند. ویژگی‌های ژئوشیمیایی نمونه‌های مورد مطالعه از جمله غنی شدگی از عناصر LREE و HFSE نسبت به HREE و آنومالی منفی عناصر (Ta-Nb-Ti) و موقعیت آن‌ها در نمودارهای متمازیکننده محیط‌های تکتونیکی، نشان‌دهنده آن است که آنها در محیط مرتبط با زون‌های فرورانش تشکیل شده‌اند. ایشان گنبدهای مورد مطالعه را دارای ویژگی‌های آداسیتی غنی از سیلیس با ماهیت متا‌آلومین متعلق به سری کالک‌آلکالن پیتاسیم متوسط تا بالا دانسته‌اند. بررسی ویژگی‌های صحرایی، پتروگرافی و ژئوشیمیایی حاکی از آن است که ماغمای سازنده گنبدهای مورد مطالعه از ذوب بخشی ورقه اقیانوسی فرورانده شده (دارای ترکیب سنگ‌شناسی گارنت آمفیبولیتی) ایجاد شده و سپس از طریق تبلور تفریقی تحول یافته است.

آقاجانی و همکاران (۱۳۹۱)، با استفاده از داده‌های سنجش از دور، به شناسایی پتانسیل‌های معدنی منطقه رزوه پرداخته‌اند.

جمشیدی و همکاران (۱۳۹۲) در مقاله‌ای تحت عنوان "کاربرد شیمی بیوتیت در تعیین ماهیت ماغمای سازنده سنگ‌های آذرین پساافیولیتی جنوب جغتای (شمال سبزوار)" از ترکیب ژئوشیمیایی کانی بیوتیت برای دستیابی به ماهیت ماغمای سازنده سنگ‌های منطقه مورد بحث استفاده کرده‌اند. بر اساس شیمی بیوتیت‌ها، سنگ‌های مذکور از یک ماغمای کالک‌آلکالن در یک محیط مرتبط با کوهزایی تشکیل شده است. این امر با تشکیل ماغمای کالک‌آلکالن مرتبط با تداوم فرورانش رو به شمال ورقه اقیانوسی سبزوار (شاخه شرقی اقیانوس نشوتنیس) بعد از تشکیل کمپلکس افیولیتی و واحدهای آتشفسانی - رسویی اوسن قابل توجیه است.

جمشیدی و همکاران (۱۳۹۲) در مقاله‌ای تحت عنوان "سنگ‌شناسی و زمین‌شیمی سنگ‌های آداسیتی پرسیلیس پساافیولیتی سبزوار" به بررسی گنبدهای آداسیتی پرسیلیس موجود در نوار افیولیتی شمال‌غرب - غرب سبزوار پرداخته‌اند. ترکیب این توده‌ها را ریولیت، داسیت، تراکی‌داسیت، تراکی‌آنزیت و آندزیت دانسته که در محدوده زمانی اوسن فوکانی تا پلیوسن رخنمون یافته‌اند.

ماگمای سازنده این سنگ‌ها دارای سرشت کالک‌آلکالن و پرآلومین شاخص کمان‌های آتشفشاری است. در نمودارهای تقسیم‌بندی سنگ‌های آداسیت‌های پرسیلیس جای می‌گیرند. نمودارهای چندعنصری بهنجارشده به مورب، گوشته اولیه و کندریت بیانگر غنی‌شدگی از عناصر نادر خاکی سبک و تهی‌شدگی آن‌ها از عناصر نادر خاکی سنگین است. براساس نمودارهای سنگ‌زادی، ماگمای آداسیت‌های سازنده این سنگ‌ها از ذوب بخشی یک منبع اکلوژیتی یا گارنت آمفیبولیتی حاصل از دگرگونی ورقه اقیانوسی فرورانده شده نئوتیس سبزوار به زیر لبه جنوبی زون البرز شرقی به وجود آمده است.

فتح‌آبادی (۱۳۹۳)، در پایان‌نامه کارشناسی ارشد خود تحت عنوان "زمین‌شناسی، پترولوزی و ژئوشیمی گنبدهای سابولکانیک منطقه مقیسه (جنوب‌غرب سبزوار)" گنبدهای سابولکانیک منطقه مذکور را مورد بررسی قرار داده است. مطالعات ایشان نشان می‌دهد که ماگمای سازنده این سنگ‌ها دارای ماهیت کالک‌آلکالن و متاآلومین شاخص کمان‌های آتشفشاری است. در نمودارهای تقسیم‌بندی سنگ‌های آداسیت‌های نیز این سنگ‌ها در گروه آداسیت‌های پرسیلیس (HSA) قرار می‌گیرند. نمودارهای چندعنصری بهنجارشده به گوشته اولیه و کندریت، بیانگر غنی‌شدگی این سنگ‌ها از عناصر نادر خاکی سبک (LREE) و عناصر لیتوفیل بزرگ یون (LILE) و تهی‌شدگی آن‌ها از عناصر نادر خاکی سنگین (HREE) می‌باشد. تهی‌شدگی شدید این سنگ‌ها از عناصر با شدت میدانی بالا (HFS) مانند Ti و Nb از ویژگی‌های شاخص ماگماهای قوس است. مطالعات پتروژنتیکی بیانگر وجود یک سنگ منبع اکلوژیتی یا گارنت آمفیبولیتی حاصل از دگرگونی ورقه اقیانوسی فرورانده شده نئوتیس سبزوار به زیر لبه جنوبی زون البرز شرقی به عنوان محل منبع ماگمای سازنده این سنگ‌هاست.

садاتی جمالی (۱۳۹۳)، در قالب پایان‌نامه کارشناسی ارشد به بررسی پترولوزی و ژئوشیمی گنبدهای سابولکانیک منطقه رزه (شمال شرق ترود) پرداخته است. طبق نظر ایشان این گنبدها دارای طیف ترکیبی غالب تراکی‌آندزی‌بازالتی و تراکی‌آندزیتی هستند. براساس ویژگی‌های ژئوشیمیایی، سنگ‌های مورد مطالعه در زمرة آداسیت‌های سیلیس پایین قرار می‌گیرند آداسیت‌های

سیلیس پائین (LSA) از ذوب پریدوتیت گوه گوشه‌ای متاسوماتیسم شده توسط سیالات آزاد شده در طی فروزانش و دگرگونی ورقه اقیانوسی فرورونده نئوتیس سبزوار، حاصل شده‌اند. مقاله‌های دیگری نیز در زمینه در همایش‌های مختلف زمین‌شناسی ارائه شده است عبارتند از: صادقیان و قاسمی (۱۳۸۶)، پترولوژی و ژئوشیمی سنگ‌های آذرین بعد از ائوسن نوار افیولیتی سبزوار، یازدهمین همایش انجمن زمین‌شناسی ایران.

فارسی و همکاران (۱۳۸۶)، پترولوژی و ژئوشیمی توده گرانیتوئیدی چاه سالار (جنوب‌غرب نیشابور)، یازدهمین همایش انجمن زمین‌شناسی ایران، مشهد.

صالحی‌نژاد و همکاران (۱۳۸۶)، ماقماتیسم آدکیتی در منطقه باشتین (غرب سبزوار)، یازدهمین همایش انجمن زمین‌شناسی.

صالحی‌نژاد و همکاران (۱۳۸۷)، ژئوشیمی و پتروژنر ماقماتیسم آدکیتی در منطقه باشتین (غرب سبزوار)، دوازدهمین همایش انجمن زمین‌شناسی ایران- اهواز- شرکت ملی مناطق نفت خیز جنوب. دهنوی و همکاران (۱۳۸۷)، پترولوژی و ژئوشیمی سنگ‌های سابولکانیک شهر فیروزه (بزعان) در غرب نیشابور، دوازدهمین همایش انجمن زمین‌شناسی ایران- اهواز- شرکت ملی مناطق نفت خیز جنوب.

خواجه‌زاده و همکاران (۱۳۸۷)، پترولوژی و ژئوشیمی توده‌های آذرین نفوذی شمال معلمان، دوازدهمین همایش انجمن زمین‌شناسی ایران- اهواز- شرکت ملی مناطق نفت خیز جنوب.

رحمتی ایلخچی و همکاران (۲۰۱۰)، حوادث کوهزایی سیمیرین میانی، اویل آلبین و اواخر سنوزوئیک در مجموعه متامورفیسمی شترکوه، بلوک کویر بزرگ، شمال‌شرق ایران، مجله تکتونوفیزیک، شماره ۴۹۴، صفحه ۱۰۱ تا ۱۱۷.

محمدی و همکاران (۱۳۸۹)، پتروگرافی، ژئوشیمی و جایگاه تکتونیکی توده گرانیتوئیدی روددره جنوب‌شرق بیرجند، چهاردهمین همایش انجمن زمین‌شناسی ایران دانشگاه ارومیه.

سعیدی و همکاران (۱۳۸۹)، پترولوزی و ژئوشیمی گنبدهای سابولکانیک میاهکوه، رچ، الهیار و دایک حلقوی گیوشاد (جنوبغرب بیرجند)، چهاردهمین همایش انجمان زمین‌شناسی ایران دانشگاه ارومیه. چهاردهمین همایش انجمان زمین‌شناسی ایران دانشگاه ارومیه.

دلاور و همکاران (۱۳۸۹)، خصوصیات ژئوشیمیایی توده‌های آداسیتی پست اوسن در غرب نیشابور، زمین‌شناسی دانشگاه پیام‌نور.

دلاور و همکاران (۱۳۸۹)، پتروژنر گنبدهای آداسیتی جنوبغرب بیرجند، چهاردهمین همایش انجمان زمین‌شناسی ایران، دانشگاه ارومیه.

دلاور و همکاران (۱۳۸۹)، پترولوزی، ژئوشیمی و جایگاه تکتونیکی گنبدهای آذرین بیرجند، سازمان زمین‌شناسی و اکتشاف معدنی ایران، بیست و نهمین گردهمایی علومزمین.

قاسمی و همکاران (۱۳۹۰)، گدازه‌های بازالی الیگومن شرق و جنوبشرق شاهروド. شاهدی بر جایگاه پشت کمانی حوضه الیگو- میوسن ایران مرکزی. پترولوزی، سال دوم، شماره ۷. پاییز ۹۰ - صفحه ۷۷ تا ۹۴.

شبانیان و همکاران (۲۰۱۲)، کنترل ساختاری بر روی جایگاه ولکانیسم درون صفحه‌ای پس از برخوردی: اوخر سنوزوئیک تا کواترنری مجموعه‌های ایران و شرق ترکیه، مجله تکتونیک، شماره ۳۱، صفحه ۱ تا ۲۵.

بحیرایی و همکاران (۱۳۹۲)، ژئوشیمی سنگ‌های آتشفسنی اوسن محدوده رزه، جنوب شاهرود، اولین همایش زمین‌شناسی کاربردی، دانشگاه دامغان.

فتح‌آبادی و همکاران (۱۳۹۲)، پتروژنر گنبدهای آداسیتی نئوزن منطقه مقیسه (جنوبغرب سبزوار)، دانشگاه پیام نور لرستان.

جمالی و همکاران (۱۳۹۳)، تغییر و تحولات کانی‌شناسی آنکلاوهای موجود در گنبدهای سابولکانیک رزه، دانشگاه تربیت مدرس.

جمالی و همکاران (۱۳۹۳)، پتروگرافی و ژئوشیمی گنبدهای آدکیتی شرق رزه، دانشگاه تربیت مدرس.

### ۱-۵- روش مطالعه

مطالعه حاضر در سه مرحله مقدماتی و کتابخانه‌ای، صحرایی و در نهایت آزمایشگاهی به شرح ذیل انجام شده است:

#### ۱-۱- جمع آوری اطلاعات زمین شناسی منتشر شده قبلی و نقشه‌های زمین شناسی و توپوگرافی منطقه

در این مرحله، اطلاعات منتشر شده قبلی موجود اعم از گزارش‌های تحقیقاتی و مقالات، پایان نامه‌ها، نقشه‌های زمین شناسی، توپوگرافی و تصاویر ماهواره‌ای مختلف جمع آوری و مورد بررسی قرار گرفت. همچنین از بانک‌های اطلاعاتی و اینترنت به منظور بررسی سوابق مطالعات انجام شده قبلی استفاده گردید.

#### ۱-۲- عملیات صحرایی

برداشت‌های زمین شناسی در طی چند مرحله عملیات صحرایی انجام گرفت و از واحدهای سنگی مختلف، متناسب با اهداف این تحقیق، نمونه برداری مورد نیاز صورت گرفت. در کل به منظور مطالعات پتروگرافی و ژئوشیمیایی تعداد ۱۱۵ نمونه سنگی برداشت شد.

#### ۱-۳- مطالعات آزمایشگاهی

از بین تعداد ۱۱۵ نمونه سنگی برداشت شده، بر اساس توزیع مکانی و تنوع سنگ‌شناسی تعداد ۶۷ مقطع نازک تهیه شد و مطالعات پتروگرافی بر روی آنها صورت گرفت. سپس بر حسب توزیع جغرافیایی، تنوع سنگی و همچنین توجه به حداقل دگرسانی نمونه‌ها، تعداد ۱۰ نمونه برای آنالیز شیمیایی سنگ کل انتخاب و به کشور کانادا ارسال شد. عناصر اصلی و عناصر نادر به روش ICP-MS AES و سایر عناصر کمیاب و کمیاب خاکی به روش ICP-MS آنالیز گردید. نتایج تجزیه شیمیایی

نمونه‌ها برای اکسیدهای عناصر اصلی به صورت درصد وزنی (Wt%) و برای عناصر کمیاب و کمیاب خاکی به صورت قسمت در میلیون (ppm) بیان شده است. سپس نتایج این آنالیز به کمک نرم افزار پترولوزیکی GCDkit مورد تحلیل و تفسیر قرار گرفت. تفسیر و تحلیل داده‌های حاصل از مراحل مختلف، در بخش‌های آتی این پایان نامه ارائه خواهد شد.

## ۱-۶- اهداف

مهمترین اهداف انجام این تحقیق عبارتند از: بررسی دقیق سنگ شناختی گنبدهای آذرین نیمه عمیق و ارتباط آنها با سنگ‌های میزبان خود، بررسی دقیق ژئوشیمیایی گنبدهای مورد نظر، بررسی پتروژئنر این گنبدها و پیامدهای جایگزینی آنها از قبیل دگرگونی مجاورتی و کانه‌زایی احتمالی.



# فصل دوم

## زمین شناسی

### عمومی

## ۱-۲ - مقدمه

بر اساس تقسیم‌بندی اشتولکلین (۱۹۷۴)، علوی (۱۹۹۱) و آقانباتی (۱۳۸۳)، منطقه مورد مطالعه در جنوب‌شرق شاهروд، جزء بخش شمالی خرده قاره ایران مرکزی به حساب می‌آید (شکل ۱-۱).  
ماگماتیسم و پدیده‌های وابسته به آن، تأثیر مهمی در تکوین زمین‌شناسی منطقه داشته است.  
ایران مرکزی در طول دوران مژوزوئیک و سنوزوئیک، از نظر زمین‌ساختی منطقه پرتحرکی بوده و  
علاوه بر چندین دگرشکلی آشکار، فعالیت‌های ماگمایی به صورت سنگ‌های آتشفسانی و توده‌های  
نیمه عمیق در آن دیده می‌شود. هرچند که فعالیت‌های ماگمایی در فلات ایران مرکزی در همه زمان‌ها  
وجود داشته است، اما اوج این فعالیت‌ها در دوره ائوسن بوده است (درویش زاده، ۱۳۷۰).

نوار ماگمایی سنوزوئیک ایران مرکزی، شامل سنگ‌های آذرین درونی و بیرونی ائوسن تا کواترنری  
است. به دنبال فاز فشارشی کرتاسه پایانی که با دگرگونی، چین خوردگی، بالا آمدگی و جایگیری  
افیولیت‌ها همراه بوده است، فاز کششی مهمی در ایران مرکزی به وقوع پیوست که ماگماتیسم شدید  
ائوسن را در پی داشته است و در ائوسن میانی به اوج خود رسیده است (اماگی، ۱۳۷۹). علیرغم  
ضخامت زیاد و توزیع وسیع، سنگ‌های آتشفسانی و آتشفسانی-رسوبی ائوسن در یک فاصله زمانی  
نسبتاً کوتاه شکل گرفته‌اند. نا آرامی‌های این زمان مربوط به فعالیت‌های ماگمایی وابسته به رویداد  
آلپ میانی می‌باشند (شهاب پور، ۲۰۰۷).

حدود ۸۰ میلیون سال پیش، شاخه‌ای از حوضه اقیانوسی فعال نئوتیس در منطقه شمال ایران مرکزی  
وجود داشته که در فاصله کرتاسه تا اوایل تریلیری بسته شده است (اسپایس و همکاران ۱۹۸۳). از  
ائوسن بالایی-الیگوسن به بعد نیز، فراورده‌های فورانی ناشی از فرورانش سنگ‌کرده اقیانوسی نئوتیس،  
ماهیت آداسیتی به خود گرفته و به شکل گنبدهای نیمه عمیق در داخل مجموعه افیولیتی سبزوار و  
توالی آتشفسانی-رسوبی ائوسن-الیگوسن و حتی میوسن ظاهر شدند (صالحی نژاد، ۱۳۸۷، قاسمی و  
همکاران، ۱۳۸۹، جمشیدی و همکاران، ۱۳۹۲). در نئوژن با تداوم فرورانش به سوی شمال ورقه  
اقیانوسی، جبهه ماگماتیسم آداسیتی، به سمت شمال (مشکان در جنوب قوچان) مهاجرت کرده است

(قاسمی و همکاران، ۱۳۸۹، شبانیان و همکاران، ۲۰۱۲). این فعالیت‌های آتشفشانی به صورت گنبدهای آدکیتی پر سیلیس در درون کمان آتشفشانی اسفراین- قوچان (واقع در شمال نوار افیولیتی سبزوار) تظاهر پیدا کرده‌اند (تنها، ۱۳۸۸، قاسمی و همکاران، ۱۳۸۹، شبانیان و همکاران، ۲۰۱۲). گنبدهای آدکیتی مشابهی نیز در حد فاصل اسفراین- قوچان رخنمون دارند که طبق تعیین سن‌های انجام شده (اسپایس و همکاران، ۱۹۸۳؛ قاسمی و همکاران، ۱۳۸۹)، از نظر سنی بسیار جوان هستند (۲۰ تا ۴۰ میلیون سال). این مطالعات نشان می‌دهند که در کمان ماقمایی شمال ایران مرکزی به سمت شمال، توده‌های آذرین نیمه‌عمیق دارای سن‌های جوان‌تری هستند.

در این تحقیق، گنبدهای نیمه‌عمیق بعد از ائوسن جنوب شرق سهل به صورت دقیق مورد مطالعه قرار گرفته است. این گندها که یکی از ویژگی‌های جالب توجه زمین‌شناسی در شمال زون ایران مرکزی هستند، کمتر مورد توجه قرار گرفته‌اند.

### ۲-۲- زمین‌شناسی عمومی و واحدهای سنگی موجود در منطقه

واحدهای سنگی موجود در منطقه جنوب‌شرق سهل به ترتیب قدمت زمانی عبارتند از: مجموعه‌های آذرین- دگرگونی نئوپروتروزوئیک، توالی‌های رسوبی تریاس- ژوراسیک- کرتاسه، ائوسن، سنگ‌های آذرین جوانتر از ائوسن- قدیمی‌تر از میوسن (اواخر ائوسن- ؟ اواسط الیگوسن)، مارن‌های نئوژن و پادگانهای آبرفتی کواترنری. قطعاتی از سنگ‌های دگرگونی- آذرین به سن اواخر نئوپروتروزوئیک (که در حقیقت پی سنگ منطقه مورد مطالعه هستند)، به صورت آنکلاو توسط توده‌های آذرین نیمه- عمیق به ترازهای بالایی پوسته انتقال داده شده‌اند. آنها دارای ماهیت میکاشیستی، آمفیبوليتي، گنايسی، گرانیتی و گابرویی هستند. مشابه این سنگ‌ها در مناطق شترکوه، بندهزارچاه، جنوب‌غرب میامی، شرق بیار‌جمند رخنمون دارند و در قالب چند رساله دکتری و کارشناسی ارشد مورد مطالعه قرار گرفته‌اند (همتی، ۱۳۹۲، بلاغی، ۱۳۹۳، اصغرزاده، ۱۳۹۲، ابتهاج، ۱۳۹۲ و حسینی در دست انجام ...). خلاصه نتایج بدست آمده بیانگر آنست که این مجموعه‌های آذرین- دگرگونی دارای طیف ترکیبی وسیعی هستند و سنگ‌های میکاشیستی تا گنايسی و آمفیبول شیستی تا گارنت‌آمفیبوليتي از

یک سو و سنگ‌های گرانیتی تا گابرویی از سویی دیگر را شامل می‌شوند. این مجموعه‌های سنگی توسط دایک‌ها و توده‌های نفوذی دیابازی به سن ژوراسیک میانی قطع شده‌اند و توسط سنگ‌های رسوبی با ماهیت عمدتاً شیلی- ماسه سنگی به سن اواخر تریاس- اوایل ژوراسیک و همچنین آهک‌های کرتاسه زیرین پوشیده شده‌اند. سن مجموعه‌های آذرین- دگرگونی نئوپرتوزو佐ئیک، حدود ۵۴۰ تا ۵۵۰ میلیون سال گزارش شده است. از آنجاییکه سنگ‌های دگرگونی- آذرین قدیمی در محدوده مورد مطالعه رخنمون ندارند از توضیح بیشتر آنها صرف نظر می‌شود. لیکن علاقه‌مندان می‌توانند به حسینی و همکاران (۱۳۹۲)؛ الف، حسینی و همکاران (۱۳۹۲)؛ ب، بلاغی و همکاران (۲۰۱۴)، رحمتی ایلخچی (۲۰۱۰)، شفایی‌مقدم و همکاران (۲۰۱۵) رجوع کنند.

با استفاده از بررسی‌های صحرایی واحدهای سنگی موجود در این منطقه را می‌توان بر اساس سن زمین‌شناسی آنها به صورت زیر تقسیم کرد:

### الف- مزوزوئیک

- تریاس - ژوراسیک - کرتاسه

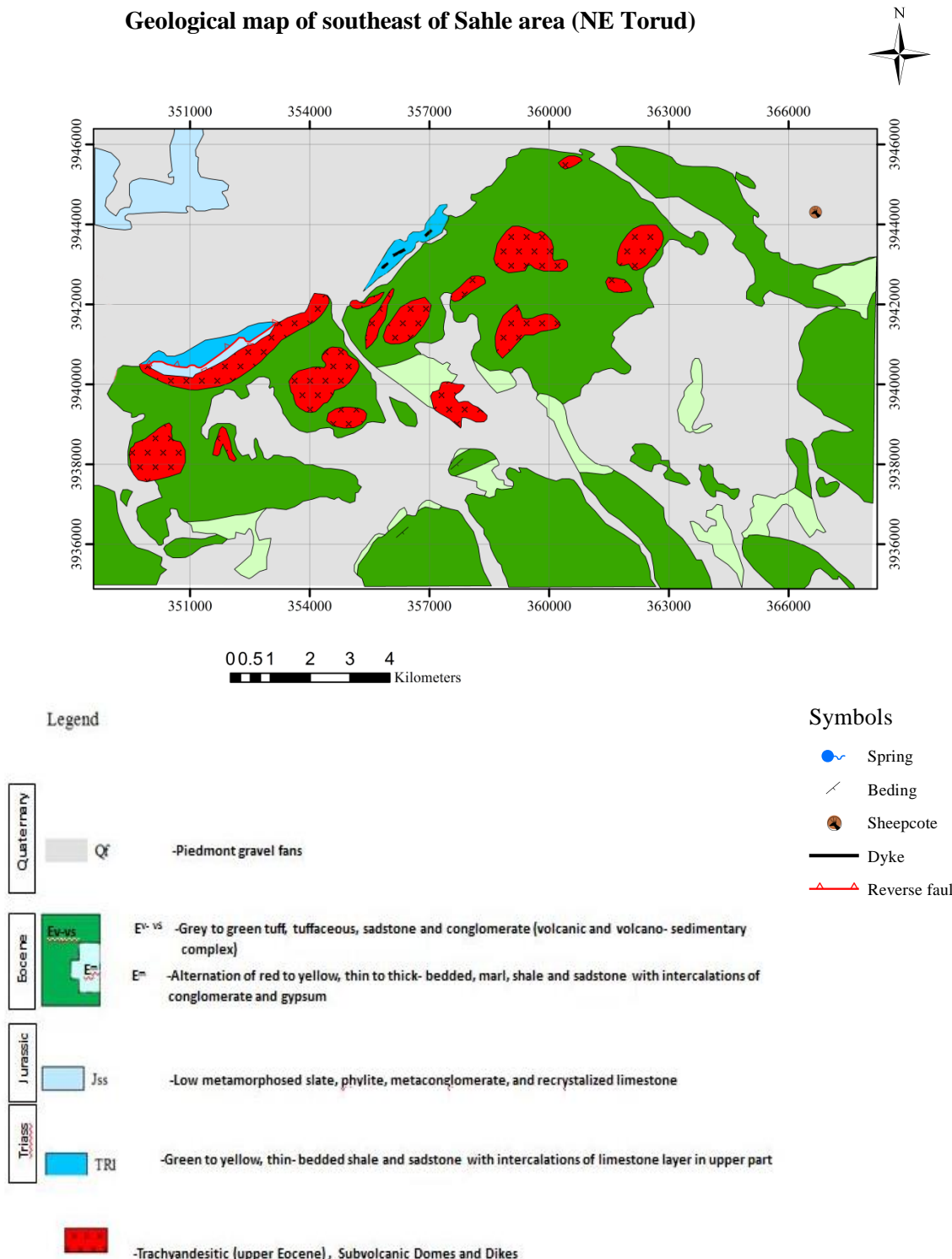
### ب- سنوزوئیک

- ائوسن

- سنگ‌های آذرین ائوسن بالایی

- مارن‌های نئوژن و پادگانه‌های آبرفتی کواترنری

Geological map of southeast of Sahle area (NE Torud)



شکل ۲-۱ - نقشه زمین‌شناسی جنوب شرق سهل (شمال شرق ترود). که با استفاده از تصاویر ماهواره‌ای و نرم‌افزار GIS بازسازی شده است.

## الف- مزوژوئیک

## ۲-۱- تریاس - ژوراسیک - کرتاسه

سنگ‌های آهکی به سن تریاس در شمال‌غرب گنبد بازمیان رخمنون دارند و با مرز گسلی بر روی رسوبات ژوراسیک (شیل و ماسه‌سنگ خاکستری تا سبز خاکستری نازک‌لایه تا ستبر لایه با دگرگونی ضعیف همراه با میان‌لایه آهکی که معادل سازند شمشک در البرز است)، رانده شده‌اند. سنگ‌های تریاس بالایی - ژوراسیک میانی که شامل تناوب شیل و ماسه‌سنگ خاکستری تا سبز خاکستری مایل به سبز، ارغوانی، قهوه‌ای (معادل سازند شمشک البرز) با میان‌لایه‌هایی از کنگلومرا (شکل ۲-۲) و سنگ آهک هستند نشانگر حوضه‌های رسوبی کم‌عمق هستند. در درون شیل و ماسه‌سنگ‌های ژوراسیک، سنگ‌های آذرین بازیک به شکل گدازه، دایک و توده‌های آذرین کم‌عمق یافت می‌شوند. دادپور (۱۳۹۳)، پایان نامه کارشناسی ارشد خود را به بررسی این سنگ‌های آذرین در شرق سهل اختصاص داده است. یافته‌های وی نشانگر تشکیل یک حوضه رسوبی پشت کمانی در ژوراسیک میانی است که فعالیت‌های آذرین به اشکال ذکر شده در آن صورت گرفته است (جایگزین شده یا جریان یافته است). این واحد متحمل دگرگونی در حد رخساره شیست سبز شده‌اند. سنگ‌های آهکی کرتاسه به رنگ خاکستری متوسط لایه تا ضخیم لایه دیده می‌شوند. در آنها دوکفه‌ای‌های بزرگ از جمله اینوسراموس یافت می‌شود. اربیتولین، میکروفسیل شاخص این سنگ‌ها و معرف سن کرتاسه زیرین برای این سنگ‌ها است. سنگ‌های آهکی کرتاسه زیرین با ناپیوستگی زاویه‌دار یا با مرز گسله برروی توالی ژوراسیک قرار گرفته‌اند. لازم به یادآوری است که با توجه به حضور ریز فسیل‌های:

*Cylindroporellq sp, Dictyoconus sp, Orbitolina sp, Lithocodium aggregatum, Textularids, Miliolides, Dasycladacea, Shell fragments*

سن این سنگ‌ها، کرتاسه زیرین است (بحیرایی، ۱۳۸۹).



شکل ۲-۲- تصویری از کنگلومرای مربوط به واحد رسوبی تریاس- ژوراسیک.

## ب- سنوزوئیک

### ۲-۲-۲- مجموعه آتشفسانی- رسوبی پالئوسن- ائوسن

تشکیل حوضه‌های رسوبی پالئوسن- ائوسن یکی از پیامدهای فاز کوهزایی لارامید است که در آنها کنگلومرای پالئوسن (معادل کنگلومرای کرمان) (شکل ۳-۲) و پیروکلاست‌ها و هیالوکلاست‌های سبز رنگ، گدازه‌ها و میان لایه‌های رسوبی (معادل سازند کرج) در زمان ائوسن نهشته شده‌اند. در مجموعه آتشفسانی- رسوبی ائوسن، آهک‌های نومولیت‌دار نیز یافت می‌شوند که معرف کم‌عمق بودن حوضه و تعلق داشتن آنها به دوره زمانی پالئوسن- ائوسن است.

با توجه به تعیین سن‌هایی که بر روی توده‌های آذرین نیمه عمیق (گنبدهای ریولیتی تا آندزیتی) درون این سنگ‌ها صورت گرفته و سنی برابر با حدود ۴۰ میلیون سال (تقریباً برابر ائوسن بالایی) برای آنها بدست آمده است (سلطانی، ۱۳۸۵). بنابراین به احتمال قوی می‌توان گفت حد بالایی سن توالی آتشفسانی- رسوبی به طور دقیق‌تر ائوسن میانی است.

سنگ‌های متعلق به ائوسن با کنگلومرای قاعده‌ای شروع شده‌اند. در اوایل ائوسن، دریایی کم‌عمقی بر روی منطقه پیشروی کرده و باعث رسوبگذاری کنگلومرای ریزدانه شده است (شکل ۲-۴). در اواسط ائوسن، گدازه‌هایی با ترکیب بازیک تا حدواسط به درون حوضه رسوبی راه یافته‌اند. همراه با این واحد،

توفهایی به رنگ قهوه‌ای، خاکستری روشن تا خاکستری تیره دیده می‌شود که از نوع لیتیک توف و شیل توفی یا کریستال توف هستند.

ماسه‌سنگ موجود در این واحد نیز از وسعت قابل توجهی برخوردار است. آندزیت و آندزی بازالت، در بین آنها یافت می‌شود و توده‌های نیمه نفوذی آندزیتی - آندزی بازالتی (به سن ائوسن بالایی) آنها را قطع کرده‌اند. در حوالی گنبد بازمیں نیز اشکال رسوبی همچون ریپل مارک در ماسه‌سنگ‌های ریزدانه دیده می‌شود. این آثار نشان‌دهنده محیط ساحلی کم‌عمق هستند (شکل ۲-۵).



شکل ۲-۳- تصویری از کنگلومرات پالئوسن که سرشار از قلوه‌های آهکی به سن کرتاسه است.



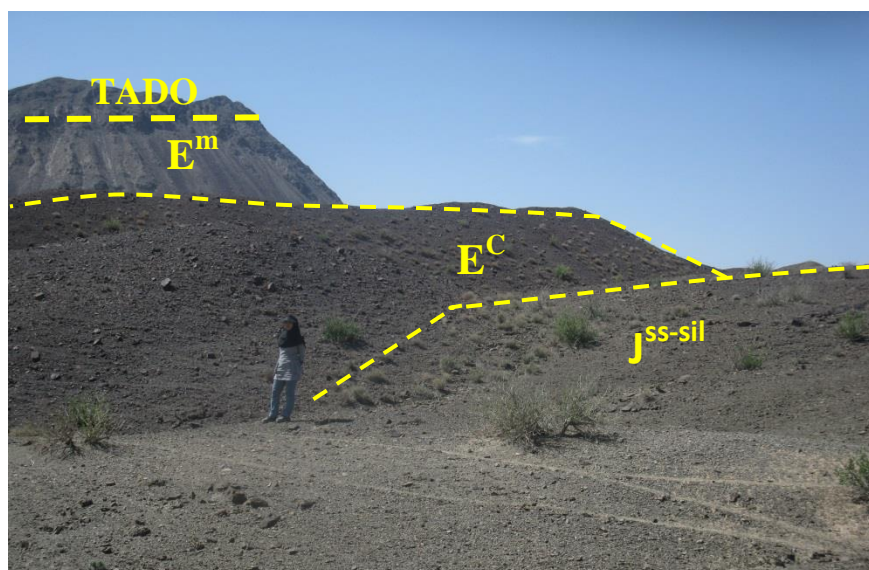
شکل ۲-۵- تصویری از ساخت چینه‌بندی مورب در ماسه سنگ‌های ائوسن.



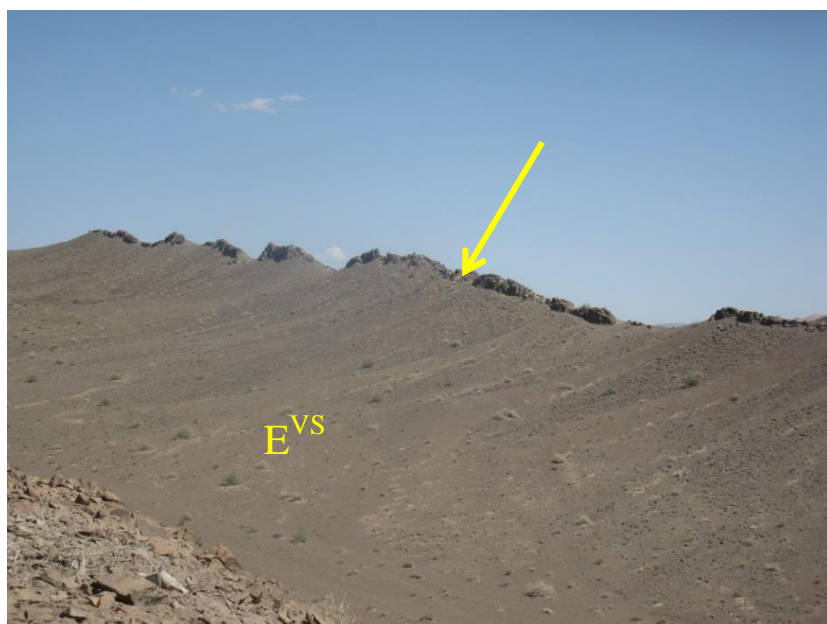
شکل ۲-۴- تصویری از کنگلومرات قاعده‌ای ائوسن.

در شمال گنبد بازمیں، توالی آتشفسانی- رسوبی ائوسن با یک کنگلومرات قاعده‌ای سرشار از قطعات سنگی ماسه سنگ و آهک‌های ماسه‌ای شروع می‌شود (شکل ۲-۴) و توالی ائوسن با مرز ناپیوسته بر

روی شیل و ماسه سنگ‌های ژوراسیک قرار گرفته است (شکل ۲-۶). در برخی نقاط توالی ائوسن توسط یک سری از دایک‌های آندزیتی ائوسن قطع گردیده‌اند (شکل ۲-۷). در مجاورت توده‌های آذرین نیمه‌عمیق، سنگ‌های مارنی و توفیت‌های کربناته توالی ائوسن متحمل دگرگونی مجاورتی شده و در آنها کانی‌هایی نظیر اپیدوت، کلریت و آکتینولیت رشد کرده‌اند (شکل ۲-۸ تا ۲-۱۰).



شکل ۲-۶- تصویر نشان دهنده ناپیوستگی بین ژوراسیک و قاعده توالی ائوسن.  $E^m$ : مارن ائوسن و مارن گچ دار.  $E^c$ : توالی آتشفشاری-رسوبی ائوسن.  $J^ss$ : ماسه سنگها و سیلیستونهای ژوراسیک. TADO: گنبد تراکی آندزیت.



شکل ۲-۷- تصویری از دایک قطع کننده توالی آتشفشاری-رسوبی ائوسن.



شکل ۲-۸- تصویری از توده آذرین نیمه عمیق به همراه سنگ‌های میزان مارنی که در مجاورت توده دگرگون شده‌اند.



شکل ۲-۹- نمای نزدیکی از سنگ‌های توفی سیلتستونی دگرگون شده در مجاورت توده گنبد بازمیان.

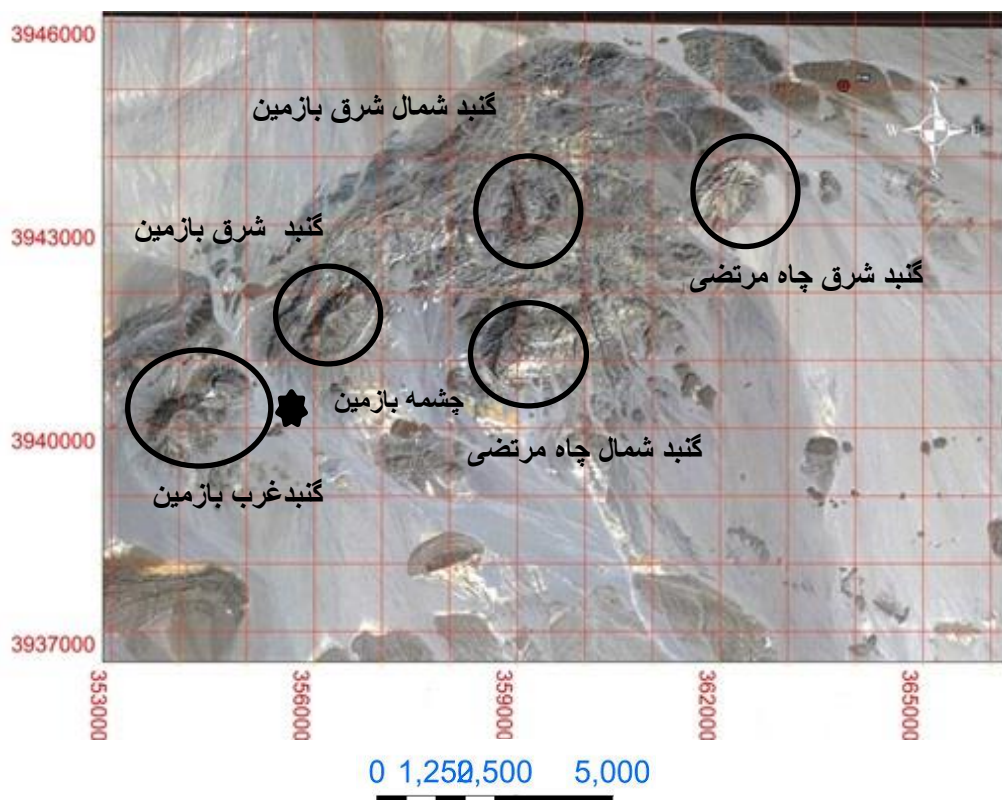
شکل ۲-۱۰- سنگ‌های توفی سیلتستونی دگرگون شده در مجاورت توده گنبد بازمیان.

### ۳-۲-۲- سنگ‌های آذرین نیمه عمیق اُوسن بالایی

سنگ‌های مربوط به این واحد به صورت گنبد، دایک و در مواردی سیل در مجموعه آتشفسانی و آتشفسانی- رسوبی اُوسن میانی نفوذ کرده‌اند. گنبدهای مورد مطالعه (شکل ۱۱-۲)، در صحرا عمدتاً به رنگ سفید تا خاکستری و خاکستری روشن مایل به سبز دیده می‌شوند (شکل ۱۲-۲) و در نمونه دستی دانه‌ریز تا دانه‌متوسط هستند، به گونه‌ای که در برخی موارد تشخیص اجزاء تشکیل‌دهنده سنگ در نمونه دستی با چشم غیرمسلح نیز امکان‌پذیر است. حضور فنوکریستهای درشت و کشیده هورنبلندسیز، یکی از خصوصیات بارز این سنگ‌ها است.

در مبحث قبلی به نفوذ دایک‌هایی در مجموعه آتشفشاری و آتشفشاری- رسوبی ائوسن اشاره شد (به شکل ۲-۷ رجوع شود). دایک‌های مذکور با توجه به مطالعات صحرایی و پتروگرافی انجام شده، اغلب دارای ترکیبی مشابه با ترکیب گنبدی‌های نیمه عمیق مورد مطالعه هستند. روابط صحرایی واحدهای سنگی نیز نشان می‌دهند که این دایک‌ها از نظر سنی هم زمان با گنبدی‌های نیمه عمیق مورد مطالعه در سنگ‌های میزبان نفوذ کرده‌اند، بنابراین می‌توان گفت این دایک‌ها در حقیقت دایک‌های تعذیه کننده گنبدی‌های مورد مطالعه هستند (شکل ۲-۱۳).

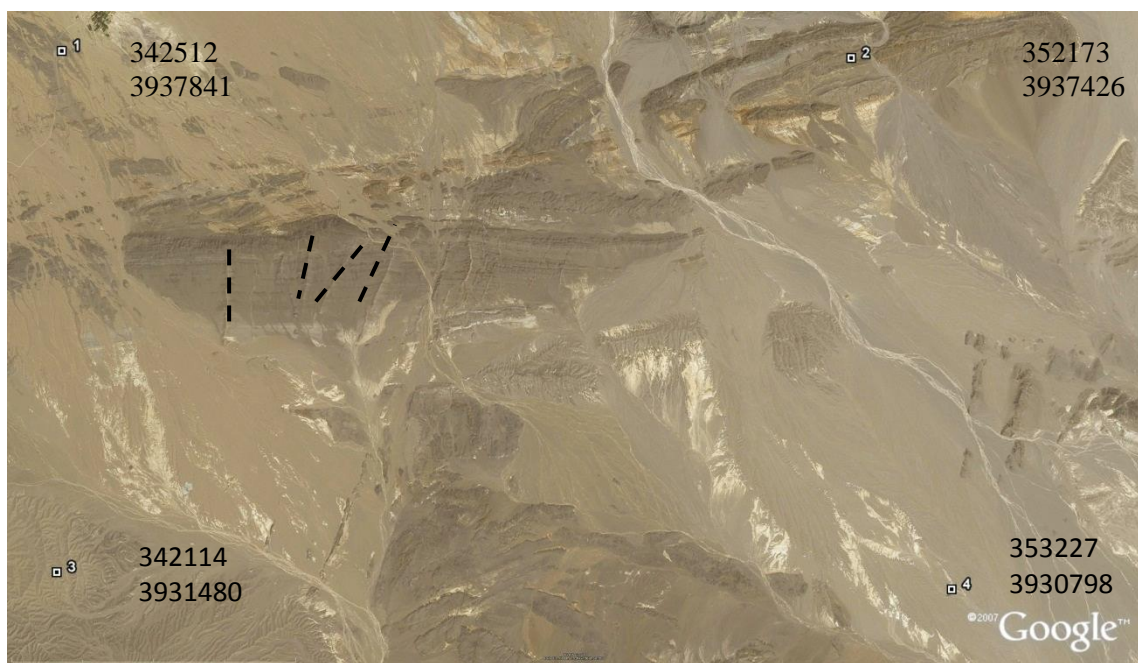
در برخی نقاط جایگزینی سنگ‌های مورد مطالعه در درون توالی آتشفشاری و آتشفشاری- رسوبی ائوسن، به بروز دگرگونی مجاورتی و دگرسانی گرمابی منجر شده است. هاله دگرگونی مجاورتی به صورت سنگ‌های تغییر رنگ یافته (از قرمز- ارغوانی به کرم تا سبز کم رنگ) و افزایش استحکام سنگ‌ها تجلی پیدا کرده است.



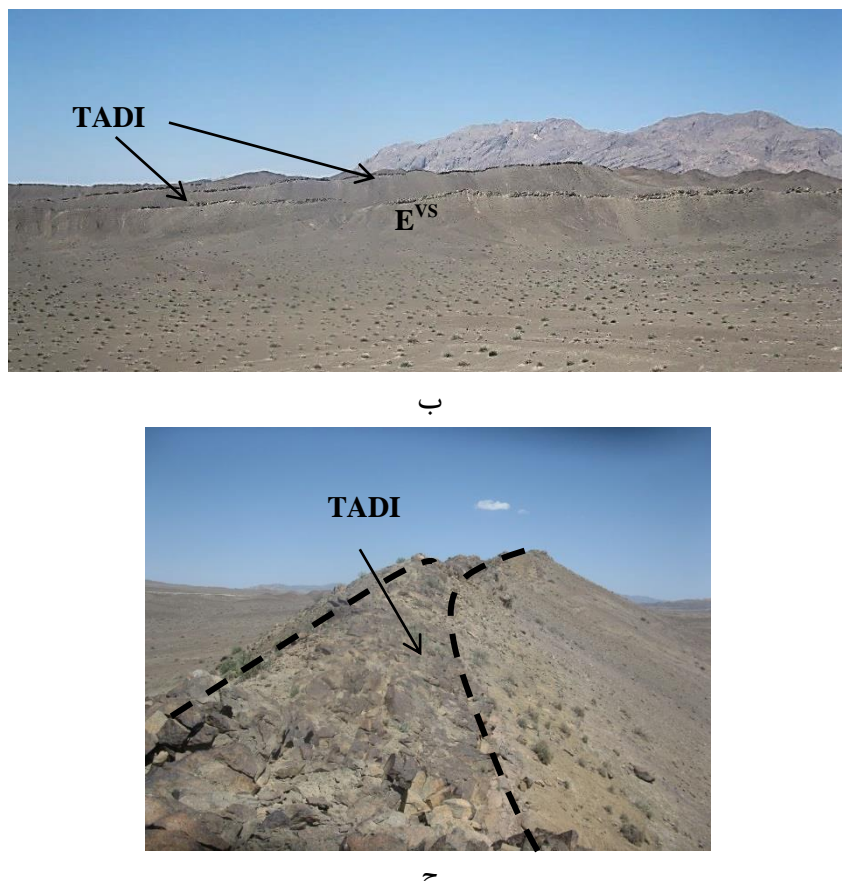
شکل ۲-۱۱- تصویر ماهواره‌ای که نشان دهنده محل رخنمون برخی از گنبدی‌های منطقه مورد مطالعه است.



شکل ۱۲-۲ - تصاویر صحرایی از گنبدهای مورد مطالعه.



الف



شکل ۲-۱۳-الف- تصویر ماهواره‌ای نشان دهنده دایک‌های قطع کننده توالی آتش‌شانی-رسوبی اوسن در جنوب رزه. ب- دورنمایی از رخنمون دایک‌ها در جنوب رزه. ج- نمای نزدیکی از دایک تراکی آندزیتی.

اغلب این گنبدها، حاوی آنکلاو هستند. در برخی مواردی اندازه آنکلاوها به حدود ۲۰ تا ۳۰ سانتی-متر می‌رسد. این آنکلاوها در نمونه دستی بیشتر به رنگ سبز زیتونی و سیاه دیده می‌شوند و هورنبلند (آمفیبول) و اوژیت (پیروکسن) در آنها به وفور یافت می‌شود (شکل ۲-۱۴).

با توجه به رابطه ژنتیکی آنکلاوها با سنگ‌های میزبان خود، به دو دسته آنکلاوهای همنشأ و غیر همنشأ قابل تقسیم هستند. آنکلاوهایی که دارای رابطه ژنتیکی با سنگ‌های آذرین میزبان خود می‌باشند غالباً از هورنبلند، پیروکسن و به مقدار کمتر پلاژیوکلاز غنی هستند. اندازه دانه‌های تشکیل دهنده آنها از ریز تا درشت متغیر بوده و دارای ساخت ریز دانه تا پگماتوئیدی هستند. این آنکلاوها شامل لخته‌های مافیک و توده‌های سنگی مافیک می‌باشند. بعضی از آنها تقریباً به طور صد درصد از هورنبلند تشکیل شده‌اند، به طوری که می‌توان به آنها نام هورنبلندیت اطلاق کرد. این آنکلاوها در

نمونه دستی دارای رنگ‌های سفید خاکستری تا کاملاً سیاه هستند. دسته دوم آنکلاوهایی هستند که فاقد رابطه ژنتیکی با سنگ میزبان بوده و دارای ماهیت گنیسی، میکاشیستی، آمفیبوليتي و گابرویی هستند. همچنین آنکلاوهایی با ماهیت توفی، توفی سیلتستونی در این توده‌ها یافت می‌شوند که از سنگ‌های آتشفسانی-رسوبی میزبان خود منشأ گرفته‌اند.



ب- تصویری از یک آنکلاو هورنبلنديتی



الف- تصویری از یک آنکلاو آمفیبوليتي



د- حضور بلوهای درشت و کشیده هورنبلنند در آنکلاو هورنبلنديتی



ج- آنکلاو دانه درشت هورنبلنديتی



و- تصویری از آنکلاو پگماتوئید دیبوریتی.



ه- آنکلاو هورنبلنديتی دارای حاشیه سریع سرد شده



ح- تصویری از آنکلاوهای میکروگرانولار مافیک (با ترکیب پلاژیوکلاز و به نمایش گذاشتن ساخت پگماتیتی دیوریتی).

شکل ۱۴-۲- تصاویری از انواع آنکلاوهای موجود در سنگ‌های تشکیل دهنده گنبدهای منطقه جنوب شرق سهل.

در شرق روستای رزه و جنوب و جنوب شرق روستای سهل، سنگ‌های آذرین نیمه عمیق با ترکیب آندزیت و آندزی بازالت به سن اوسن بالایی رخنمون دارند. اگر تعیین سن‌هایی که اخیراً در مورد سنگ‌های آذرین نیمه عمیق صورت گرفته (رساله دکتری جمشیدی، در دست انجام و ...) را مد نظر قرار دهیم بهتر است سن اوسن بالایی به آنها نسبت دهیم.

برای گنبدهای مشابه نیز نظراتی به شرح زیر ابراز شده است:

با توجه به حضور حجم زیادی از قطعات تخریبی نشأت گرفته از گنبدهای سابولکانیک ریولیتی غرب باشتن در کنگلومرای پلیوسن و عدم حضور آنها در واحدهای مارنی میوسن، این گنبدها در مرز زمانی میوسن- پلیوسن در سطح زمین رخنمون یافته‌اند (صالحی نژاد و همکاران، ۱۳۸۷).

در حدفاصل جنوب اسفراین تا جنوب قوچان سن توده‌های آذرین نیمه عمیق مشابه به پلیو- کواترنر نیز نسبت داده شده است (قاسمی و همکاران، ۱۳۸۹).

گنبدهای موجود در شمال و جنوب بیرجند، در سنگ‌های آتشفشنائی، آتشفشنائی- رسوبی و آتشفشنائی- تخریبی اوسن میانی و سنگ‌های افیولیتی کرتاسه- پالوسن جایگزین شده‌اند و بر اساس مشاهدات صحراایی دارای سن اوسن پایانی- الیگوسن آغازی(?) هستند (دلاور و همکار، ۱۳۸۹).

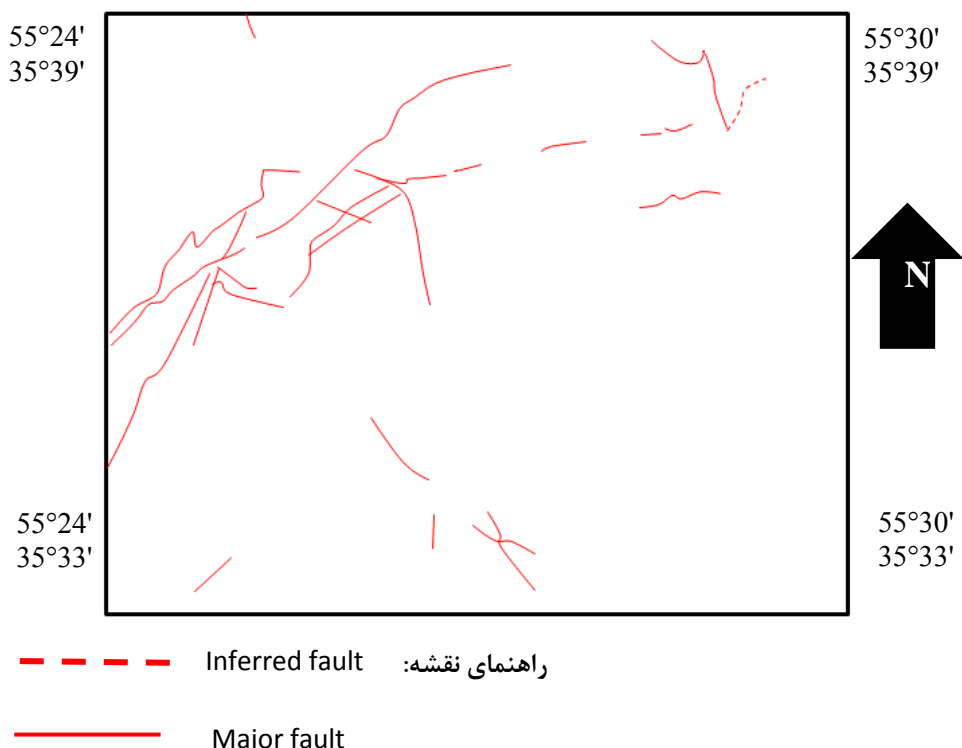
گنبدهای نوار افیولیتی شمال‌غرب- غرب سبزوار به محدوده زمانی ائوسن بالایی تا پلیوسن تعلق دارند و مجموعه افیولیتی کرتاسه- پائوسن، سنگ‌های آتشفسانی- رسوبی ائوسن و در برخی موارد سنگ‌های رسوبی الیگوسن- میوسن میزبان این گنبدها هستند (جمشیدی و همکاران، ۱۳۹۳).

#### ۴-۲-۲- مارن‌های نئوژن و پادگانهای آبرفتی کواترنری

مارن‌های نئوژن فقط در محدوده روستای سهل، رخنمون کم وسعتی به نمایش گذاشته‌اند. این سنگ‌ها بستر مناسبی برای ذخیره آب و انجام فعالیت کشاورزی در پیرامون روستای سهل فراهم کرده‌اند. رسوبات آبرفتی جوان (کواترنری)، این مارن‌ها را پوشانده‌اند و خود مارن‌های میوسن نیز به صورت ناپیوسته و دگرشیب بر روی شیل و ماسه‌سنگ ژوراسیک قرار گرفته‌اند.

#### ۳-۲- زمین‌شناسی ساختمانی و تکتونیک منطقه

منطقه مورد مطالعه بخشی از پهنه ساختاری ایران مرکزی به حساب می‌آید (اشتوکلین، ۱۹۷۴) که میان دو گسل مهم، انجیلو (در شمال) و ترود (در جنوب) واقع شده است. با توجه به رخساره‌های سنگ‌شناختی واحدهای سنگی، سن و تاریخچه تکوین زمین‌ساختی، واضح است که اغلب تحولات و رخدادهای زمین‌شناختی ناحیه تحت تأثیر مستقیم گسل‌های یادشده و گسل‌های موجود در میان آنها و دیگر فعالیت‌های تکتونیکی حاکم بر حوضه‌های رسوبی منطقه تا عهد حاضر قرار گرفته‌اند. بررسی نهشته‌های ائوسن نشان‌دهنده آغاز یک چرخه رسوبی- آتشفسانی پس از فاز کوهزایی لارامید و ادامه آن است که با پیش‌روی کنگلومراتی قاعده‌ای (ائوسن) در منطقه آغاز می‌شود و به دنبال فاز کششی بعدی، کشش و انبساط کلی پوسته زمین، باعث فعال شدن گسل‌ها، شکستگی‌های ژرف کهن و بیرون ریختن مواد مذاب در راستای آنها شده است. حضور سنگ‌های آتشفسانی- رسوبی ائوسن نشان از پیدایش آنها در محیط قاره‌ای و زیردریایی دارد. علاوه بر گسل ترود و گسل انجیلو وجود سیستم‌های گسلی دیگر با راستای شرقی- غربی و جنوب غربی- شمال شرقی بیانگر حضور فعال و تأثیرگذار تکتونیک در منطقه است (شکل ۲-۱۵).



شکل ۲-۱۵- نقشه پراکندگی گسل‌های منطقه جنوب سهل برگرفته از نقشه زمین‌شناسی ۱:۱۰۰.۰۰۰ ایلخچی (۱۳۸۲).



# فصل سوم

## پتروگرافی

## ۱-۳ - مقدمه

جهت مطالعه پتروگرافی و کانی‌شناسی منطقه مورد مطالعه، از تعداد ۱۱۵ نمونه برداشت شده در ۲۴ ایستگاه، حدود ۶۷ مقطع نازک میکروسکوپی تهیه و مورد مطالعه قرار گرفت. در مبحث پتروگرافی به بررسی بافت‌ها، کانی‌های سازنده سنگ‌ها و ترتیب تبلور آنها پرداخته خواهد شد. به بیانی دیگر، پتروگرافی یا سنگ‌نگاری جهت تشخیص بهتر روابط صحرایی، نام‌گذاری دقیق‌تر سنگ‌ها، شناخت وضعیت کانی‌شناسی، بافت و ترتیب تبلور کانی‌ها صورت می‌گیرد. به علاوه، می‌توان شواهدی از تحولات ماقمایی نظیر تبلور تفریقی، هضم، آلایش و... را در مطالعات پتروگرافی بررسی کرد.

به طور کلی طیف سنگ‌شناسی گنبدهای مورد مطالعه، آندزیت و تراکی آندزیت است. این سنگ‌ها درون سنگ‌های رسوبی (میزان) پالوسن تا ائوسن میانی جای گرفته‌اند. سنگ‌های آتشفسانی و آتشفسانی-رسوبی دارای ترکیب مارن، سیلتستون، ماسه‌سنگ، آهک میکراتی، ولکانی کلاستیک‌ها، توف، لیتیک‌توف، توفیت، آگلومرا و گدازه‌های بازالتی هستند. گنبدهای آذرین مورد مطالعه مرتبط با فعالیت‌های ماقمایی ائوسن بالایی هستند.

علائم اختصاری استفاده شده در این فصل، در جدول (۱-۳) آمده‌اند:

جدول ۱-۳- علائم اختصاری بکار برده شده در فصل.

نام کانی	علامت اختصاری	نام کانی	علامت اختصاری
هورنبلند	Hb	سریسیت	Ser
پیروکسن	Px	مگنتیت	Mt
بیوتیت	Bio	اوژیت	Aug
کانی‌های اپک	Opq	آپاتیت	Ap
پلاژیوکلاز	Plg	اپیدوت	Epd
کلریت	Chl	کلسیت	Ct
زئولیت	Zeo	ارتوز	Or

### ۳-۲-۳- ویژگی‌های پتروگرافی گنبدهای آذرین

#### ۳-۲-۱- آندزیت‌ها

سنگ‌های آندزیتی جزء سنگ‌های حدواسط به حساب می‌آیند. این سنگ‌ها در نمونه دستی دارای رنگ خاکستری روشن هستند (شکل ۳-۱). از جمله بافت‌های مشاهده شده در این سنگ‌ها، بافت‌های جریانی، غربالی (شکل ۳-۲)، پورفیری (شکل ۳-۳) و گلومروپورفیری (حاصل تجمع فنوکریست‌های پیروکسن و هورنبلند) هستند (شکل ۳-۴).

برخی از سنگ‌های آذرین از بلورهایی (دانه‌هایی) با اندازه‌های متفاوت تشکیل می‌شوند. این مشخصه می‌تواند نشان دهنده سرعت رشد متفاوت کانی‌ها باشد. بنابراین، بافت پورفیری بیانگر سرد شدن ماقما طی دو مرحله است. در مرحله نخست، بلورهای درشت فنوکریست در بازه‌ای از سرد شدن آرام ماقما تشکیل شده‌اند درحالی که زمینه سنگ در نتیجه سرد شدن سریع و پس از صعود ماقما و جایگزینی در اعمق کمتر تشکیل شده است. کانی‌های تشکیل دهنده سنگ‌های آندزیتی شامل: پلازیوکلاز، هورنبلند سبز، اکسی‌هورنبلند، اوژیت، کانی‌های اپک، زئولیت، آپاتیت و اسفن هستند.

#### کانی‌های اصلی

##### - پلازیوکلاز

پلازیوکلاز در این سنگ‌ها به دو صورت فنوکریست و دانه ریز حضور دارد. این کانی، فراوان‌ترین کانی موجود در سنگ‌های آندزیتی است. این کانی دارای بافت غربالی بوده و منطقه‌بندی ترکیبی نیز نشان می‌دهد. ترکیب و نحوه رشد فلدسپارها منعکس کننده تغییرات مهم در محیط تبلور ماقما بوده و می‌تواند شواهد قابل قبولی از شرایط فیزیکی تبلور، تحول و تغییر ترکیب مذاب ارائه دهد (اسلبی و گوتز، ۲۰۰۴). حضور پلازیوکلاز به صورت فنوکریست و دانه‌ریز در زمینه سنگ، حاکی از تبلور پلازیوکلاز در دو مرحله می‌باشد. درشت بودن بلورهای پلازیوکلاز نسل اول ممکن است به علت وجود

یک مرحله سرد شدن طولانی در اتاق ماگمایی باشد. در اینجا پایین بودن نرخ هسته‌بندی و بالا بودن نرخ رشد این بلورها باعث درشت شدن آن‌ها در مراحل اولیه رشد می‌شود. یعنی هسته‌بندی به سختی صورت گرفته و تعداد محدودی نطفه تشکیل شده است؛ لذا به دلیل آسان بودن انتشار در محیط رشد بلور، بلورها رشد فوق العاده‌ای دارند. پلازیوکلازهای نسل دوم نیز در حین صعود نهایی و جایگیری ماگما در اعمق کمتر، متبلور شده‌اند (آسیابانها، ۱۳۷۴). ماکل پلی سنتیک و آلبیت- کارلسbad و همچنین منطقه‌بندی ترکیبی، از ویژگی‌های بارز پلازیوکلاز به شمار می‌رود (شکل ۳-۵). معمولاً منطقه‌بندی نشانگر کند بودن سرعت ایجاد تعادل نسبت به سرعت رشد بلور است. به عبارتی دیگر ساختمان منطقه‌ای نشان دهنده عدم تعادل کانی با مذاب اطرافش است و آشفتگی‌های دمایی ناشی از ورود ماگمای جدید به درون مخزن ماگمایی در حال تبلور، تغییرات فشار بخار آب و افت سریع دما، همه می‌توانند به ایجاد منطقه‌بندی در پلازیوکلاز در حال تبلور منجر شوند (شلی<sup>۱</sup>، ۱۹۹۳). اگر در سیستم پلازیوکلاز، تعادل کامل برقرار باشد بلورها به طور ممتد با ماده مذاب واکنش می‌دهند و نه تنها در پلازیوکلازها منطقه‌بندی به وجود نمی‌آید بلکه ترکیب آن‌ها با ترکیب ماده مذاب اولیه به تعادل می‌رسد. بر اساس مطالعاتی که جمشیدی و همکاران (۱۳۹۲)، بر روی فلدسپارهای موجود در سنگ‌های آذرین پساافیولیتی شمال سبزوار انجام داده‌اند، مشخص شده است که وجود انواع منطقه‌بندی ترکیبی و بافت غربالی در بلورهای پلازیوکلاز به همراه حضور توأم پلازیوکلازهای با بافت غربالی و پلازیوکلازهای سالم در می‌توانند شاهدی بر فرایند اختلاط ماگما، در آشیانه‌های ماگمایی باشند.

باft غربالی در پلازیوکلازها در حقیقت پاسخ بلور به تغییرات شرایط فیزیکی و شیمیایی در مخزن ماگمایی است. ایجاد بافت‌های غیر تعادلی مانند بافت غربالی، منطقه‌بندی و حاشیه‌های واکنشی معمولاً به تغییر متغیرهای مستقل (فشار و دما و ترکیب شیمیایی) وابسته است که حالت تعادل قبلی سیستم را به هم می‌زند. این بافت‌ها در اثر تغییرات حرارتی و شیمیایی مذابی که در تماس با بلور

است حاصل می‌شوند و احتمالاً نتیجه: انتقال بلور به بخشی دیگر از ماغما، جریان مذاب بین بلورهایی که زودتر تشکیل شده‌اند و تفریق پیشرونده مذاب است. از آنجاییکه در مطالعات حاضر آنالیز میکروپرورپ انجام نگرفته، نمی‌توان اظهارنظر دقیقی درباره عوامل یاد شده، ابراز داشت.

### - هورنبلند

مهمترین کانی مافیک تشکیل دهنده آندزیتها، هورنبلند سبز تا قهوه‌ای و اکسی هورنبلند است. این کانی هم به صورت فنوکریست و هم به صورت ریز بلور در زمینه سنگ حضور دارد و به صورت شکل‌دار تا نیمه شکل‌دار دیده می‌شود. اندازه بلورهای هورنبلند متغیر است و تا ۵ میلی‌متر هم می‌رسد. هورنبلند در برخی موارد دارای ماکل گوهای است. حضور هورنبلند در این سنگ‌ها نشان دهنده مقدار قابل توجهی از آب در ماغما است. در مقاطع طولی، هورنبلند به صورت کشیده و سوزنی شکل مشاهده می‌شود و در مقاطع عرضی به صورت شش گوش با دو سری رخ لوزی یافت می‌شود. اکثر بلورهای هورنبلند اپاسیتی شده‌اند و حاشیه سیاه رنگی در اطراف خود به نمایش می‌گذارند. هنگامی که مقدار اکسیژن موجود در محیط حضور مذاب افزایش می‌یابد، آهن ترجیح می‌دهد با اکسیژن وارد واکنش شود و در ساخت اکسیدهای آهن به ویژه مگنتیت مشارکت کند. مگنتیت‌های تشکیل شده عموماً ریزدانه هستند و به صورت حاشیه‌ای اطراف بلورهای کانی‌های فرومیزین نظیر هورنبلند و بیوتیت را فرامی‌گیرند. به این پدیده اپاسیتی شدن می‌گویند. اپاسیتی شدن نشان دهنده بالا بودن فوگاسیته اکسیژن و از دست رفتن آب حین فوران ماغمات است (بست، ۲۰۰۳). در نمونه‌های سنگی مورد مطالعه برخی از هورنبلندها دارای حاشیه انحلالی هستند. اکثر هورنبلندهای موجود در آندزیتها منطقه مورد نظر در مقیاس میکروسکوپی دارای منطقه‌بندی ترکیبی هستند (شکل ۳-۶).

### - کلینوپیروکسن

بلورهای این کانی شکل‌دار تا بی‌شکل دیده می‌شوند. برجستگی بالا و زاویه خاموشی حدود ۴۵ درجه و ته رنگ‌های صورتی، سبز و زرد از ویژگی‌های این کانی است. با توجه به نوع ته رنگ‌ها و

پلئوکروئیسم کلینوپیروکسن مورد نظر از نوع اوژیت تیتان دار است. گاهی تجمعات آنها به نمایش بافت گلومرولوپورفیری در سنگ منجر شده است. برخی از آنها حاوی ادخالهایی از مگنتیت هستند (شکل ۳-۷) و برخی دیگر نیز به صورت ادخال درون هورنبلندهای سبز و اکسی هورنبلندها یافت می‌شوند. اوژیت‌های موجود در این گروه از سنگ‌ها فراوانی قابل توجهی برخوردار هستند و بنابراین جزء کانی‌های اصلی سازنده این سنگ‌ها محسوب می‌شوند.

### کانی‌های فرعی

#### - بیوتیت

این کانی به دلیل فراوانی کم، جزء کانی فرعی تشکیل دهنده این گروه از سنگ‌های به شمار می‌آید و به صورت بلورهای نیمه شکل‌دار مشاهده می‌شود.

بیوتیت در سنگ‌های آندزیتی اغلب به صورت اپاسیتی شده یافت می‌شود و دارای حاشیه سوخته می‌باشد. این کانی در حاشیه آنکلاوها وجود دارد. این کانی اغلب به همراه مگنتیت یافت می‌شود (شکل ۳-۸).

#### - آپاتیت

بلوهای آپاتیت عموماً باریک، ریز و دارای برجستگی بالا بوده و اغلب به صورت ادخال در کانی‌هایی مانند هورنبلند دیده می‌شوند (شکل ۳-۹). حضور بلورهای سوزنی، طویل و کشیده آپاتیت نشان دهنده سرعت بالای سرد شدن ماقما و بیانگر بالا بودن میزان  $P_2O_5$  می‌باشد (براؤن، ۲۰۰۱).

#### - کانی‌های اپک

این کانی‌ها، اغلب نیمه‌شکل‌دار تا بی‌شکل هستند و به صورت ادخال درون کانی‌های اصلی حضور دارند (شکل ۳-۱۰ و ۷-۳). به ویژه در کانی‌هایی نظیر اکسی‌هورنبلند، هورنبلند، اوژیت و بیوتیت

یافت می‌شوند. بخشی از کانی‌های اوپک حاصل دگرسانی کانی‌های فرومینیزین است، این دسته از کانی‌های اپک غالباً بی‌شکل هستند و در امتداد رخ‌ها و درون شکستگی‌ها یافت می‌شوند.

### - اسفن -

اسfen به صورت کانی فرعی، کم و بیش در آندزیت‌ها به چشم می‌خورد. اسفن هم به صورت اولیه و هم به صورت ثانویه، تقریباً قابل مشاهده است و معرف بالا بودن میزان Ti در ماقامات سازنده این سنگ‌هاست. در مقاطع میکروسکوپی، اسفن‌های اولیه غالباً شکل‌دار و دارای اشکال هندسی مشخص مانند لوزی، مثلثی و غیره هستند. اسفن به صورت ادخال در هورنبلند نیز یافت می‌شود. در آندزیت‌ها، اسفن‌های ثانویه در اطراف بلورهای کانی‌های فرومینیزین و همچنین مگنتیت و تیتانومگنتیت دگرسان شده تشکیل گردیده‌اند. Ti خارج شده در طی دگرسانی کانی‌های مافیک مانند اوژیت، هورنبلند و بیوتیت، همراه با Ca و Si آزاد شده در خلال فرآیند دگرسانی کانی‌های مافیک و پلازیوکلازها، به تشکیل اسفن ثانویه در اطراف کانی‌های اپک منجر شده است. تیتانومگنتیت بر اساس واکنش شماتیک زیر به اسفن تبدیل می‌شود.



### کانی‌های ثانویه

#### - کلریت، کلسیت، اپیدوت و زئولیت

کلریت، یکی از کانی‌های ثانویه موجود در آندزیت‌ها است که از دگرسانی کانی‌های فرومینیزین مثل اوژیت، هورنبلند سبز، اکسی هورنبلند و بیوتیت به وجود آمده است، در نور پلاریزه متقطع، دارای رنگ آبی لجنی است و عموماً بی‌شکل دیده می‌شود. حضور کلریت نشانگر وجود فاز سیال در طی دگرسانی است. کلسیت به صورت بلورهای نیمه‌شکل‌دار تا بی‌شکل در سنگ مشاهده می‌شود. کلسیت هم از دگرسانی کانی‌های فرومینیزین نظیر اوژیت و هورنبلند و هم از دگرسانی بلورهای پلازیوکلازها حاصل شده است و فضای بین سایر کانی‌ها را پر کرده‌اند. اپیدوت حاصل دگرسانی اوژیت، هورنبلند و

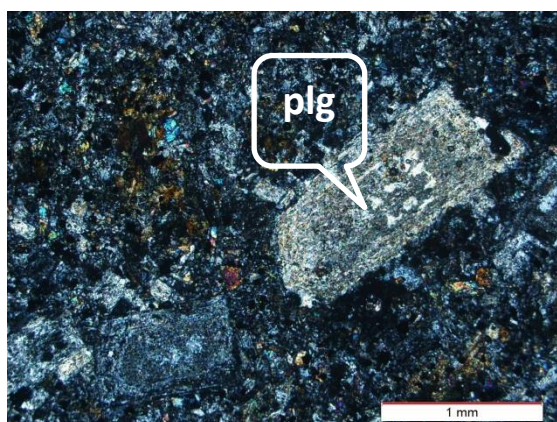
پلازیوکلаз است. حضور اپیدوت نشانگر وجود آب در طی دگرسانی است. با اضافه شدن آب به پلازیوکلاز کلسیک در طی دگرسانی گرمابی، بخش آنورتیتی پلازیوکلاز به اپیدوت و کلسیت و سریسیت تبدیل می‌شود (گوپتا، ۲۰۰۷).



دگرسانی پلازیوکلازها و آزاد شدن یون کلسیم همراه با سایر عناصر لازم برای تشکیل اپیدوت، به تولید اپیدوت منجر شده است. کانی‌های فرومینیزین نیز در تشکیل اپیدوت سهیم هستند.

در برخی نمونه‌ها، زئولیت به صورت پرکننده حفرات، درزهای و شکستگی‌ها یافت می‌شود. زئولیت‌ها غالباً بافت اسفلولیتی نشان می‌دهند (شکل ۳-۱۱). زئولیت‌ها به کمک فاز سیال شستشو دهنده آندزیت‌ها و غنی‌شدگی آن از عناصر لازم، تشکیل شده‌اند.

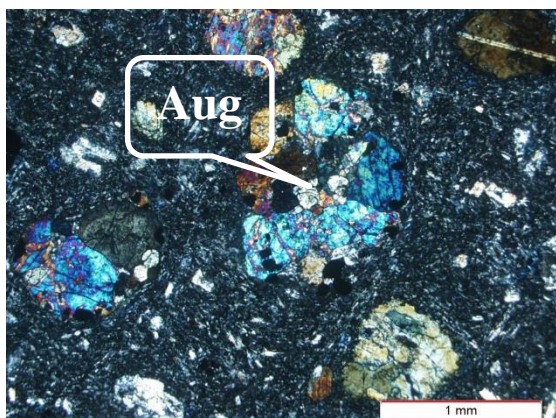
از تعداد ۶۰ مقطع، می‌توان گفت بر حسب فراوانی مقدار کانی‌های روشن و تیره و مقدار فراوانی آنها، آندزیت‌ها را به سه دسته: ۱- غنی از پلازیوکلاز (الیگوکلاز- آندزین)، ۲- غنی از اوژیت و ۳- غنی از هورنبلند تقسیم‌بندی کرد (شکل ۳-۱۲).



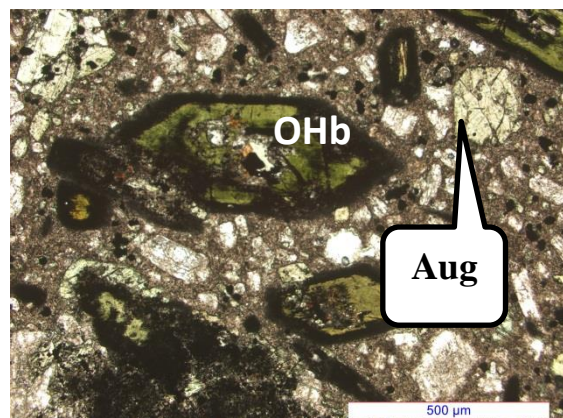
شکل ۳-۲-۳- تصویری از بافت غربالی در فنوتکنیست پلازیوکلاز (XPL).



شکل ۳-۱-۳- تصویری از آندزیت در نمونه دستی.



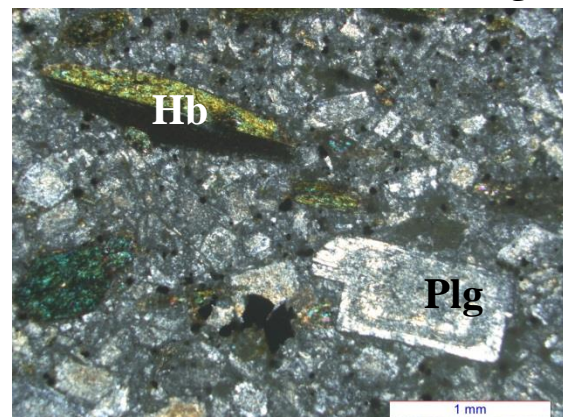
شکل ۳-۴-۳- بافت گلومروپورفیری حاصل از تجمع فنوکریستهای اوژیت در آندزیت‌ها (XPL).



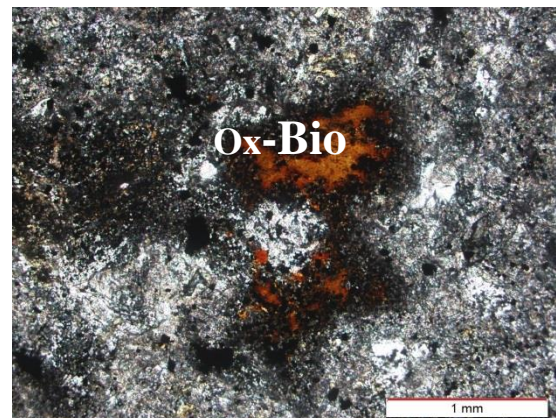
شکل ۳-۳- بافت پورفیری در آندزیت‌های دارای فنوکریستهایی از اوژیت و اکسی هورنبلند با مقطع عرضی شش گوش (PPL).



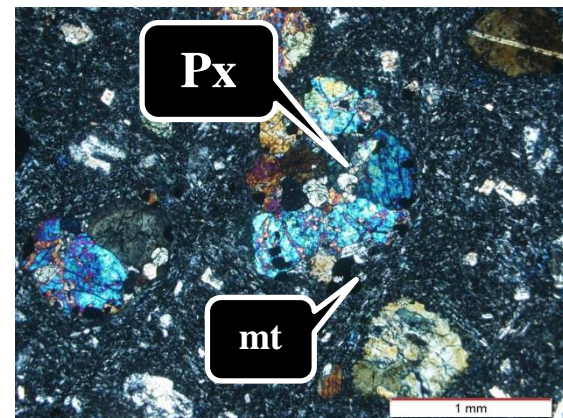
شکل ۳-۶- مقطع طولی یک فنوکریست هورنبلند دارای منطقه‌بندی و حاشیه انحلالی (XPL).



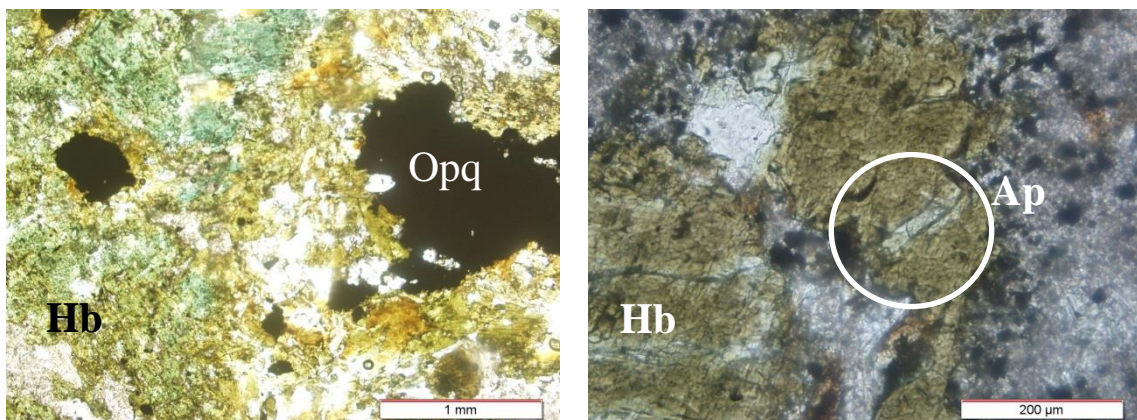
شکل ۳-۵- فنوکریست‌های پلازیوکلاز دارای منطقه‌بندی ترکیبی و ریز بلورهای پلازیوکلاز در زمینه سنگ به همراه فنوکریست‌های هورنبلند با ماکل گوهای (XPL).



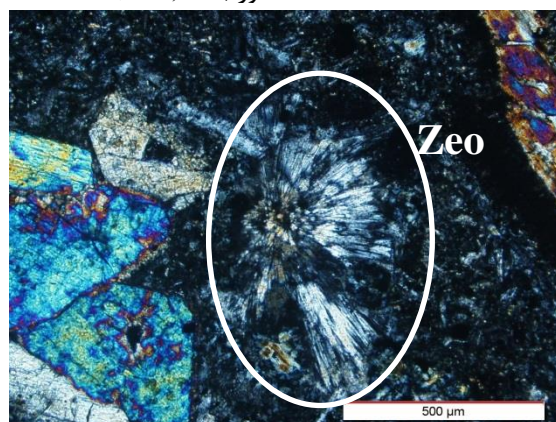
شکل ۳-۸- تصویری از اکسی بیوتیت به همراه مگنتیت در حاشیه و اطراف آن (PPL).



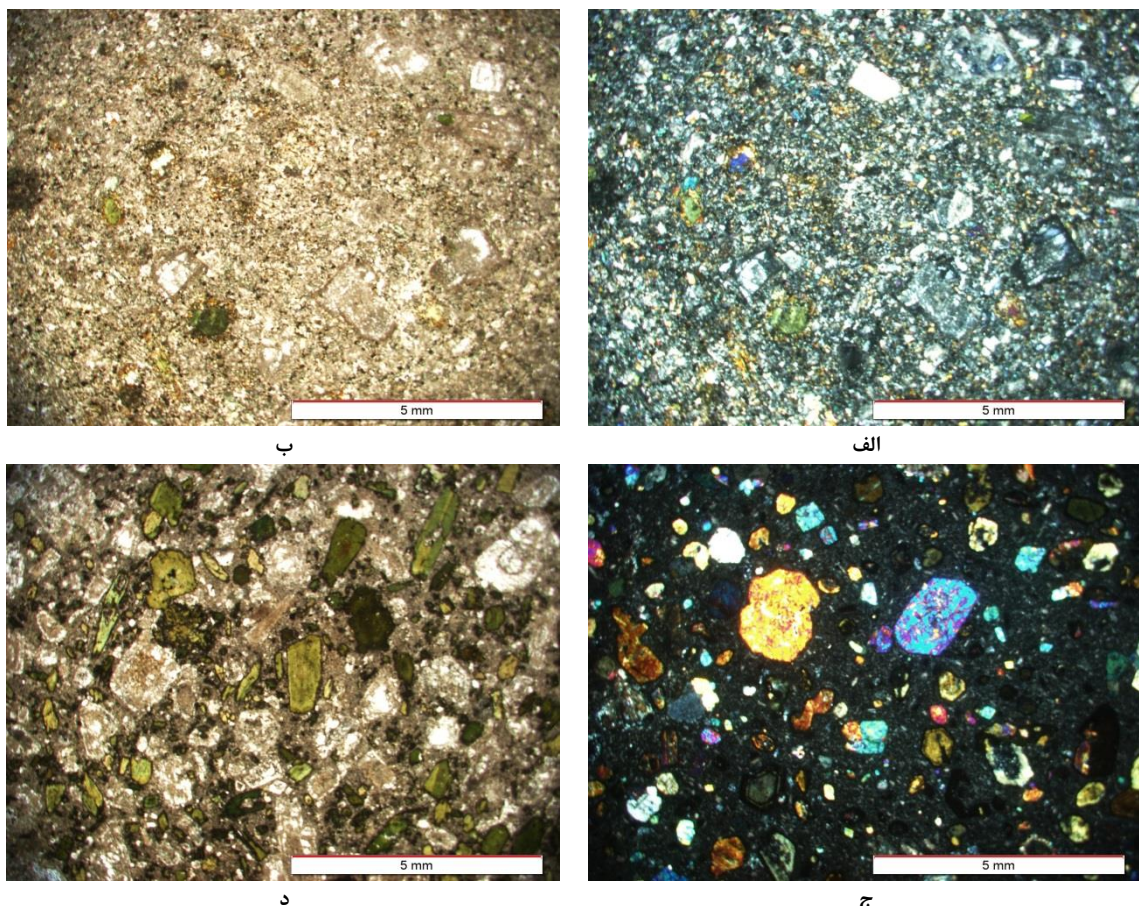
شکل ۳-۷- بافت گلومروپورفیری حاصل از تجمع فنوکریست‌های تیتان اوژیت به همراه ادخال مگنتیت موجود در آنها (XPL).



شکل ۳-۹-۱۰- تصویری از ادخال آپاتیت موجود در شکل ۳-۱۰- حضور کانیهای اپک به صورت ادخال در هورنبلند سبز (PPL). (PPL)



شکل ۳-۱۱- بلورهای شعاعی زئولیت (دارای بافت اسفلولیتی) در سنگهای آندزیتی. زئولیت یک کانی ثانویه و پرکندهدرزها و حفرات آندزیت‌ها می‌باشد (XPL).



شکل ۳-۱۲- الف و ب- تصویر میکروسکپی از آندزیت‌های غنی از پلاژیوکلاز (الف- XPL و ب- PPL). ج- تصویر میکروسکپی از آندزیت‌های غنی از پیروکسن (به صورت فنوکریست) (XPL). د- تصویر میکروسکپی از آندزیت‌های غنی از هورنبلند (به صورت فنوکریست) (PPL).

### ۳-۳- پتروگرافی سنگ‌های میزبان

سنگ‌های میزبان توده‌های آذرین مورد مطالعه را می‌توان به چند دسته تقسیم کرد که عبارتند از: سنگ‌های بازالتی، سنگ‌های آذراواری، هیالوکلاستی و سنگ‌های رسوبی. در ادامه به طور اجمالی به بررسی پتروگرافی آنها خواهیم پرداخت.

#### ۱-۳-۳- بازالت

بازالت‌های مورد نظر در نمونه دستی، تیره رنگ دیده می‌شوند. این سنگ‌ها اغلب دارای بافت‌های جریانی، پورفیری و آمیگدالوئیدال هستند. کانی‌های اصلی تشکیل دهنده آنها عمدتاً پلاژیوکلاز و پیروکسن نوع اوژیت است. اوژیت در برخی موارد ماکل ساعت شنی نشان می‌دهد (شکل ۳-۱۳).

کانی‌های فرعی موجود در این سنگ‌ها، مگنتیت و آپاتیت هستند و اغلب در داخل فنوکریستهای اوژیت و پلازیوکلاز به صورت ادخال یافت می‌شوند. کلسیت و کلریت به عنوان کانی‌های ثانویه در این سنگ‌ها حضور دارند. کلسیت در حقیقت از تجزیه کانی‌های کلسیم دار مانند پلازیوکلاز و اوژیت تشکیل شده است و کلریت نیز حاصل دگرسانی کانی‌های فرومینیزین می‌باشد و معرف حضور سیال آبدار در طی دگرسانی و خروج  $\text{Na}, \text{Ca}$  از اوژیتها و هورنبلندها است. در مواردی که دگرسانی توسعه زیادی پیدا کرده است اپیدوت و کلریت به وفور یافت می‌شوند.

### ۳-۲-۳- سنگهای رسوی

سنگ‌های رسوی به دو گروه کلی آواری و کربناته قابل تقسیم هستند. از این میان گروه آواری‌ها را می‌توان به سه دسته کنگلومرا، ماسه سنگ‌های توفی و مارن‌ها طبقه‌بندی کرد.

#### الف- کنگلومرا

کنگلومراهای مورد مطالعه دارای دانه‌های ریزی است و قطعات تشکیل دهنده آن شامل: فلدرسپارها، کوارتر پلی‌کریستالین، مسکوویت و خورده سنگ‌های ولکانیکی است. زمینه این سنگ اغلب ماسه‌ای است و دارای سیمان کربناته آهن‌دار می‌باشد (شکل ۳-۱۴).

#### ب- ماسه سنگ‌های توفی

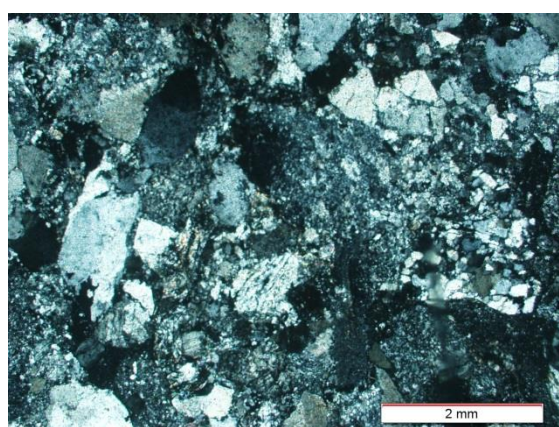
قطعات تشکیل دهنده ماسه سنگ‌ها، اغلب عبارتند از: پلازیوکلاز (اکثراً به صورت هوازده شده)، خرده کانی‌های فرومینیزین و خرده سنگ ولکانیکی (احتمالاً بازالت). این سنگ‌ها دارای سیمان کربناته هستند. از نظر بافتی غیربالغ به حساب می‌آیند و در برخی موارد جورشده نسبتاً خوبی نشان می‌دهند. این ماسه‌سنگ‌ها بر اساس تقسیم‌بندی فولک نام لیتیک آرکوز به خود می‌گیرند (شکل ۳-۱۵).

## ج- مارن‌ها

این نمونه‌ها در برخی نقاط در مجاورت توده‌های آذرین نیمه عمیق، متحمل دگرگونی مجاورتی شده‌اند. در بررسی میکروسکوپی به علت دگرگونی مجاورتی صورت گرفته در محل کنتاکت اندازه دانه‌های موجود در آن درشت‌تر شده و همچنین به رنگ سبز دیده می‌شود. رنگ سبز به علت حضور اپیدوت، کلریت و آکتینولیت می‌باشد. کلسیت کانی دیگری است که در این سنگ‌ها یافت می‌شود و نسبتاً دانه درشت‌تر است. این امر نشان‌دهنده رشد برجای آنهاست. از طرفی مقداری کلسیت اولیه به صورت میکرایت در زمینه سنگ وجود دارد. بلورهای بسیار ریز اکتینولیت بصورت رشته‌ای و به رنگ سبز در سنگ حضور دارند. این کانی همراه با اپیدوت در ارتباط با دگرگونی مجاورتی تشکیل شده‌اند. مقداری کوارتز و اسفن و اکسید آهن نیز در سنگ وجود دارد.

## - سنگ‌های کربناته

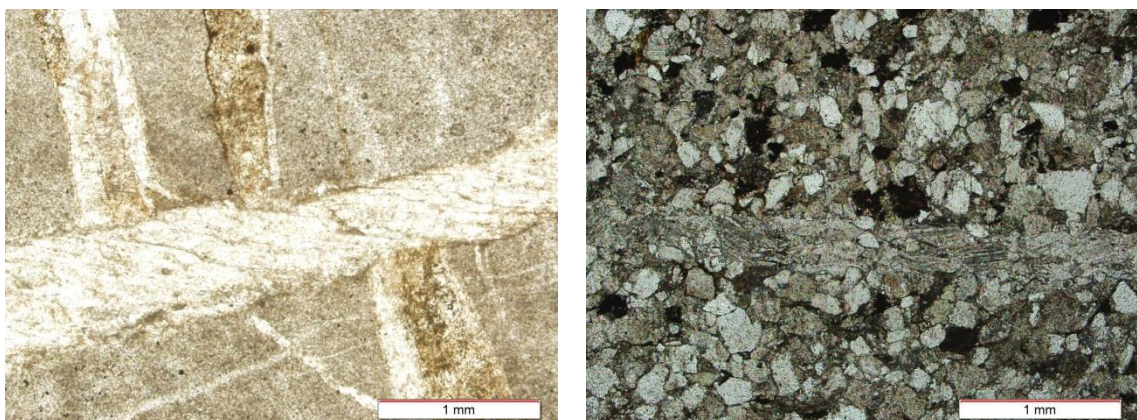
سنگ‌های کربناته اغلب به صورت آهک میکرایتی هستند (بر اساس تقسیم بندي دانهام مادستون نامیده می‌شوند) و در برخی موارد دارای رگه‌های اسپارایتی می‌باشند (شکل ۳-۱۶). در بعضی نمونه‌ها نیز ساختار استیلولیتی در آنها مشاهده می‌شود (شکل ۳-۱۷) (به استناد مذاکره شفاهی با دکتر جعفرزاده).



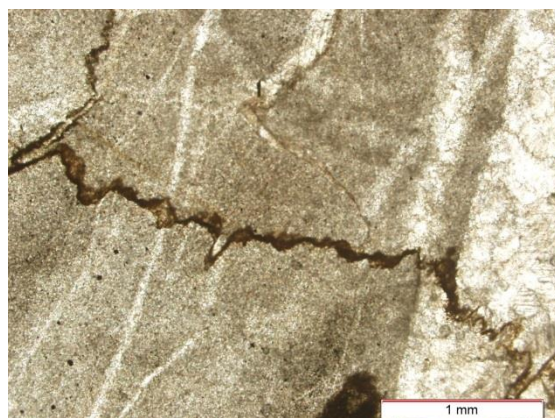
شکل ۳-۱۴- تصویر میکروسکوپی از کنگلومرا (XPL).



شکل ۳-۱۳- تصویر میکروسکوپی از بافت پورفیری متاثر از وجود فنوکریست پیروکسن دارای ماکل ساعت‌شنی در بازالت‌های پورفیری. به جهت یافتنگی ریزبلورهای پلازیوکلاز توجه شود (XPL).



شکل ۳-۱۶-۳ - تصویر میکروسکپی از وضعیت دانه‌بندی و کانی‌های سازنده ماسه سنگ‌های مورد مطالعه همراه با رگه کلسیتی قطع کننده آن. کوارتز، خرده‌های پلازیوکلаз، خرده‌های کانی‌های اوپک و کانی‌های فرومینیزین سازنده‌گان آنها هستند (PPL).



شکل ۳-۱۷ - تصویری میکروسکپی از ساختار استیلولیتی موجود در سنگ آهک میکرایتی (PPL).

#### ۳-۴- پتروگرافی آنکلاوهای:

در مطالعات صحرایی مشاهده شد که آنکلاوهای موجود در گنبدهای مورد مطالعه از نظر اندازه از حدود چند میلیمتر تا ۳۰ سانتی‌متر متغیر بوده و به صورت گرد، بیضوی و در برخی موارد زاویه‌دار با رنگ‌های سفید، سبز زیتونی، سبز تیره و سیاه دیده می‌شوند.

این آنکلاوهای در نمونه دستی نسبت به سنگ در برگیرنده خود اغلب ریز دانه تر و تیره تر هستند. از نظر ترکیبی به انواع آمفیبولیتی، میکاشیستی، گنایسی، پیروکسنیتی، هورنبلنديتی، گابرویی، گابرو-دیوریتی و دیوریتی قابل تقسیم هستند. طبق مطالعات صحرایی و پتروگرافی انجام شده می‌توان این

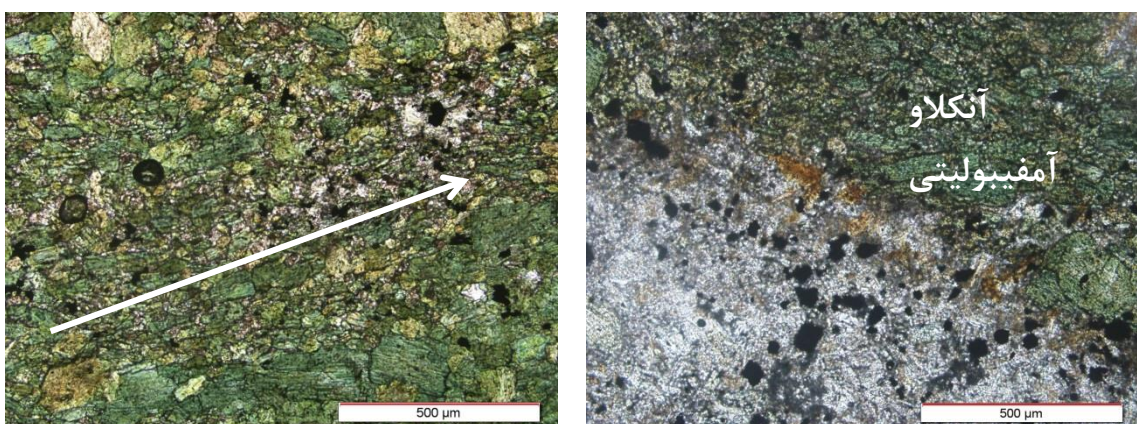
آنکلاوها را به دو دسته هم منشأ با سنگ در برگیرنده (آنذیت‌ها) و غیر هم منشأ تقسیم کرد (دیدیه ۱۹۷۳، ۱۹۶۴).

#### ۱-۴-۳- آنکلاوهای زینولیتی

این دسته از آنکلاوها از سنگ‌های میزبان و سایر سنگ‌هایی که در مسیر صعود ماگما حضور داشته‌اند، سرچشم‌هه گرفته‌اند و شامل آنکلاوهای آمفیبوليتي، میکاشیستي، گنايسی و سنگ‌های توفی سیلتستونی می‌شوند و شاهد بارز وقوع آلايش و هضم پوسته‌ای هستند. متعاقباً درباره هر یک از این آنکلاوها توضیحات لازم ارائه خواهد شد.

##### الف- آنکلاوهای آمفیبوليتي

این آنکلاوها دارای برگوارگی هستند و حاوی کانیهای هورنبلند سبز، پلاژیوکلаз و به مقدار کم کوارتز هستند. بیوتیت نیز به مقدار کم در آنها یافت می‌شود (شکل ۳-۱۸ و ۳-۱۹). دگرشکلی و تورق از ویژگی‌های بارز این آنکلاوها است.



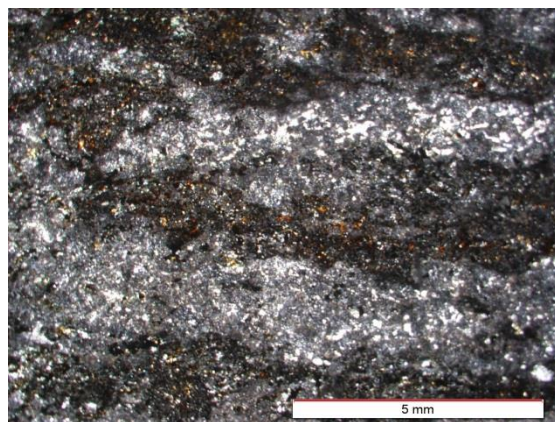
شکل ۳-۱۹- تصویر میکروسکوپی آنکلاو آمفیبوليتي به نماتوبلاستی در آنکلاو آمفیبوليتي (PPL). همراه بخشی از سنگ در برگیرنده آن (PPL).

در نزدیکی حاشیه برخی از آنکلاوهای آمفیبوليتي و در متن سنگ در برگیرنده، کانی‌های اپک از فراوانی قابل توجهی برخوردار هستند.

##### ب - آنکلاوهای گنايسی

در این نوع از آنکلاوها حالت نواری تیره و روشن که مشخصه بارز گنیس است، دیده می‌شود. این لایه

بندی حاصل تفکیک کانی‌های تیره (نظیر بیوتیت) و کانی‌های روشن (مانند کوارتز) است (شکل ۳-۲۰).

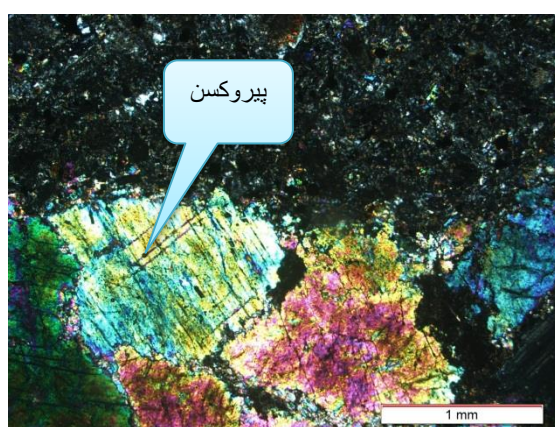


شکل ۳-۲۰ - تصویر میکروسکوپی از آنکلاو گنیسی (XPL).

### ۳-۴-۲ - آنکلاوهای اتوالیتی

#### الف- آنکلاوهای پیروکسنیتی

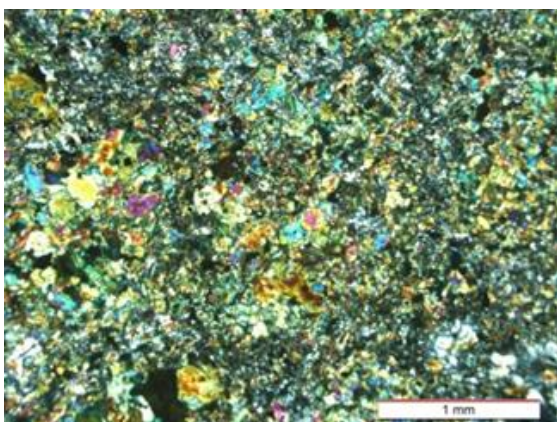
در نمونه دستی این آنکلاوها به رنگ سبز تا سیاه دیده می‌شوند. پیروکسن‌های موجود در آنها از نوع تیتان اوژیت هستند. در برخی نمونه‌ها، پیروکسن‌های موجود در حاشیه آنکلاوها ریز دانه هستند. این آنکلاوها حاصل تبلور ثقلی پیروکسن در مراحل اولیه تبلور هستند، که به تشکیل انباسته‌های غنی از پیروکسن یا هورنبلند منجر شده است و سپس در هنگام صعود یا جابه جایی ماگما، گسیخته شده و همراه آن به ترازهای بالاتر حمل شده‌اند (شکل ۳-۲۱).



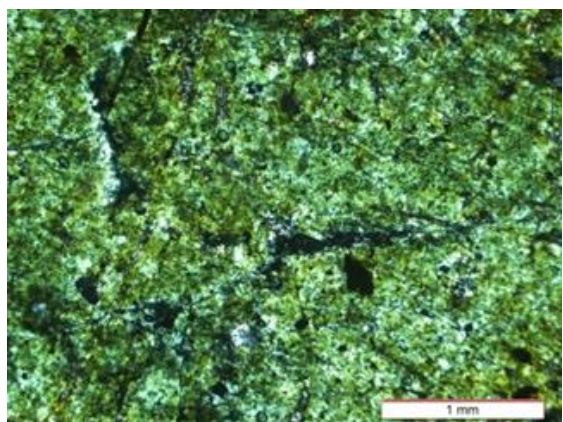
شکل ۳-۲۱ - تصویر میکروسکوپی آنکلاو پیروکسنیتی و سنگ در برگیرنده آن (XPL).

### ب - آنکلاوهای هورنبلندیتی

این آنکلاوها نیز متعلق به خود ماگما بوده (اتولیت) و به هنگام صعود ماگما به ترازهای بالاتر حمل شده و لخته‌های مافیک حاصل از تجمع هورنبلندها را تشکیل داده‌اند. هورنبلند در چنین آنکلاوهایی در برخی موارد به شکل سوزنی و ریز و در برخی دیگر نیز به صورت بلورهای درشت حضور دارند. این کانی‌ها اغلب بی‌شکل هستند. آنکلاوهای مذکور دارای بافت میکروگرانولار بوده و در بعضی نمونه‌ها کانی‌ها هم‌بعد هستند. مشاهده شده که کانی مافیک به صورت مگنتیت در این نوع از آنکلاوها حضور دارد (شکل ۳-۲۲ و ۳-۲۳).



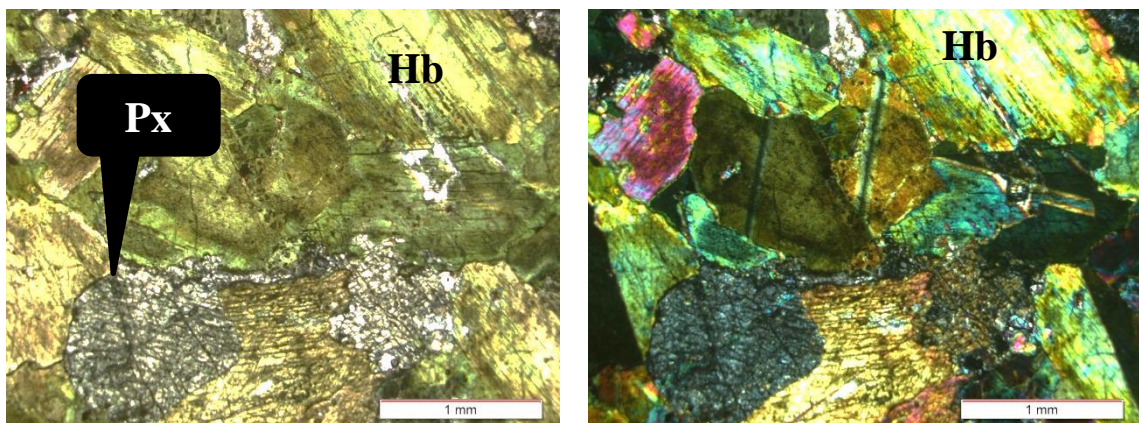
شکل ۳-۲۳ - تصویری از حضور هورنبلند ریز بلور موجود در آنکلاوهای هورنبلندیتی دارای بافت میکروگرانولار (XPL).



شکل ۳-۲۲-۳ - تصویری از حضور هورنبلند در آنکلاوهای هورنبلندیتی به صورت درشت بلور (XPL).

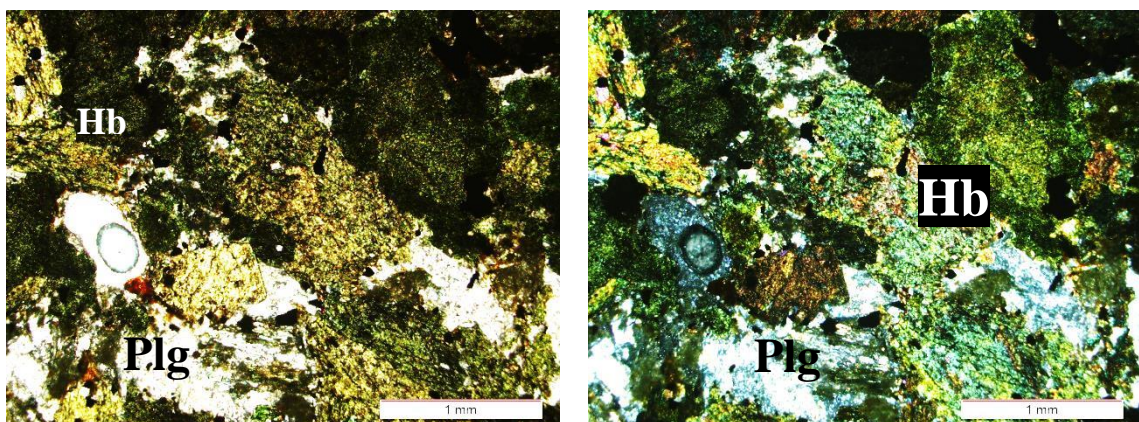
### ج - آنکلاوهای گابرویی- دیوریتی

این آنکلاوها دارای ترکیب کانی‌شناسی پلاژیوکلاز (اکثراً دگرسان شده)، هورنبلند سبز، اوژیت و کلسیت (به صورت ثانویه) هستند. در حاشیه آنکلاوها بلورها رشد داشته‌اند. اوژیت درون هورنبلند سبز به صورت ادخال دیده می‌شود، این امر نشان می‌دهد که از نظر ترتیب تبلور ابتدا اوژیت و سپس هورنبلند متبلور شده‌اند. این آنکلاوها بافت گرانولار می‌باشند (شکل ۳-۲۴ و ۳-۲۵).



شکل ۳-۲۴- تصویر میکروسکوپی آنکلاو گابروی (PPL) و (XPL).

نتیجه مهمی که از مطالعه آنکلاوها می‌توان گرفت، این است که: آنکلاوهای زینولیتی در حقیقت سنگ‌های متعلق به پوسته قاره‌ای می‌باشند که در طی صعود مagma به سمت بالا به همراه magma حمل شده‌اند. در مبحث ژئوشیمی خواهیم دید که نمونه‌های سنگی از روند تبلور تفریقی همراه با هضم و آلیش تبعیت می‌کنند. در واقع حضور آنکلاوهای غیر هم منشأ (زینولیتی) شاهد فیزیکی پدیده مورد نظر هستند (رجوع شود به شکل ۱-۵).



شکل ۳-۲۵- تصویری از بافت گرانولار و حضور هورنبلند سبز و پلازیوکلاز در آنکلاو دیوریتی (PPL) و (XPL).

# فصل چهارم

ژئوشیمی

**۱-۴- مقدمه**

امروزه اهمیت مطالعات ژئوشیمیایی بر هیچ کس پوشیده نیست، مطالعات ژئوشیمیایی داده‌هایی به ما می‌دهد که با استفاده از آنها می‌توان به ترکیب دقیق سنگ‌ها و پتروژن سنگ‌های مورد مطالعه بی‌برد. در حقیقت به کمک علم ژئوشیمی می‌توان تفسیر درستی از منشأ و پتروژن سنگ‌ها ارائه داد. لذا پس از مطالعه و تحلیل روابط صحرایی و پتروگرافی سنگ‌ها، مطالعه ویژگی‌های ژئوشیمیایی آنها از اهمیت ویژه‌ای برخوردار است. یکی از اهداف اصلی در این تحقیق، این است که از تحلیل داده‌های ژئوشیمیایی به ویژه عناصر اصلی و فرعی، اطلاعات مفیدی در مورد منشأ و پتروژن واحدهای سنگی بدست آورد.

**۲-۴- آماده سازی و تجزیه شیمیایی نمونه‌ها و منابع بروز خطا در طی این مراحل**

پس از مطالعات صحرایی و پتروگرافی، به منظور مطالعه ژئوشیمیایی سنگ‌های آذربین مورد نظر، ۱۱ نمونه از سنگ‌های آذربین با توجه به توزیع جغرافیایی و تنوع سنگی و همچنین براساس حداقل هوازدگی، انتخاب شد. پس از انتخاب نمونه‌های سنگی جهت آنالیز شیمیایی سنگ کل، نمونه‌ها پودر شده و به منظور آنالیز عناصر اصلی، فرعی و نادر به آزمایشگاه Acme کانادا ارسال شدند. عناصر اصلی و عناصر نادر به روش ICP-AES و سایر عناصر کمیاب و کمیاب خاکی به روش ICP-MS آنالیز گردید. نتایج تجزیه شیمیایی نمونه‌ها برای اکسیدهای عناصر اصلی به صورت درصد وزنی (Wt%) و برای عناصر کمیاب و کمیاب خاکی به صورت قسمت در میلیون (ppm) بیان شده است. سپس نتایج این آنالیز به کمک نرم افزار پترولولوژیکی GCDkit مورد تحلیل و تفسیر قرار گرفت. مختصات جغرافیایی این نمونه‌ها بر حسب UTM در جدول ۱-۴ آمده است.

نتایج ژئوشیمیایی نمونه‌ها می‌تواند بوسیله عواملی تحت تأثیر قرار گرفته و دچار خطا شوند. لذا قبل از بحث و بررسی روابط ژئوشیمیایی سنگ‌ها لازم است که در مورد این عوامل توضیحاتی داده شود. این عوامل می‌توانند در هنگام انتخاب نمونه‌ها، آماده سازی نمونه‌ها، و یا در هنگام انجام آزمایش رخ

دهند. از جمله این عوامل می‌توان به عوامل زیر اشاره کرد:

- آلایش و آلودگی در هنگام پودر کردن نمونه‌ها که خود می‌تواند از نمونه‌های تهیه شده پیشین باشد و یا از خود دستگاهی باشد که نمونه‌ها را پودر می‌کند.
- آلودگی در طبیعت، هنگامی رخ می‌دهد که نمونه با مقادیر کمی از رسوبات ناشی از مواد محلول در آب‌های زیر زمینی یا آب دریا پوشیده می‌شود.

#### ۴-۳- تصحیح داده‌های حاصل از تجزیه ژئوشیمیایی

پس از اطمینان از عدم رخ دادن خطا در هنگام آماده سازی و تجزیه شیمیایی نمونه‌ها و همچنین تأیید صحت و درستی داده‌های حاصل از تجزیه ژئوشیمیایی، و قبل از پردازش آنها، لازم است که در نتایج ژئوشیمیایی دو نوع تصحیح انجام شود که یکی مربوط به حذف مواد فرار (L.O.I) و دیگری نسبت  $\text{Fe}_2\text{O}_3/\text{FeO}$  است. این امر در مورد نمونه‌های مورد مطالعه اعمال گردید و مقادیر تصحیح شده در جدول ۲-۴ ارائه شده است.

جدول ۱-۴- مشخصات و مختصات جغرافیایی محل برداشت نمونه‌های سنگی آنالیز شده بر حسب UTM.

شماره نمونه	نام سنگ	عرض جغرافیایی شمالی	طول جغرافیایی شرقی
B-1	تراکی آندزیت	۳۵۷۱۶۲	۳۹۴۰۲۷۳
B-2	"	۳۵۶۲۷۵	۳۹۴۰۹۹۰
B-3	"	۳۶۲۱۵۶	۳۹۴۴۵۰۸
B-4	"	۳۵۹۰۲۴	۳۹۴۵۳۱۰
B-5	"	۳۵۷۸۶۷	۳۹۴۳۵۸۴
B-7	"	۳۵۴۴۴۷	۳۹۴۱۸۸۲
B-6	تراکی آندزیت بازالتی	۳۶۱۶۷۲	۳۹۴۵۲۱۹
B-8	"	۳۵۶۲۷۵	۳۹۴۰۹۹۰
B-9	"	۳۵۸۷۹۰	۳۹۴۷۴۰۰
B-11	"	۳۶۲۲۹۹	۳۹۴۴۵۶۴

جدول ۱۰: نتایج تجزیه شیمیایی اکسیدهای عناصر اصلی به صورت خام و مقادیر آن‌ها پس از انجام تصحیحات مربوط به حذف مواد فرار و نسبت  $\text{Fe}_2\text{O}_3/\text{FeO}$  عناصر کمیاب و کمیاب خاکی نمونه‌های سنگی منطقه جنوب شرق سهل.

Sample	B -6	B -11	B- 9	B- 3	B- 5	B- 2	B- 8	B- 1	B -7	B -4
	(داده های خام) Major Oxides (Wt%)									
$\text{SiO}_2$	53.24	48.27	48.15	48.77	55.81	54.01	52.67	48.35	57.39	58.33
$\text{Al}_2\text{O}_3$	18.62	17.23	14.58	17.73	16.35	16.42	17.09	15.11	16	15.78
$\text{Fe}_2\text{O}_3(\text{t})$	7.23	9.81	9.34	9.02	7.01	7.31	7.64	9.26	6.24	6.01
$\text{CaO}$	5.24	7.78	7.92	8.57	6.06	5.05	5.04	7.17	6.22	5.82
$\text{MgO}$	2.90	5.47	8.70	4.85	4.30	4.10	4.18	8.26	3.97	4.10
$\text{K}_2\text{O}$	3.18	2.28	2.20	2.13	2.79	3.01	2.98	2.16	3.02	3.50
$\text{Na}_2\text{O}$	5.47	4.18	4.05	4.31	3.79	5.84	5.85	4.38	4.19	3.48
$\text{MnO}$	0.11	0.19	0.18	0.22	0.12	0.12	0.14	0.25	0.12	0.10
$\text{P}_2\text{O}_5$	0.30	0.35	0.33	0.33	0.30	0.32	0.32	0.34	0.26	0.24
$\text{TiO}_2$	0.53	0.70	0.66	0.68	0.48	0.52	0.53	0.68	0.48	0.44
L.O.I	2.9	3.3	3.5	3	2.7	3.1	3.3	3.6	1.9	2
Sum	99.75	99.64	99.65	99.63	99.75	99.77	99.76	99.65	99.76	99.76
داده های عناصر اصلی پس از انجام تصحیحات مربوط به L.O.I و نسبت $\text{Fe}_2\text{O}_3/\text{FeO}$ بر حسب درصد وزنی (%)										
$\text{SiO}_2$	54.97	50.20	48.63	50.24	57.5	55.63	54.25	50.3	58.54	59.5
$\text{Al}_2\text{O}_3$	18.19	17.92	14.73	18.3	16.84	16.91	17.6	15.71	16.32	16.1
$\text{Fe}_2\text{O}_3(\text{t})$	7.45	10.21	9.52	9.3	7.23	7.53	7.87	9.63	6.36	6.13
$\text{FeO}$	4.47	6.13	5.71	5.58	4.33	4.51	4.72	5.77	3.81	3.67
$\text{Fe}_2\text{O}_3$	2.98	4.08	3.81	3.72	2.89	3.01	3.14	3.85	2.54	2.45
$\text{CaO}$	5.4	8.1	8	8.83	6.24	5.2	5.2	7.46	6.34	5.93
$\text{MgO}$	2.99	5.7	8.8	5	4.43	4.22	4.3	8.6	4.05	4.18
$\text{K}_2\text{O}$	3.28	2.4	2.3	2.2	2.87	3.1	3.06	2.25	3.08	3.57
$\text{Na}_2\text{O}$	5.64	4.35	4.1	4.44	3.9	6.01	6.02	4.55	4.27	3.55
$\text{MnO}$	0.12	0.2	0.19	0.23	0.13	0.13	0.15	0.26	0.13	0.11
$\text{P}_2\text{O}_5$	0.31	0.4	0.34	0.34	0.31	0.33	0.33	0.35	0.27	0.25
$\text{TiO}_2$	0.54	0.73	0.67	0.7	0.5	0.53	0.54	0.71	0.49	0.45
Sum	96.85	96.34	99.15	96.63	97.05	96.67	96.46	96.05	97.86	97.76
Trace elements (ppm)										
Co	291	33.2	23.9	19.4	20.2	20.9	32.0	17.2	17.2	9.2
Ni	14.5	71.1	6.6	12.3	17.3	16.8	60.1	11.5	14.3	5.8
V	273	248	267	184	196	196	243	158	146	120
Cs	5.1	17.1	1.7	1.3	3.0	3.6	7.7	2.2	0.6	1.4
Ba	331	290	249	354	324	360	278	300	364	300
Rb	44.9	40.2	42.6	61.3	80.5	82.6	35.4	77.8	86.2	39.4
Sr	1247.0	765.0	1506.2	780.7	566.1	657.2	849.3	809.4	741.1	846.4
U	0.8	0.8	0.8	1.1	1.2	1.2	0.8	0.9	0.9	0.5
Th	2.8	2.5	2.1	2.6	2.8	2.7	2.6	2.4	2.5	1.6
Hf	1.9	1.9	1.7	2.1	2.3	2.3	1.7	2.2	2.0	2.3
Zr	73.1	68.2	69.0	84.6	97.8	89.0	68.1	86.4	83.6	88.4
Y	17.3	15.2	15.5	13.4	14.8	14.9	14.8	12.7	10.8	12.4
Ta	0.2	0.2	0.1	0.2	0.2	0.2	0.2	0.2	0.3	0.1
Nb	3.3	3.1	2.9	3.0	3.2	3.1	2.8	3.3	3.0	3.0
Cu	113.4	145.8	118.5	15.6	44.1	83.3	126.6	36.4	63.3	35.3
Ga	15.7	13.5	17.2	13.8	14.8	14.6	14.2	13.5	12.6	16.5
Rare earth elements (ppm)										
La	16.6	15.8	13.3	13.1	13.6	13.3	15.6	13.5	8.7	12.4
Ce	34.6	30.2	27.7	26.1	28.8	26.9	31.6	27.5	20.3	26.9
Pr	4.37	3.94	3.64	3.33	3.66	3.70	4.09	3.48	2.78	3.42
Nd	19.1	17.8	16.1	14.0	15.9	15.4	17.0	14.5	11.9	14.8
Sm	3.92	3.57	3.50	3.04	3.40	3.67	3.56	3.01	2.67	2.91
Eu	1.17	1.06	1.06	0.93	1.02	1.03	1.08	0.86	0.78	0.97
Gd	3.80	3.59	3.48	3.01	3.26	3.35	3.43	2.79	2.55	2.94
Tb	0.56	0.52	0.53	0.44	0.47	0.49	0.52	0.40	0.36	0.42
Dy	3.14	2.80	2.73	2.37	2.46	2.76	2.85	2.11	1.98	2.20
Ho	0.65	0.60	0.58	0.47	0.48	0.51	0.55	0.43	0.37	0.44
Er	1.74	1.60	1.59	1.25	1.39	1.45	1.49	1.16	1.07	1.29
Tm	0.25	0.22	0.23	0.20	0.22	0.23	0.22	0.19	0.16	0.19
Lu	0.26	0.21	0.23	0.20	0.22	0.23	0.22	0.20	0.19	0.20
Yb	1.48	1.43	1.51	1.28	1.31	1.39	1.36	1.17	1.08	1.25

#### ۴-۴- کاربرد داده‌های ژئوشیمیایی

مهمترین کاربرد داده‌های عناصر اصلی، رده‌بندی و نامگذاری سنگ‌های آذرین است. همچنین می‌توان به کمک داده‌های عناصر اصلی به همراه عناصر کمیاب و کمیاب خاکی، نمودارهای تغییرات و نمودارهای عنکبوتی را رسم کرده و سری ماگمایی و جایگاه تکتونیکی تشکیل سنگ‌ها را تعیین کرد.

#### ۴-۵- طبقه‌بندی و نامگذاری سنگ‌های مورد مطالعه

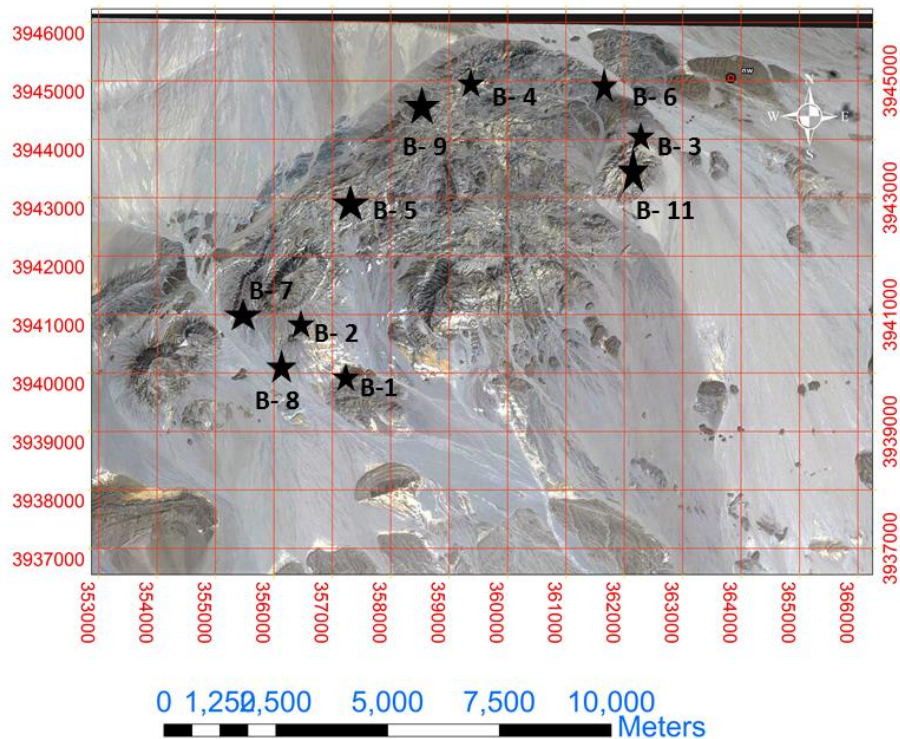
سنگ‌های مورد مطالعه، از نوع آذرین نیمه‌عمیق هستند، لذا برای نامگذاری و رده‌بندی آنها از نمودارهای مربوط به سنگ‌های آتش‌شانی استفاده شد، که از مهمترین آنها طبقه‌بندی شیمیایی است.

#### ۶-۴- طبقه‌بندی شیمیایی

در این طبقه‌بندی درصد تعدادی از اکسیدهایی که در ساختمان کانی‌های اصلی سنگ نقش عمده‌ای دارند، مورد توجه قرار می‌گیرد. یکی از نمودارهای ترسیمی سودمند در این روش، نمودار مجموع درصد قلیایی‌ها در مقابل درصد سیلیس است که به نمودار TAS معروف است. در این نمودارها، مجموع مقدار  $\text{Na}_2\text{O}$  و  $\text{K}_2\text{O}$  (همان قلیایی‌کل)، در مقابل  $\text{SiO}_2$  به صورت درصد وزنی اکسیدها روی نمودار رده‌بندی پیاده می‌شود.

در رده‌بندی سنگ‌های آذرین نیمه‌عمیق منطقه از نمودار میدلموست (۱۹۹۴)، نمودار وینچستر و فلوید (۱۹۷۷)، و نمودار پکسریلو و تیلور (۱۹۷۶) استفاده شده است.

علاوه بر کار رفته در تمامی نمودارهای ارائه شده در این فصل به صورت زیر تعریف شده است:	
	ترانزیت



تصویر ماهواره‌ای از موقعیت نمونه‌های برداشت شده.

#### ۴-۶-۱- رده‌بندی شیمیایی با استفاده از: نمودار وینچستر و فلوید (۱۹۷۹) و نمودار

میدلموست<sup>۱</sup> (۱۹۹۴)

نمودارهای مجموع قلیایی‌ها ( $\text{Na}_2\text{O}$  و  $\text{K}_2\text{O}$ ) در مقابل مقدار سیلیس ( $\text{SiO}_2$ ), برای نام‌گذاری سنگ‌های آذرین بیرونی و درونی طراحی شده‌اند. بر اساس این نمودارها و موقعیت قرارگیری نمونه‌های مورد مطالعه در این نمودارها، سنگ‌های مورد مطالعه دارای ترکیب تراکی آندزی بازالت تا تراکی‌آندزیت هستند (شکل ۴-۱-الف) و (شکل ۴-۲). برخلاف وقfe ظاهری در این نمودارها، این سنگ‌های طیف ترکیبی نسبتاً پیوسته بوده و اضافه کردن نتایج آنالیز شیمیایی متعلق به گنبدهای نیمه عمیق مشابه از مناطق مجاور (садاتی جمالی، ۱۳۹۳)، نشان می‌دهد که این فضای ترکیبی پرتر و پیوسته‌تر می‌باشد (شکل ۴-۱-ب و ۴-۲). با این وجود، ترکیبات سنگی که در محدوده تراکی آندزی بازالت قرار می‌گیرند، نسبت به سایر نمونه‌ها از پیروکسن غنی‌تر هستند و نمونه‌هایی که در محدوده

<sup>1</sup> Middlemost

تراکی آندزیت قرار می‌گیرند و دارای مجموع  $\text{Na}_2\text{O}$  و  $\text{K}_2\text{O}$  کمتری هستند، از هورنبلند نسبت به سایر کانی‌های مافیک غنی‌تر هستند. دسته‌ای از سنگ‌ها که از لحاظ مجموع  $\text{Na}_2\text{O}$  و  $\text{K}_2\text{O}$  غنی‌تر می‌باشند، دارای مقدار پلاژیوکلاز بیشتری هستند، چون  $\text{Na}_2\text{O}$  می‌تواند در ساختار پلاژیوکلاز ذخیره شود و مقدار  $\text{K}_2\text{O}$  نیز در کانی بیوتیت موجود در این سنگ‌ها ذخیره شده است. به دلیل اینکه سنگ‌ها ممکن است تا حدودی متأثر از دگرسانی‌های محیطی قرار گرفته باشند، برای رسیدن به نام مطمئن‌تر، بهتر است نمودارهایی به کار برد که در آنها از عناصر فرعی کمیاب مقاوم در برابر دگرسانی استفاده شده باشد (مانند نمودار وینچستر و فلويد، شکل ۴-۲).

نامهای بدست آمده از این نمودارها، با شواهد و مستندات پتروگرافی و صحرایی سازگار است و همدیگر را تأیید می‌کنند.

#### ۴-۶-۲- رده‌بندی شیمیایی به کمک نمودار پکسریلو و تیلور<sup>۱</sup> (۱۹۷۶)

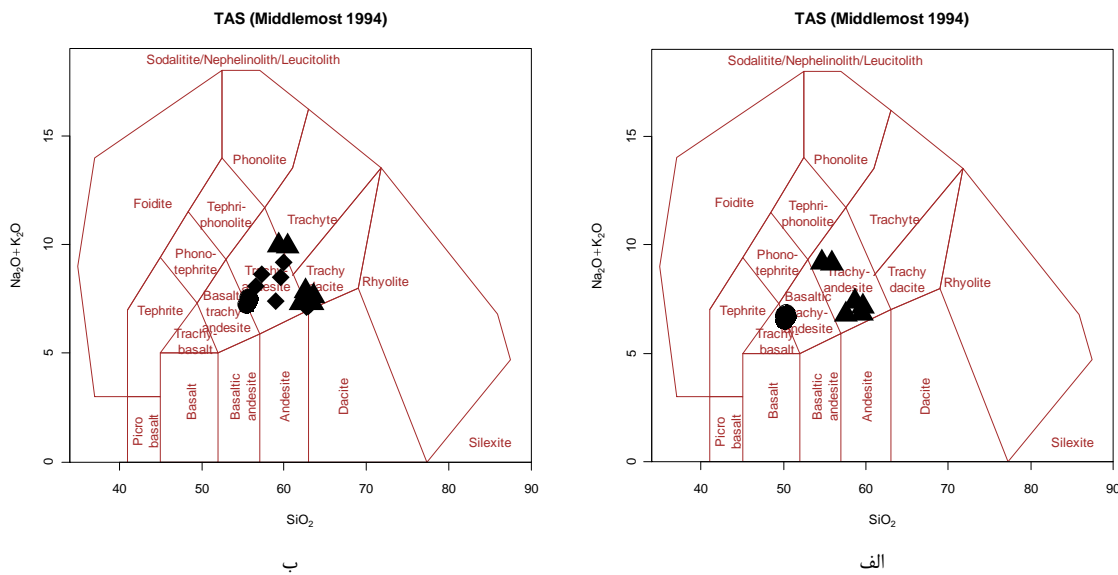
برای تعیین ماهیت نمونه‌های سنگی از نمودار  $\text{SiO}_2$  در برابر  $\text{K}_2\text{O}$  استفاده می‌کنیم. در اینجا سنگ‌های آذرین نمودار به چهار سری تقسیم می‌شوند. بر اساس این نمودار نشان می‌دهد که نمونه‌های مورد مطالعه در محدوده سری کالک‌آلکالن پتابسیم بالا قرار می‌گیرند (شکل ۴-۳). تمایل بر قرارگیری نمونه‌ها در محدوده شوشونیتی امری عادی است، ولی با توجه به تعریف شوشونیت، این نمونه‌ها دارای ماهیت شوشونیتی نیستند. چون در آنها باید نسبت  $\text{K}_2\text{O}/\text{Na}_2\text{O}$  بیشتر از یک نیست و سایر خصوصیات سنگ‌های شوشونیتی نیز در مورد آنها مصدق ندارد.

#### ۴-۷- بررسی تغییر و تحولات ژئوشیمیایی به کمک نمودارهای تغییرات

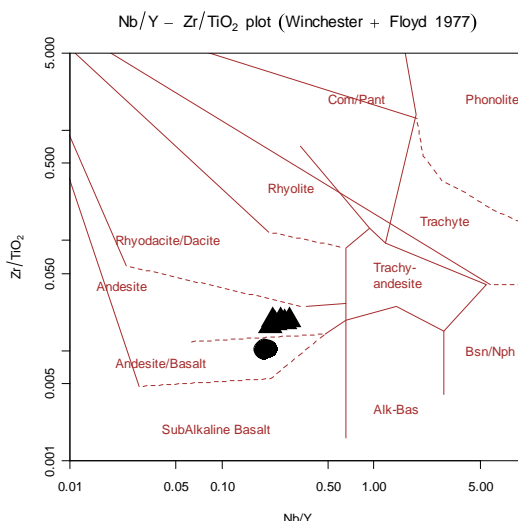
نمودارهای تغییرات همواره به عنوان ابزاری برای بررسی داده‌ها و روابط ژئوشیمیایی و پترولوزیکی بین سنگ‌های موجود در یک منطقه استفاده شده است. این نمودارها با استفاده از داده‌های عناصر اصلی، کمیاب و کمیاب خاکی ترسیم می‌شوند. تغییراتی که در این نمودارها دیده می‌شود، ناشی از فرایندهایی نظیر تبلور تفریقی، ذوب‌بخشی، اختلاط ماقمایی یا آلایش و هضم پوسته‌ای است. بنابراین

<sup>1</sup>.Peccerillo & Tylor

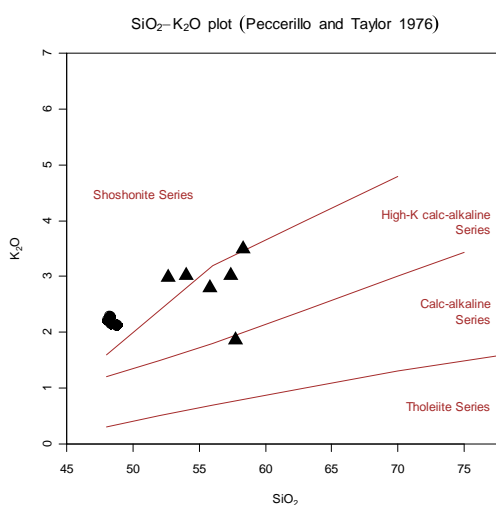
چنین نمودارهایی به خوبی می‌توانند تحول و تکامل مagma از زمان تشکیل تا موقع جایگزینی به نمایش بگذارند. از الگوی پراکندگی نقاط بر روی این نمودارها، می‌توان جهت تعیین وابستگی سنگ‌ها به یکدیگر و منشأ آنها استفاده کرد. درمورد تفسیر روندهای مشاهده شده در نمودارهای تغییرات، باید احتیاط‌های لازم اعمال شود، زیرا ممکن است در اثر عملکرد فرایندهای متفاوت، روندهای مشابهی مشاهده شود. با توجه به نمودارهای میدلموست (۱۹۹۴) و وینچستر و فلوید (۱۹۷۷) سنگ‌های آذرین مورد مطالعه به ترتیب در محدوده‌های تراکی آندزی بازالت، تراکی آندزیت، آندزی بازالت و بازالت قرار می‌گیرند، لیکن با توجه به مجموع شواهد ژئوشیمیایی و پتروگرافی و همچنین در نظر گرفتن توده‌های سنگی مشابه در نوار ماقمایی شمال ایران مرکزی نام تراکی آندزیت برای این سنگ‌ها مطلوب‌تر و مناسب‌تر است. گرایش نمونه‌های سنگی به قرارگیری در محدوده تراکی آندزی بازالت از فراوانی کانی‌های مافیک آنها ناشی شده است و بقیه ویژگیهای سنگ شناسی نزدیک شدن ترکیب این سنگ‌ها به بازالت را منتفی می‌سازد.



شکل ۱-۴- الف- نمودار ردبهندی سنگ‌های آتشفشاری و آذرین نیمه‌عمیق (میدلموست، ۱۹۹۴). ب- مقایسه نمونه‌های مورد مطالعه با نمونه‌های مربوط به منطقه رزه (از جمالی، ۱۳۹۳. این نمونه‌ها با لوزی نمایش داده شده‌اند) و موقعیت سنگ‌های مورد مطالعه بر روی آن.



شکل ۲-۴- طبقه‌بندی سنگ‌های خروجی با استفاده از نسبت‌های  $Zr/TiO_2$  در برابر  $Nb/Y$  (وینچستر و فلويد، ۱۹۷۷).



شکل ۳-۴- نمودار درصد وزنی  $K_2O$  در برابر  $SiO_2$  (پکسریلو و تیلور، ۱۹۷۶) جهت تعیین سری سنگ‌های آذرین.

در برخی موارد نمودارهای تغییر شیمیایی داده‌ها به جای یک روند، پراکندگی نشان می‌دهند، که این مسئله عوامل متعددی دارد. در زیر برخی از آنها ذکر شده است.

- متعلق نبودن نمونه‌ها به یک ماجما (حتی در یک آتشفسان).
- خطای نمونه‌برداری و ناهماهنگی نمونه‌ها.
- عدم صحت نتایج آنالیز شیمیایی.
- خطاهای ناشی از هوازدگی یا دگرسانی احتمالی نمونه‌ها.

#### ۴-۷-۱- نمودارهای تغییرات اکسیدهای عناصر اصلی در مقابل $\text{SiO}_2$ (هارکر<sup>۱</sup>، ۱۹۰۹)

به کمک این نمودارها می‌توان روند تحول ماغما را نشان داد. در محور X این نمودارها  $\text{SiO}_2$  را قرار می‌دهند چون سازنده اصلی سنگ است و معمولاً بیشترین تغییر را نسبت به اکسیدهای دیگر نشان می‌دهد.

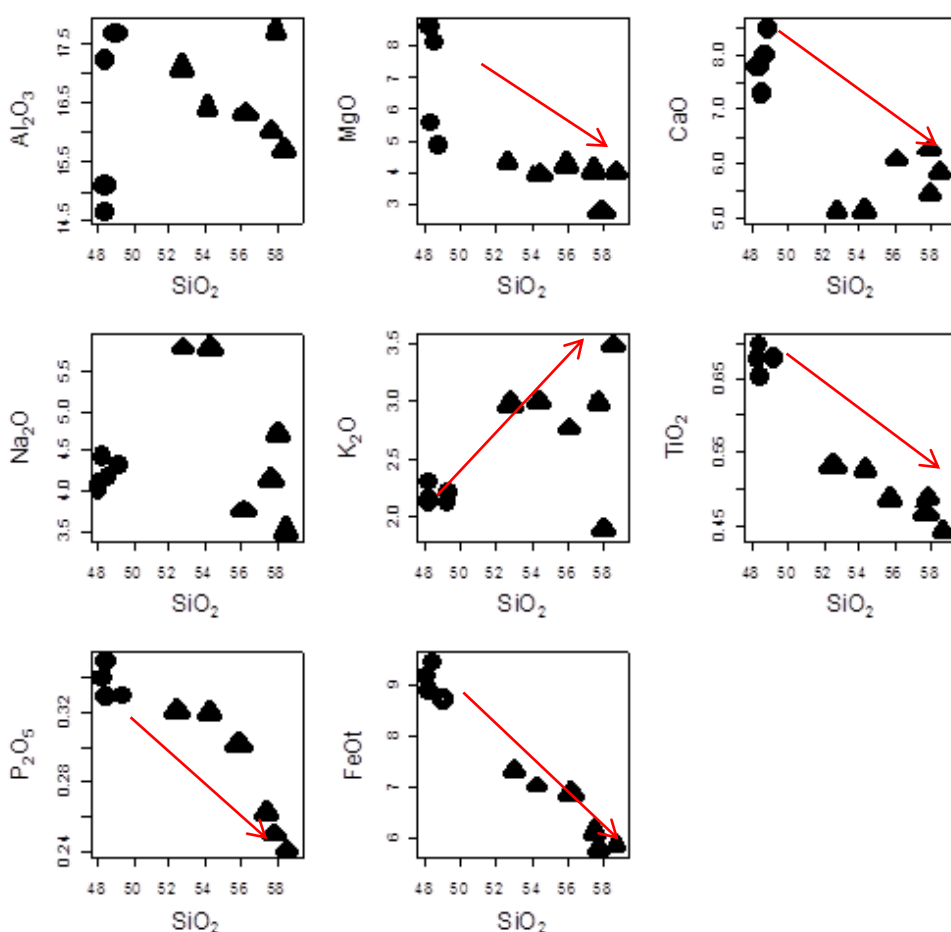
مقدار  $\text{SiO}_2$  این نمونه‌ها از ۴۸ تا ۵۸ درصد متغیر است. با نگاهی به نمودارها می‌توان به این نتیجه رسید که مقادیر درصد عناصر اصلی مانند:  $\text{CaO}$ ،  $\text{MgO}$ ،  $\text{FeO}$ ،  $\text{Al}_2\text{O}_3$ ،  $\text{P}_2\text{O}_5$ ،  $\text{TiO}_2$ ،  $\text{Na}_2\text{O}$  و  $\text{K}_2\text{O}$ ، در این نمونه‌ها با افزایش درصد  $\text{SiO}_2$ ، روند نزولی نشان می‌دهند، این مسئله با انجام پدیده تبلور تفریقی سازگاری دارد. در مقابل، میزان درصد  $\text{Na}_2\text{O}$  و  $\text{K}_2\text{O}$  با افزایش میزان  $\text{SiO}_2$  تقریباً روندی صعودی نشان می‌دهد، این مورد نیز با روند معمول تفرقی سازگار است (شکل ۴-۴). با این وجود به علت تغییرات فراوانی فنوکریست‌ها و ترکیب آنها، بی‌نظمی‌هایی در الگوی پراکنش این نمونه‌های سنگی مشاهده می‌شود. در مورد نمودار تغییرات  $\text{Na}_2\text{O}$  در مقابل  $\text{SiO}_2$  می‌توان گفت: نمونه‌های دارای ترکیب تراکی‌آندزی بازالتی فنوکریست‌های پیروکسن بیشتری داشته که از نوع اوژیت است، نمونه‌هایی با ترکیب تراکی‌آندزیتی نیز دو دسته آندزیت‌های غنی از پلازیوکلاز به همراه بیوتیت و آندزیت-های غنی از هورنبلند را تشکیل می‌دهند و لذا بسته به ترکیب این فنوکریست‌ها، مقدار اکسید سدیم در آنها متفاوت خواهد بود. در نتیجه این سه دستگی قابل توجیه است. اگر نمودارها در دامنه‌ای بازتر مورد بررسی قرار بگیرند، می‌بینیم که این تغییرات ترکیبی طیف بسیار محدودی را به خود اختصاص می‌دهند.

مهمترین کانی‌های کنترل کننده مقدار  $\text{Al}_2\text{O}_3$  سنگ‌های منطقه مورد مطالعه پلازیوکلاز و فلدسپات آلكالن می‌باشد. پراکندگی نمونه‌ها در نمودار  $\text{Al}_2\text{O}_3$ -  $\text{SiO}_2$  به علت تفاوت در فراوانی فنوکریست‌های پلازیوکلاز و تغییر مقدار کلی آن در سنگ‌های مورد مطالعه می‌باشد.

<sup>1</sup>. Harker

معمولًاً پلاژیوکلاز و پیروکسن (اوژیت) و هورنبلند سبز میزان  $\text{CaO}$  را در سنگ کنترل می‌کنند. در طی تبلور، انجماد و تفریق ماقمایی در این کانی‌ها متumerکز می‌شود. بالا بودن میزان این اکسید در سنگ‌های تراکی‌آندزی‌بازالتی با حضور کانی‌های غنی از کلسیم نظیر پلاژیوکلاز و اوژیت در آنها مطابقت می‌کند.

رونده نزولی مقدار این اکسید در مقابل سیلیس، در سنگ‌های منطقه با کاهش مقدار کانی‌های مافیک از سنگ‌های تراکی‌آندزی‌بازالتی به سمت سنگ‌های تراکی‌آندزیتی بسیار مشخص است. کاهش روند  $\text{MgO}$  در برابر  $\text{SiO}_2$  نشان از مشارکت  $\text{MgO}$  در ساخت کانی‌های فرومیزین تکوین و تحول ماقما می‌باشد. کاهش مقادیر پیروکسن (اوژیت) و تا حدودی هورنبلند سبز و اکسی هورنبلند مؤید این موضوع است.



شکل ۴-۴- نمودارهای درصد اکسیدهای عناصر اصلی در مقابل  $\text{SiO}_2$  (نمودارهای هارکر) نمونه‌های سنگی مورد مطالعه.

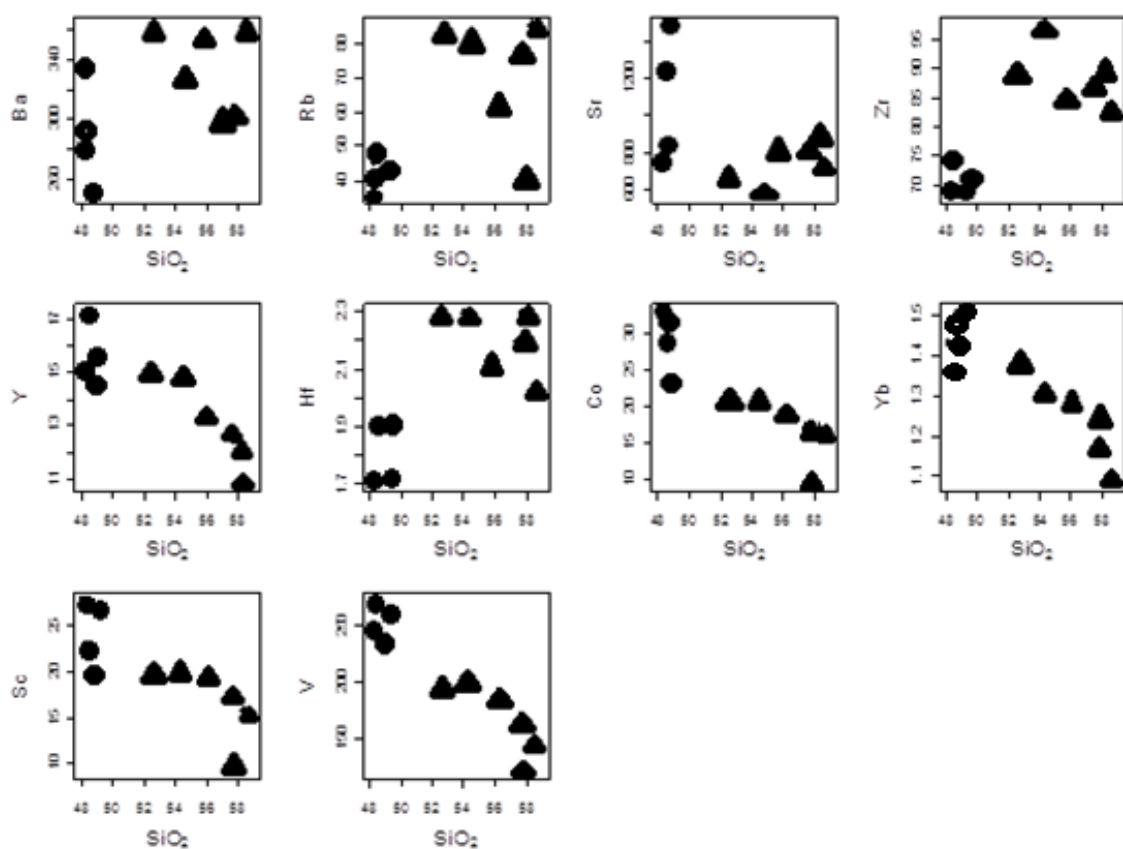
## ۴-۷-۲- نمودارهای تغییرات با استفاده از عناصر کمیاب و کمیاب خاکی در مقابل $\text{SiO}_2$ (هارکر، ۱۹۰۹)

عناصر کمیاب، عناصری هستند که در یک سنگ با غلظتی کمتر از  $1/1000$  درصد وزنی (۱۰۰۰) قسمت در میلیون یا ppm) حضور داشته باشند. گاهی این عناصر کانی‌های خاص خود را می‌سازند، اما بیشتر جایگزین عناصر اصلی سنگ ساز می‌شوند. همچنین توانایی این عناصر برای تمایز میان فرایندهای سنگ شناختی از عناصر اصلی بیشتر است (رولینسون<sup>۱</sup>، ۱۹۹۳).

این عناصر بر اساس رفتارشان در سیستم‌های ماگمایی به دو گروه: عناصر سازگار و ناسازگار، قابل تقسیم هستند. عناصری که تمایل بیشتری دارند تا در ساخت فازهای جامد (کانی‌ها) شرکت کنند را عناصر سازگار می‌گویند و در مقابل عناصری که تمایل دارند در فاز مذاب باقی بمانند و در ساخت کانی شرکت نکنند را ناسازگار گویند. معمولاً با مشارکت عناصر سازگار در ساخت کانی‌ها، به تدریج این فاز مذاب از این عناصر فقیر می‌شود و در مقابل فاز مذاب از عناصر ناسازگار غنی می‌شود. تحت شرایط جدید عناصر ناسازگار از تمرکز کافی برخوردار می‌شوند تا بتوانند در ساخت کانی‌ها مشارکت کنند و حتی برخی از آنها می‌توانند کانی مستقلی تشکیل دهند.

همانطور که در شکل ۴-۵ دیده می‌شود، عناصر کمیاب Y, Co, Yb, Sc, V و Sr با افزایش  $\text{SiO}_2$  روند نزولی نشان می‌دهند و در مقابل، عناصری مانند Ba, Rb, Zr و Hf و با افزایش مقدار  $\text{SiO}_2$ ، روندی صعودی نشان می‌دهند.

<sup>1</sup>.Rollinson



۴-۵- نمودارهای عناصر فرعی و کمیاب خاکی در مقابل  $\text{SiO}_2$

(اسکاندیم) شعاع یونی نزدیک به شعاع یونی  $\text{Fe}^{2+}$  دارد و می‌تواند در پیروکسن، هورنبلند و بیوتیت جانشین  $\text{Fe}^{2+}$  شود. در نمونه‌های مطالعه این عنصر در سنگ‌های دارای ترکیب تراکی-آندری بازالتی به میزان بیشتری نسبت به سنگ‌های دارای ترکیب تراکی آندزیتی، حضور دارد و این مسئله مربوط به وجود پیروکسن در این نمونه‌ها است.

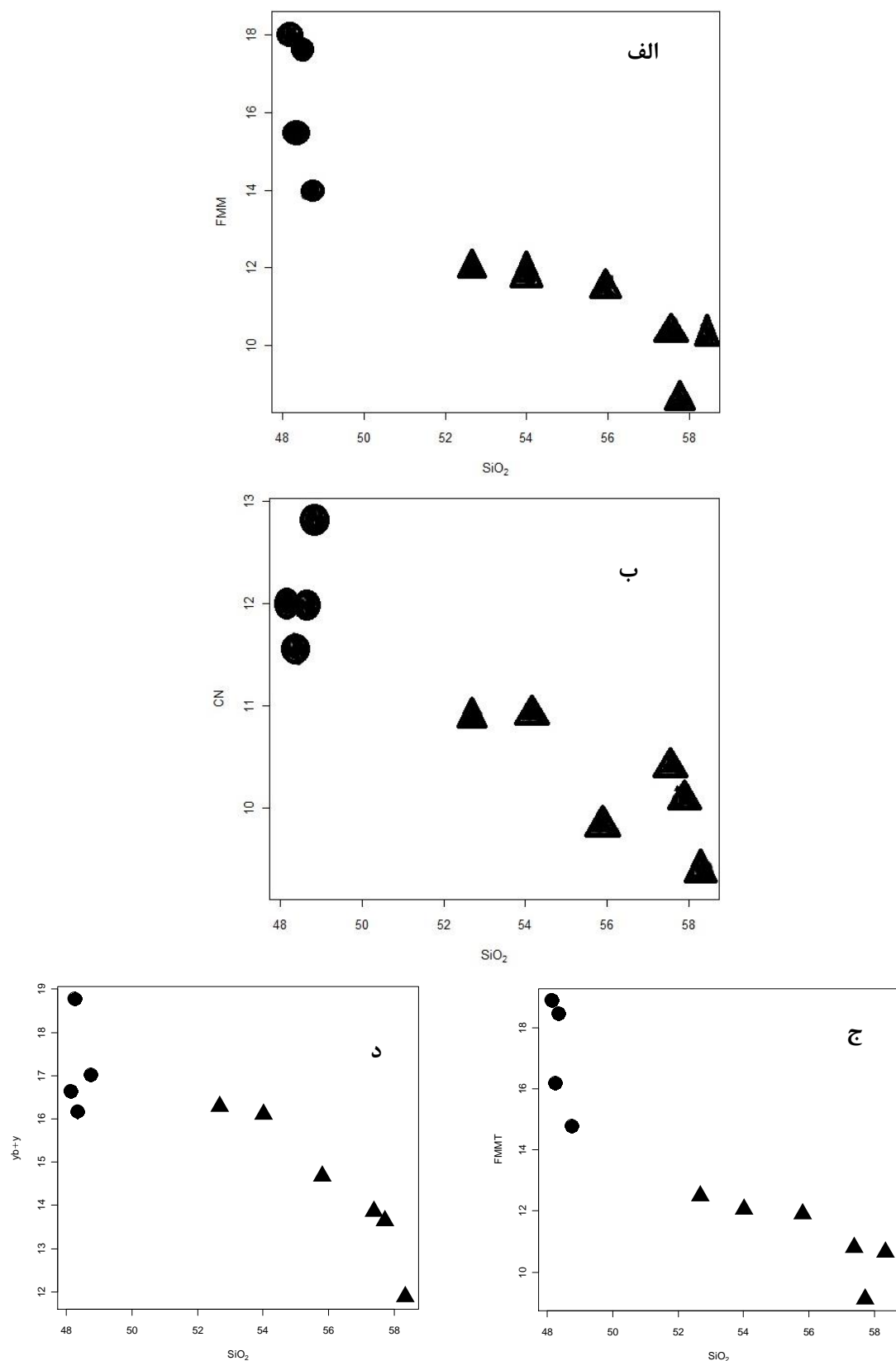
(استرانسیم) در اکثر کانی‌های کلسیم‌دار عنصری سازگار است. این عنصر در بیوتیت و پلازیوکلазهای نوع آنورتیت جانشین کلسیم شده (رولینسون، ۱۹۹۳) و با افزایش درصد سیلیس مقدارش کم می‌شود. در نمونه‌های مطالعه با افزایش تفریق و کاهش میزان پلازیوکلازهای کلسیک و تا حدودی تبلور فلدسپارهای آلکالن، مقدار  $\text{Sr}$  کاهش می‌یابد.

$\text{Rb}$  نیز عنصری است که جانشین پتاسیم در کانی‌های پتاسیم‌دار می‌شود و بنابراین روندی مشابه  $\text{K}_2\text{O}$  نشان می‌دهد. این عنصر جزء عناصر ناسازگار می‌باشد و تمایل دارد که در کنار پتاسیم در

ساخت فلدسپارهای پتاسیم‌دار مشارکت کند. با توجه به بیشتر بودن شعاع یونی این عنصر نسبت به پتاسیم، این عنصر در کانی‌های پتاسیم‌دار پذیرفته می‌شود. به همین علت در مراحل اولیه در مذاب باقی می‌ماند و با شروع تبلور فلدسپار پتاسیم از مقدار آن کاسته می‌شود (اوهارا و همکاران، ۲۰۰۱). در نمونه‌های مورد مطالعه، مقدار آن با افزایش تفریق افزایش می‌یابد.

عنصر V شعاعی بزرگ‌تر از  $\text{Fe}^{2+}$  دارد، اما الکترونگاتیویته آن کمتر است، مقدار آن در مگنتیت‌هایی که زودتر تشکیل می‌شوند، بیشتر است. همچنین این عنصر وارد هورنبلند سبز، پیروکسن و بیوتیت می‌شود و روندی نزولی نشان می‌دهد. روند نزولی تغییرات این عنصر با کاهش تفریق کانی‌های آهن و منیزیم‌دار از جمله هورنبلند سبز، اوژیت، اوژیت اژیرین، بیوتیت و مگنتیت مبین فرایند تفریق ماگمایی است.

مقدار Hf در پیروکسن با کاهش دما، افزایش می‌یابد. این عنصر در ساختمان کانی‌هایی مانند هورنبلند، بیوتیت و مگنتیت مشارکت می‌کند. شعاع یونی این عنصر مشابه آهن و منیزیم بوده و در ترکیبات آهن و منیزیم دار جانشین می‌شود. روند نزولی تغییرات این عنصر با کاهش تفریق کانی‌های آهن و منیزیم‌دار از جمله هورنبلند سبز، اوژیت اژیرین، بیوتیت و مگنتیت مبین فرایند تفریق ماگمایی است. در نتیجه مقدار این عنصر با افزایش  $\text{SiO}_2$  کاهش می‌یابد و سیر نزولی نشان می‌دهد. برای تأیید نتایج بدست آمده از نمودارهای هارکر مربوط به عناصر اصلی، نمودارهای دیگری نیز رسم کرده‌ایم. همانطور که در شکل ۴-۶ آمده، نمودار مجموع  $\text{MnO}$ ،  $\text{MgO}$  و  $\text{O}$  در مقابل  $\text{SiO}_2$ ، نمودار مجموع  $\text{TiO}_2$  و  $\text{MnO}$ ،  $\text{MgO}$  و  $\text{O}$  در مقابل  $\text{SiO}_2$  و نمودار مجموع  $\text{CaO}$  و  $\text{Na}_2\text{O}$  در مقابل  $\text{SiO}_2$  نیز روندی نزولی نشان می‌دهند، که این امر با روند تفریق سازگار می‌باشد.



شکل ۴-۶-الف-نمودار مجموع MnO ، MgO و FeOt در مقابل  $\text{SiO}_2$  . ب-نمودار مجموع CaO و  $\text{Na}_2\text{O}$  در مقابل  $\text{SiO}_2$  . ج-نمودار مجموع TiO<sub>2</sub> و MnO ، MgO و FeOt در مقابل  $\text{SiO}_2$  . د-نمودار Yb+Y در مقابل  $\text{SiO}_2$  . این نمودارها روندی نزولی نشان می‌دهند.

## ۴-۸- نمودارهای تغییرات اکسیدهای اصلی در برابر ضریب تفریق (D.I) (تورنتون و تاتل، ۱۹۶۰)

شاخص تفریق عبارت است از مجموع کانی‌های روشن نورماتیو که از طریق فرمول زیر محاسبه می‌شود:

$$D.I = (Q + Or + Pl + Ne + Luc)\%$$

این کانی‌ها که به صورت نورماتیو محاسبه شده‌اند، به دلیل اینکه وزن مخصوص کمی دارند، تحت تأثیر نیروی ثقل از کانی‌های سنگین، جدا می‌شوند و باعث ایجاد تغییر و تحول در ماغما می‌شوند و در ماغما باقی مانده درصد این کانی‌ها افزایش می‌یابد. تعریف شاخص تفریق بر این عقیده استوار است که در طول فرایند تبلور ماغما، سیستم باقی مانده از کانی‌های غنی می‌شود که در دماهای پایین‌تر شروع به تبلور می‌کنند.

مقدار این شاخص انعکاسی از میزان تأثیر فرایند تبلور تفریقی بر ماغما سازنده سنگ‌های سازنده مورد نظر می‌باشد.

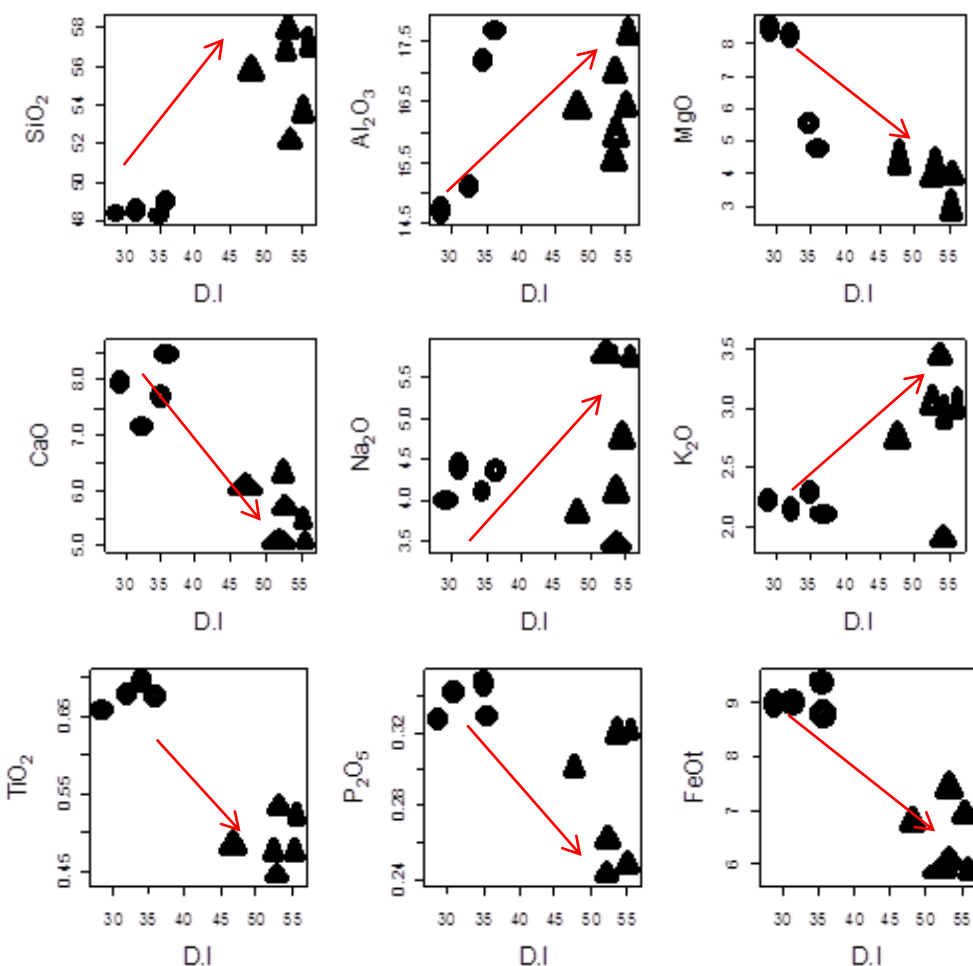
همانطور که از شکل ۴-۷ استنباط می‌شود، با افزایش شاخص تفریق، میزان اکسیدهای  $FeO$  کاهش می‌یابد، این تغییرات معرف کاهش مقدار کانی‌های  $MnO$ ،  $P_2O_5$ ،  $TiO_2$ ،  $CaO$ ،  $MgO$ ، مافیک و افزایش کانی‌های روشن می‌باشند و نشان می‌دهند که ماغما در حال تفریق و اسیدی‌تر شدن است.

در مقابل اکسیدهایی مانند:  $Al_2O_3$ ،  $Na_2O$ ،  $K_2O$  و  $SiO_2$  با افزایش شاخص تفریق، روندی افزایشی (صعودی) نشان می‌دهند. چون با تفریق ماغما، ترکیب مایع باقی مانده فلزیک‌تر شده و کانی‌های پتاسیم دار (ارتوكلاز) و سدیم‌دار نظیر آلبیت (پلاژیوکلاز سدیم‌دار) در مراحل پایانی تبلور تفریقی، تشکیل می‌شوند.

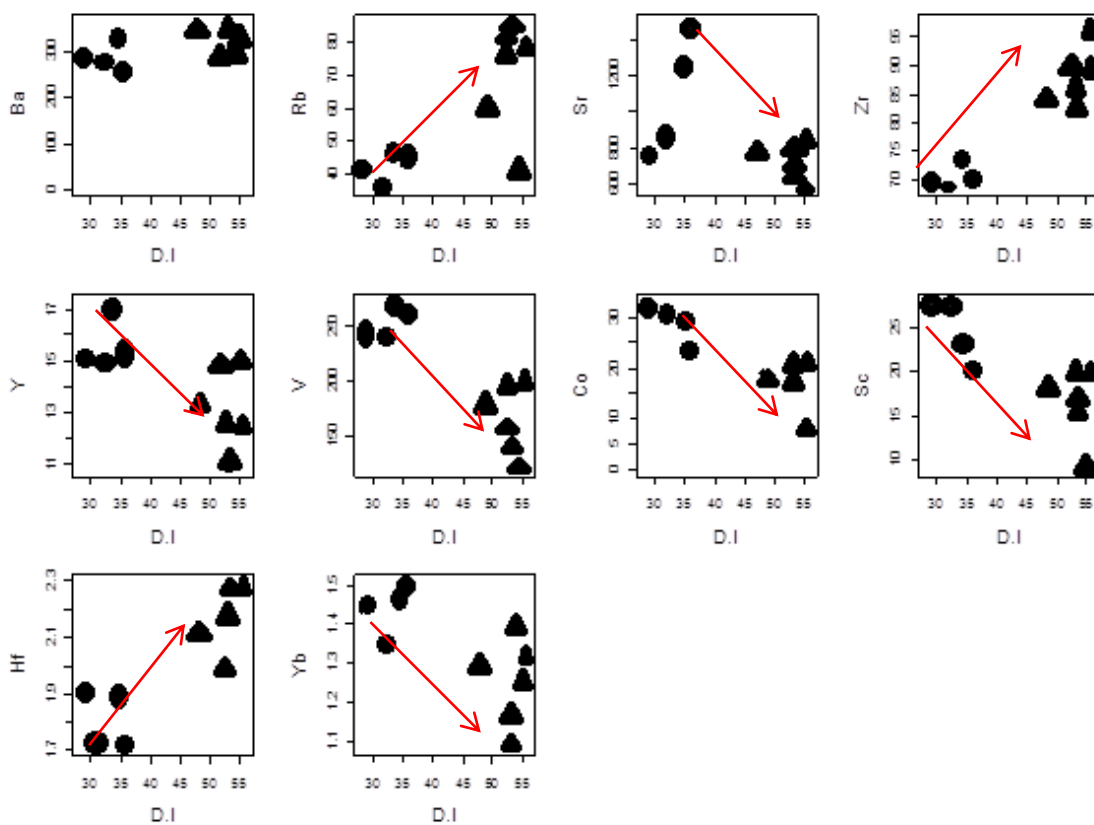
#### ۴-۹- نمودارهای تغییرات عناصر کمیاب در برابر شاخص تفریق (D.I)

همانطور که از شکل ۴-۸ استنباط می‌شود، با افزایش شاخص تفریق، مقادیر عناصر Rb، Ba، Hf و Zr افزایش می‌یابد، زیرا در مراحل نهایی تفریق، در ماغماهای تفریق یافته میزان آنها بالا رفته و تمرکز بیشتری پیدا کرده‌اند.

در مقابل، عناصری نظیر Yb، Sc، Co، Y و V با افزایش شاخص تفریق، روند نزولی نشان می‌دهند. این عناصر به علت تمرکز در کانی‌های مافیک و خروج از مذاب در مراحل اولیه تبلور ماغما، روندی کاهشی نشان می‌دهند.



شکل ۴-۷- نمودارهای شاخص تفریق در مقابل درصد وزنی اکسیدهای عناصر اصلی (تورنتون و تاتل ۱۹۶۰).



شکل ۴-۸- نمودارهای شاخص تفریق در مقابل عناصر کمیاب.

#### ۴-۱۰- نمودارهای تغییرات اکسیدهای اصلی در مقابل شاخص انجماد (S.I.)

شاخص انجماد با فرمول زیر قابل تعریف است:

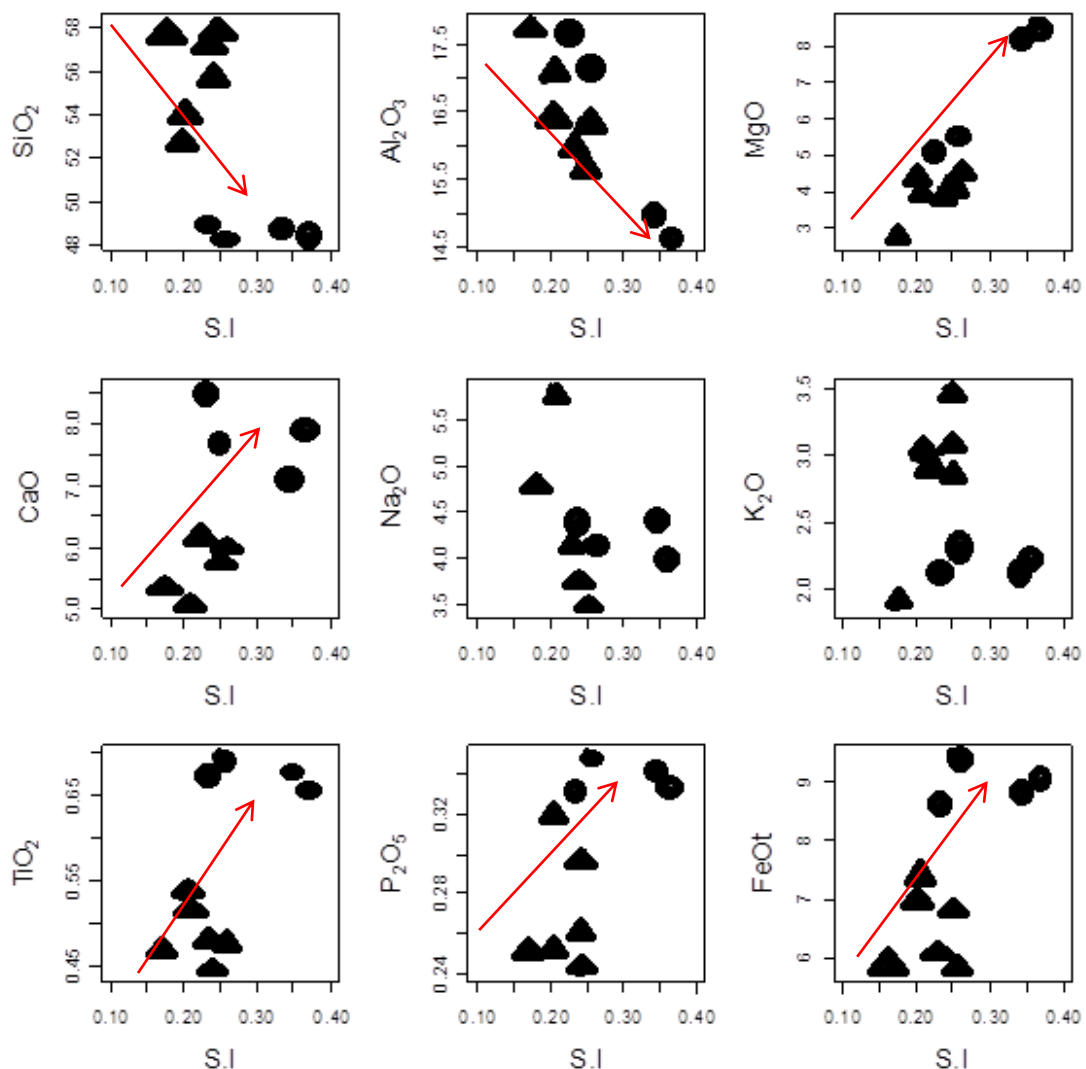
$$S.I. = 100 * (\text{MgO} / \text{Na}_2\text{O} + \text{K}_2\text{O} + \text{FeO}_{\text{tot}} + \text{MgO})$$

نمودارهای شاخص انجماد نیز برای نمونه‌های مورد مطالعه، مورد بررسی قرار گرفت، این نمودارها را در شکل ۹-۴ می‌توان مشاهده کرد.

با توجه به این نمودارها، اکسیدهایی مانند:  $\text{TiO}_2$ ،  $\text{CaO}$ ،  $\text{MgO}$  با افزایش شاخص انجماد، روندی صعودی نشان می‌دهند و عناصری مانند:  $\text{P}_2\text{O}_5$ ،  $\text{FeO}_{\text{tot}}$  و  $\text{SiO}_2$  با افزایش مقدار شاخص انجماد، روندی نزولی به نمایش گذاشته‌اند.

نتایج به دست آمده از این نمودارها نیز وقوع فرایند تفریق ماقما را تأیید می‌کنند.

نتیجه کلی که از نمودارهای هارکر، شاخص انجماد و شاخص تفریق می‌توان گرفت، این است که روندهایی که در این نمودارها مشاهده می‌شوند، از روند معمول تفریق تبعیت می‌کنند و در مجموع، تفریق ماقمایی صورت گرفته را تأیید می‌کنند هر چند که دامنه تغییرات آن در سنگ‌های مورد مطالعه محدود است.



شکل ۴-۹- نمودارهای شاخص انجماد در مقابل درصد وزنی اکسیدهای عناصر اصلی (کونو<sup>۱</sup>، ۱۹۶۰).

#### ۴-۱۱- نمودارهای تغییرات برخی عناصر کمیاب در مقابل یکدیگر و نسبت‌های آنها

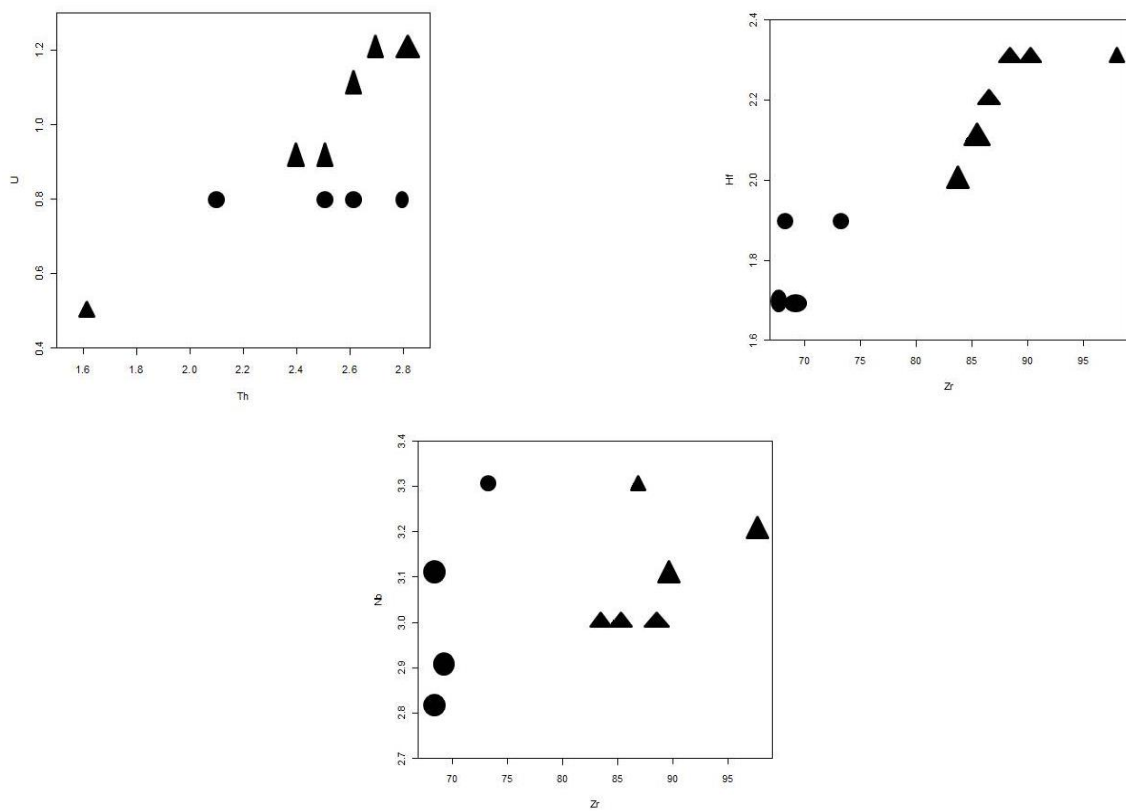
نظر به اینکه روندهای مشاهده شده بر روی نمودارهای هارکر می‌توانند به وسیله هر یک از فرایندهای ذوب بخشی و تبلور تفریقی ایجاد شوند، لذا برای تفکیک و تشخیص بهتر این فرایندها در نمونه‌های مورد مطالعه از نمودارهای تغییرات عناصر کمیاب در مقابل یکدیگر و نسبت‌های آنها استفاده می‌کنیم به بیانی دیگر، می‌توان گفت که این نمودارها در تشخیص تحولات ماقمایی و بررسی فرایندهایی نظیر تبلور تفریقی و ذوب بخشی، کاربرد دارند.

در شکل ۴-۱۰ نمودارهای عناصر ناسازگار- ناسازگار U-Th- Zr-Nb و Zr- Hf روندی خطی و صعودی نشان می‌دهند که می‌توان گفت از مبدأ مختصات نیز می‌گذرد. در صورتی که تغییرات دو عنصر ناسازگار در مقابل یکدیگر دارای روند خطی و مثبت باشد از مبدأ مختصات نیز بگذرد، فرایند اصلی تشکیل دهنده سنگ‌ها تبلور تفریقی می‌باشد (راجرز و همکاران، ۱۹۸۵). در شکل ۴-۱۱ نمودار عناصر سازگار- ناسازگار Sc-Rb ، روندی نزولی به نمایش می‌گذارد. به طور کلی از این نمودارها می‌توان نتیجه گرفت که فرایند غالب تشکیل دهنده سنگ‌های مورد مطالعه، تبلور تفریقی است.

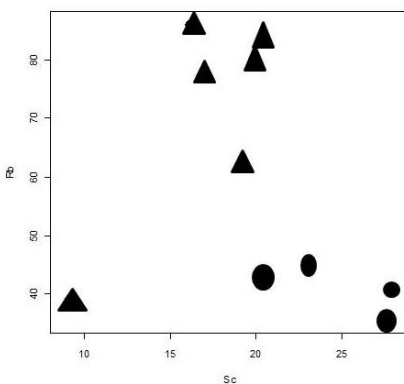
همانطور که ذکر شد، در نمودار Zr-Nb روندی خطی و صعودی ایجاد شده است. توضیحی که می‌توان برای این نمودار ارائه کرد این است که، اگرچه در درجات مختلف ذوب، بین تمرکز Zr و Nb انطباق خطی ایجاد نمی‌شود، اما انطباق خطی بین این دو عنصر در نمودار رسم شده، حاکی از آن است که تبلور تفریقی رخ داده است. این موضوع به دلیل حساسیت بیشتر Nb نسبت به Zr در درجات مختلف ذوب می‌باشد.

همچنین روند خطی Nb در مقابل Zr نشان دهنده مشتق شدن نمونه‌ها از منشأ گوشه‌ای مشابه است (آلوارو<sup>۱</sup> و همکاران ۲۰۰۶).

<sup>1</sup>.Alvaro



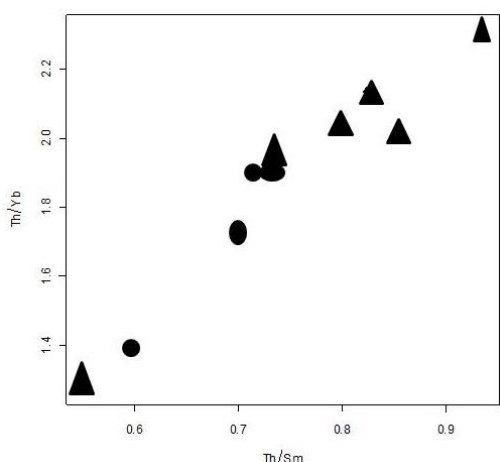
شکل ۴-۱۰- نمودارهای تغییرات عناصر ناسازگار - ناسازگار.



شکل ۴-۱۱- نمودار تغییرات عناصر سازگار - ناسازگار.

در نمودار نسبت-نسبت عناصر ناسازگار  $\text{Th/Sm}$  در برابر  $\text{Th/Yb}$  روند خطی و صعودی مشاهده می-شود.

چون نسبت این عناصر در طی ذوب بخشی و تبلور تفریقی ثابت و بدون تغییر باقی می‌ماند، پیوستگی نمونه‌های مورد مطالعه در این نمودار، وجود ارتباط ژنتیکی بین آنها را تأیید می‌کند.

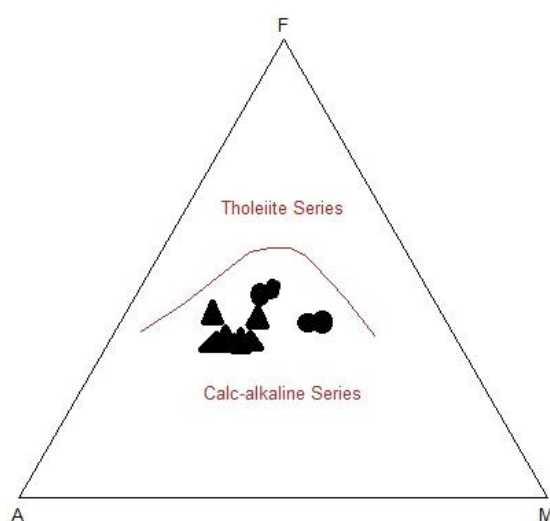


شکل ۴-۱۲- نمودار نسبت- نسبت عناصر ناسازگار.

#### ۴-۱۲- تعیین سری ماقمایی

سنگ‌های آذرین به سری‌های ماقمایی مختلفی تعلق دارند و مؤلفین مختلف بر اساس ویژگی‌های ژئوشیمیایی نام‌های متفاوتی را به آنها اختصاص داده‌اند. طبق نظر کونو (۱۹۶۸) هر سری ماقمایی، مجموعه‌ای از سنگ‌های آذرین دارای ترکیب شیمیایی مختلف است که دارای رابطه ژنتیکی یا هم منشأی می‌باشند.

برای تعیین سری ماقمایی سنگ‌های منطقه مورد مطالعه از نمودار AFM (ایروین و باراگار<sup>۱</sup>، ۱۹۷۱) در شکل ۴-۱۳ استفاده شده است.



شکل ۴-۱۳- نمودار AFM برای تعیین سری ماقمایی سنگ‌های منطقه (ایروین و باراگار، ۱۹۷۱) و موقعیت آنها بر روی آن.

<sup>1</sup> .Irvine & Baragar

#### ۴-۱۳-۴- نمودار فراوانی تغییرات عناصر خاکی کمیاب بهنجار شده نسبت به مقادیر

کندریتی (ناکامورا، ۱۹۷۴)

الگوی تغییرات عناصر خاکی کمیاب نمونه‌های مورد مطالعه به موازات یکدیگر قرار دارند. این مسئله نشان می‌دهد که سنگ‌های مورد مطالعه دارای منشأ واحدی هستند که با توجه به پتروگرافی این سنگ‌ها و نمودارهای هارکر، متحمل تبلور تفریقی شده‌اند. در نمونه‌های مورد مطالعه، عناصر کمیاب خاکی سبک (LREE) نسبت به عناصر کمیاب خاکی سنگین (HREE) غنی‌شدگی بیشتری نشان می‌دهند (شکل ۴-۴). LREE‌ها نسبت به فازهای بلوری اولیه مانند پیروکسن و پلازیوکلاز ناسازگارند در خلال تفریق، به طور فزاینده‌ای در مایعات تحول یافته‌تر متمرکز می‌شوند (رولینسون، ۱۹۹۳). به عقیده بیشتر محققین علت غنی‌شدگی نمونه‌ها از عناصر LREE به دلایل ذیل می‌باشد:

۱- عناصر LREE نسبت به عناصر HREE ناسازگارتر هستند. اختلاف ناچیز اندازه یون‌ها باعث می‌شود عناصر LREE تا حدی ناسازگارتر از عناصر HREE باشند و بنابراین در سیال باقیمانده، عناصر LREE غلظتی بیشتر از عناصر HREE دارا می‌باشند (گیل، ۱۹۸۱). بنابراین در طی روند تحولات ماقمایی در سنگ‌های تحول یافته‌تر متمرکز می‌شوند.

۲- ناشی از حضور گارنت در منشأ می‌باشد که با حفظ عناصر HREE در ساختمان خود موجب تهی‌شدگی این عناصر و بر عکس غنی‌شدگی از LREE، در ماقمای ایجاد شده می‌گردد.

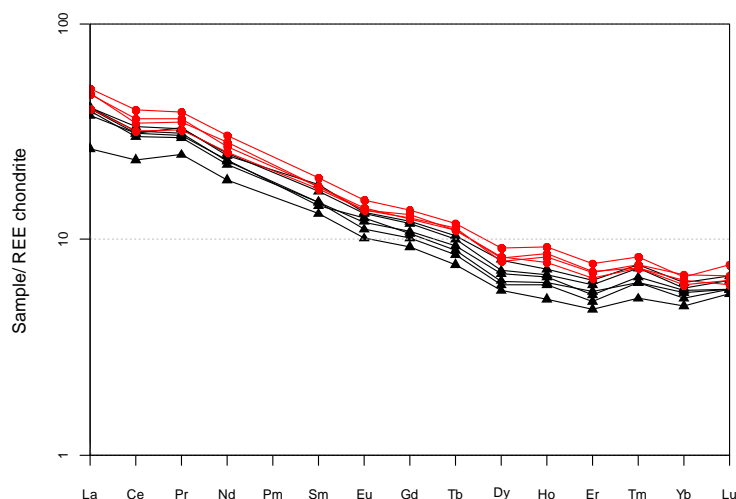
۳- آلایش ماقما با مواد پوسته‌ای (پوسته قاره‌ای و رسوبات دریایی روی پوسته اقیانوسی فرورانده شده). غلظت عناصر LREE به علت تحرک زیاد تابعی از نوع رفتار فاز سیال می‌باشد (رولینسون، ۱۹۹۳). ولی از آنجایی که این عناصر در پوسته قاره‌ای متمرکز شده‌اند، ممکن است غلظت زیاد آن‌ها در ماقما نشانگر آلایش توسط مواد پوسته‌ای باشد (سریواستاوا و ساین، ۲۰۰۴). در صورتی

<sup>1</sup> Nakamura

که غلظت عناصر HREE توسط شیمی سنگ منشاء و فرآیندهای بلور/ مذاب حین تشکیل سنگ کنترل می‌شود (رولینسون، ۱۹۹۳).

۴- ممکن است ناشی از متاسوماتیسم گوه گوشه‌ای بر اثر تراوش سیالات حاصل از آبزدایی پوسته اقیانوسی فرورونده باشد (وینتر، ۲۰۰۱). علاوه بر این، غنی‌شدنی از عناصر نادر خاکی سبک را می‌تواند متأثر از درجات ذوب بخشی پایین (کمتر از ۱۵ درصد) منبع گوشه‌ای غنی شده باشد (هیرشمن و همکاران، ۱۹۹۸).

فراوانی عناصر کمیاب خاکی سنگین در نمونه‌های تراکی آندزی بازالتی، بیشتر از نمونه‌های تراکی آندزیتی می‌باشد. چون این عناصر معمولاً در کانی‌هایی مانند هورنبلند و پیروکسن تمرکز بیشتری دارند، در صورتی که فراوانی این کانی در نمونه‌های تراکی آندزیتی کمتر است و در نتیجه این ویژگی-ها بیانگر آن است که نمونه‌های تراکی آندزیتی نسبت به نمونه‌های تراکی آندزی بازالتی تفریق یافته‌تر هستند و دارای فراوانی کمتری از این عناصر می‌باشند.



شکل ۱۴-۴- نمودار فراوانی عناصر کمیاب خاکی (REE) هنجار شده به مقادیر کندریتی (ناکامورا، ۱۹۷۴) برای نمونه‌های مورد مطالعه.

#### ۱۴-۴- نمودارهای عنکبوتی

نمودارهای عنکبوتی جهت بررسی میزان تغییر و تحولات ماقمایی مولد نسبت به ماقمای اولیه و نیز منشأ و نزدیکی آنها از اهمیت خاصی برخوردارند. این نمودارها بر اساس الگوی ترکیب کندریت، تعداد

۱۵ عنصر به ترتیب افزایش سازگاری از چپ به راست مرتب شده‌اند. این عناصر، عناصر نادر خاکی هستند (رولینسون، ۱۹۹۳).

در واقع نمودارهای عنکبوتی، بسط نمودارهای عناصر خاکی کمیاب بهنجار شده کندریتی است که در آنها عناصر کمیاب دیگری نیز به نمودار معمول REE افروده می‌شوند.

#### ۱۵-۴- نمودار عنکبوتی چند عنصری هنجار شده نسبت به گوشه اولیه (سان و مک دونوف، ۱۹۸۹)

در نمودار چند عنصری هنجار شده نسبت به گوشه اولیه (شکل ۱۵-۴) مشاهده می‌شود که عناصر U، K، Pb و Sr غنی‌شدگی نشان می‌دهند که معرف آلایش پوسته‌ای است و عناصری مانند Ti، Pr و Nb تهی‌شدگی نشان می‌دهند، آنومالی منفی عناصر Ti و Nb مربوط به تشکیل سنگ‌ها مناطق فرورانش است. این امر اگرچه ممکن است تا حدودی ناشی از آغشتگی ماگما با مواد پوسته‌ای تهی از این عناصر در خلال صعود و جایگزینی آن در مناطق فرورانش باشد، ولی بسیاری از پژوهشگران مانند لونو و هافمن<sup>۲</sup> (۱۹۹۵)، استالدر<sup>۳</sup> و همکاران (۱۹۹۸) و آیرس<sup>۴</sup> (۱۹۹۸). نامحلول بودن این عناصر در فاز سیال آبگون متاسوماتیسم کننده گوشه و باقی ماندن آن‌ها در فازهای تفاله‌ای دیرگداز موجود در سنگ کره فرورونده (روتیل، ایلمنیت، آمفیبول پارگازیتی تیتان‌دار، اسفن، آپاتیت، زیرکن) را عامل اصلی این امر می‌دانند. برخی دیگر از پژوهشگران، سیالات غنی از کلر را عامل تهی شدگی ماگماهای کمان‌ها از عناصر با شدت میدان بالا و غنی شدگی آن‌ها از عناصر لیتوفیل بزرگ یون (LILE) می‌دانند (کپلر، ۱۹۹۶). حلالیت بالای LILE در این سیالات و شستشو و حمل و نقل آن‌ها از سنگ کره اقیانوسی فرورونده به داخل گوه گوشه‌ای محل منشأ ماگما و

<sup>1</sup> Sun & McDonough

<sup>2</sup> - Lonov & Hofmann

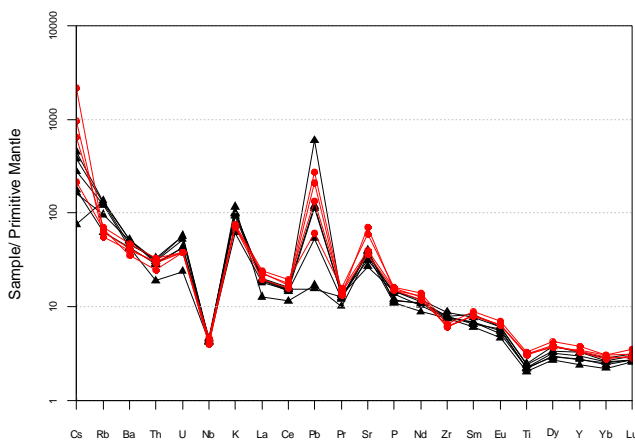
<sup>3</sup> - Stalder

<sup>4</sup> - Ayers

5-Keppler

همچنین نامحلول و نامتحرک بودن عناصر HFS در این رخداد، نقش مهمی در توزیع این عناصر در سنگ‌های ماگمایی مناطق کمانی دارد (جمشیدی، ۱۳۹۲).

آنومالی منفی Ce غالباً ناشی از دگرسانی پوسته اقیانوسی فرورونده توسط آب دریا می‌باشد. همچنین بی‌هنجری منفی Nb شاخص پوسته قاره‌ای است و نشان دهنده درگیری پوسته در فرایندهای ماگمایی می‌باشد (رولینسون، ۱۹۹۳).



شکل ۴-۱۵- نمودار عنکبوتوی بهنجار شده نسبت به گوشه‌های اولیه (سان و مک دو نوف، ۱۹۸۹) برای نمونه‌های مورد مطالعه.

الگوی کلی تغییرات عناصر، یکسان است و معرف ساز و کار مشابهی برای تشکیل آنها می‌باشد.

#### ۴-۱۶- بررسی ویژگی‌های ژئوشیمیایی سنگ‌های آذرین نیمه عمیق مورد مطالعه

از مقایسه ویژگی‌های ژئوشیمیایی سنگ‌های مورد مطالعه با ویژگی‌های ژئوشیمیایی آداسیت‌ها، می-

توان نتیجه‌گیری کرد که سنگ‌های آذرین نیمه عمیق مورد مطالعه دارای ماهیت آداسیتی هستند (به

جدول ۴-۴ از کاستیلو<sup>۱</sup>، ۲۰۱۲ رجوع شود).

برای حصول اطمینان و دستیابی به نتیجه‌ای درست، از نمودار  $\text{Sr}/\text{Y}$  (ppm) (کاستیلو،

(شکل ۴-۱۶- الف) و نمودار  $\text{Sr}/\text{Y}$  در برابر  $\text{Y}$  (دوفان و درومون، ۱۹۹۰) (شکل ۴-۱۶- ب)

استفاده شد. نمونه‌های مورد مطالعه بر روی این نمودار اکثراً در محدوده معرف آداسیت قرار می‌گیرند،

آداسیتی بودن نمونه‌ها تأیید می‌گردد.

<sup>1</sup> Castillo

#### ۱۸- تقسیم‌بندی آداسیت‌ها

واژه آداسیت برای سنگ‌های آذرین درونی و بیرونی غنی از سیلیکات با نسبت‌های بالای La/Yb و Sr/Y استفاده می‌شود که در اثر ذوب بخشی پوسته اقیانوسی فرورانده شده به زیر کمان آتشفسانی در مناطق فرورانش جوان شکل می‌گیرد (کاستیلو، ۲۰۰۶).

- واژه آداسیت به طور گسترده برای سنگ‌های آتشفسانی و آذرین درونی غنی از سیلیس و دارای نسبت‌های بالای La/Yb و Sr/Y استفاده می‌شود که در محیط‌های مختلف تکتونیکی و از طریق مراحل پترولوزیکی مختلف تشکیل شده‌اند (وانگ<sup>۱</sup> و همکاران، ۲۰۰۵، دوفان و دورمون<sup>۲</sup>، ۱۹۹۰، ژو<sup>۳</sup> و همکاران، ۲۰۰۷).

- از نظر هو<sup>۴</sup> و همکاران (۲۰۰۴) آداسیت‌ها، سنگ‌های فلزیک تا حدود است K پایین، Al، Na و Sr بالا هستند، و نسبت به HREE و Y تهی شدگی نشان می‌دهند. که معمولاً در محیط قوس‌های ماگمایی و در ارتباط با فرورانش ورقه اقیانوسی به وجود می‌آیند.

- بر اساس نظر کاستیلو (۲۰۰۶)، آداسیت یک واژه پترولوزیکی است که برای اولین بار توسط کای<sup>۵</sup> در سال ۱۹۷۸ معرفی شد. این واژه برای سنگ‌های حد واسط (آنذیتی- داسیتی) در جزیره‌ای به نام آداس<sup>۶</sup> واقع در مجمع الجزایر آئوسین برای سنگ‌های درونی یا بیرونی قوس‌های سنوزوئیک همراه با فرورانش لیتوسفر اقیانوسی جوان (با سن کمتر یا برابر ۲۵ میلیون سال) استفاده شده است. محققان مختلف، نمودارهای متفاوتی را برای تمایز و تقسیم‌بندی آداسیت‌ها ارائه کرده‌اند. آداسیت‌ها را معمولاً بر اساس میزان سیلیس به دو گروه غنی از سیلیس (HSA) و کم سیلیس (LSA) تقسیم- بنده می‌کنند.

1 .Wang

2 .Dofant & Drummond

3 .Zhou

4 .Hou

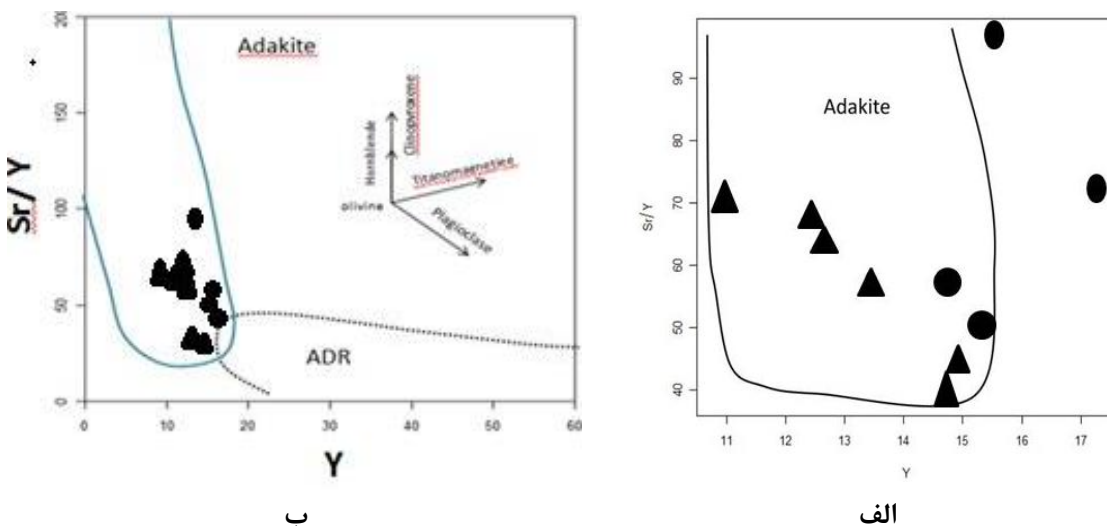
5 .Kay

6 .Adak

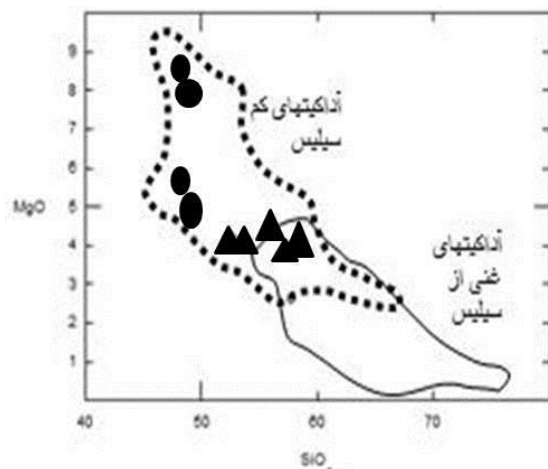
از نمودار  $\text{SiO}_2\text{-MgO}$  (مارتین<sup>۱</sup> و همکاران، ۲۰۰۵) (شکل ۴-۱۷) برای تفکیک آدکیت‌ها استفاده شد. با توجه به این نمودار سنگ‌های مورد مطالعه از نوع کم از سیلیس هستند.

جدول ۴-۳- مقایسه ویژگی‌های ژئوشیمیایی سنگ‌های منطقه جنوب سهل با معیارهای ژئوشیمیایی شناخت آدکیت‌های کم سیلیس، با اقتباس از کاستیلو (۲۰۱۲) و مارتین و همکاران (۲۰۰۵).

معیارهای شناخت آدکیت‌ها	احتمالاً مرتبط با ذوب ورقه بازالتی اقیانوسی فرورونده	مقادیر محاسبه شده برای آدکیت‌های مورد مطالعه	ویژگی‌های آدکیت‌های مرتبط با گوه گوشه‌ای (کم سیلیس) (مارتین و همکاران، ۲۰۰۵)
$\text{SiO}_2 \geq 56$ بالا	ذوب بخشی اکلوزیت یا آمفیبولیت در فشار بالا	48-58	- 56
$\text{Al}_2\text{O}_3 \geq 15$ % بالا	ذوب بخشی اکلوزیت یا $\text{SiO}_2$ در	14.58-17.83	- 15/7
$\text{MgO} < 3$ پایین	بالا، در ذوب تعادلی یا ذوب $\text{Ni}, \text{Cr}$ به همراه	2.61-8.70	- 5/2
$\text{Na}_2\text{O} > 3$ بالا	ذوب بخشی اکلوزیت یا آمفیبولیت در فشار بالا	3.79-5.85	✓ 4/1
$\text{Sr} > 300$ بالا	ذوب پلازیوکلаз یا عدم حضور پلازیوکلاز در	566.1-	✓ 2051
$\text{Y} < 10$	نشان دهنده حضور گارنت، هورنبلند و	10.8-17.3	- 13
$\text{Sr/Y} > 20$	نشان دهنده حضور گارنت، هورنبلند و	$\text{Sr/Y} > 20$	✓ -
$\text{Yb} < 1$	سنگین REE به معنی محتوای پایین	1.08-1.51	- -
$\text{La/Yb} > 20$	سبک یا سنگین، نشان دهنده REE غنی بودن از	8.05-11.54	- 43
(Nb,Ta) مقدار کم	Ti به عنوان مثال در اکثر کمانهای آتششانی؛ فاز	مقدار کم	✓ -
$\text{Sr}^{86}/\text{Sr}^{87} < 0.7040$	-	محاسبه نشده است.	-



شکل ۴-۱۶- الف- نمودار نسبت  $\text{Sr}/\text{Y}$  در برابر  $\text{Y}$  (ppm) (کاستیلو، ۲۰۰۶)، ب- نمودار  $\text{Sr}/\text{Y}$  در برابر  $\text{Y}$  (دوفان و درومون، ۱۹۹۰) و موقعیت قرار گیری نمونه‌های مورد مطالعه بر روی آنها.



شکل ۴-۱۷- نمودار  $\text{SiO}_2\text{-MgO}$  مارتین و همکاران (۲۰۰۵) و قرارگیری نمونه‌ها در محدوده آذکیت‌های کم‌سیلیس.



## فصل پنجم

پتروژنر و جایگاه تکتونیکی

**۱-۵ مقدمه**

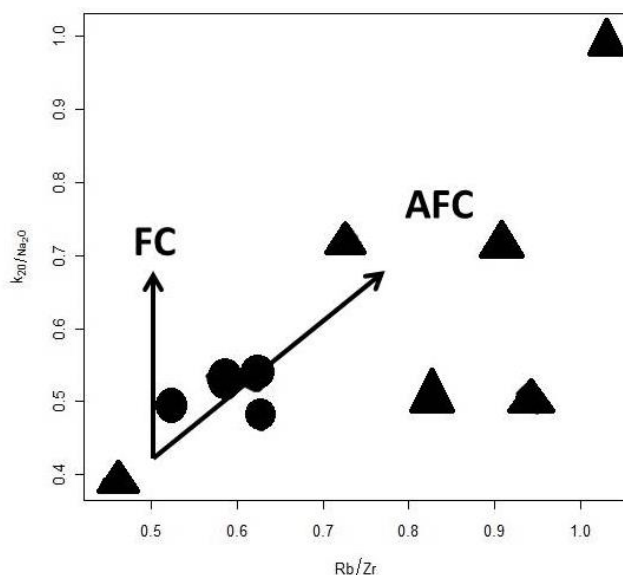
در فصل‌های گذشته، روابط صحرایی، ویژگی‌های پتروگرافی و ژئوشیمیایی سنگ‌های آذرین ساب-ولکانیک منطقه مورد بحث و بررسی قرار گرفت. مشخص شد که این سنگ‌ها اغلب از کانی‌هایی نظیر پلازیوکلаз، پیروکسن (اغلب تیتان اوژیت) و هورنبلند (سبز) تشکیل شده‌اند. همچنین دارای ترکیب حدواسط و ماهیت کالک‌آلکالن پتابسیم بالا هستند که در زمرة آدکیت‌ها قرار می‌گیرند و با توجه به تقسیم بندی مارتین و همکاران (۲۰۰۵) از نوع آدکیت‌های کم سیلیس هستند (رجوع شود به شکل ۴-۱۹). در این فصل قصد داریم که جایگاه تکتونیکی و منشأ گنبدهای مورد مطالعه را با توجه به مشاهدات صحرایی، مطالعات پتروگرافی و بررسی‌های ژئوشیمیایی تعیین کنیم.

**۲-۵ بررسی نقش هضم، آلایش و تفریق ماقمایی در تحول سنگ‌های نیمه‌عمیق****مورد مطالعه**

بهترین شاهد آلایش پوسته‌ای و اختلاط ماقمایی، آنکلاوهای هستند (هیبارد و سباتیه<sup>۱</sup>، ۱۹۹۸). طی عملیات صحرایی و مطالعات پتروگرافی، مشاهده شد که سنگ‌های مربوط به گنبدهای موجود در این منطقه اغلب دارای آنکلاو هستند. طبق تقسیم‌بندی ژان دیدیه و برنارد باربارن<sup>۲</sup> (۱۹۹۱) آنکلاوهای می‌توان به انواع اتوپیت، زینولیت، سورمیکاسه، میکروگرانولار مافیک و... تقسیم کرد. از این میان آنکلاوهای مشاهده شده در صمرا و نمونه دستی بیشتر از نوع لخته‌های مافیک (حاصل از تجمع هورنبلند و پیروکسن در اثر نیروی ثقل) و زینولیت‌های گناییسی، آمفیبولیتی و توفی سیلتستون می‌باشند. با توجه به نمودارهای عنکبوتی، وجود آنکلاوهای و همچنین لخته‌های مافیک در سنگ‌های مورد مطالعه می‌توان گفت که اختلاط ماقمایی و آلایش پوسته‌ای در تشکیل سنگ‌های مورد مطالعه دخیل بوده‌اند. در نمودارهای عنکبوتی مشاهده شد که نمونه‌های مورد مطالعه از عناصر کمیاب خاکی سبک (LREE) غنی شده‌اند که این مسئله شاهدی از آلایش پوسته‌ای می‌باشد. همچنین بی‌هنجری

<sup>1</sup> Hibard & Sabatire<sup>2</sup> Didier & Barbararin

منفی Nb شاخص پوسته قاره‌ای بوده و نشان دهنده درگیری پوسته در فرایندهای ماقمایی است. از شکل ۵-۱ استنباط می‌شود نمونه‌های مورد مطالعه از روند تبلور تفریقی همراه با هضم و آلایش پوسته‌ای تبعیت می‌کنند.



شکل ۵-۱- نمودار نسبت نسبت  $K_2O/Na_2O$  در برابر  $Rb/Zr$  (اسپرانسا<sup>۱</sup> و همکاران، ۱۹۹۲). مطابق این نمودار نمونه‌های سنگی مورد مطالعه از روند تبلور تفریقی همراه با هضم و آلایش تبعیت پوسته‌ای می‌کنند.

### ۳-۵- تعیین جایگاه تکتونیکی و محل منشأ آداکیت‌های مورد مطالعه

در این قسمت از بحث ابتدا به بررسی اهمیت منشأ آداکیت‌ها می‌پردازیم و سپس به بیان نظریه‌های مختلف موجود در مورد ژنز و منشأ آداکیت‌ها خواهیم پرداخت.

- به نظر مکفرسون<sup>۲</sup> (۲۰۰۶) منشأ آداکیت‌ها به چند دلیل اهمیت دارد:

۱- وجود سنگ‌های آداکیتی دلالت بر رژیم گرمایی غیر معمول در مقایسه با اکثر زون‌های فروزانش دارد.

۲- بسیاری از خصوصیات عناصر نادر و اصلی آداکیت‌ها مشابه با ژنز تونالیت- ترونجمیت- گرانودیوریت است که سازنده‌های مهم و اصلی سرزمین‌های آرکئن هستند. بنابراین، مکانیسم تشکیل آداکیت‌های امروزی می‌تواند یک بستر مناسب برای مراحل رشد قاره‌ها از آغاز زمین فراهم کند.

<sup>1</sup>. Esperanca  
<sup>2</sup>. Mcpherson

- چندین واحد از سنگ‌های آداسیتی با کانه زایی  $\text{Cu}$  و  $\text{Au}$  از نوع اپیترمال پورفیری همراه هستند. برای آداسیت‌ها منشأهای مختلفی ارائه شده است که در اینجا به شرح آنها می‌پردازیم و در ادامه تقسیم‌بندی آداسیت‌ها بر اساس ژنز را بیان خواهیم کرد.

- آداسیت‌ها می‌توانند به وسیله روش‌های متعددی به شرح ذیل ایجاد شوند:

- ۱- تفرق ماقمایی (کاستیلو و همکاران، ۱۹۹۹).
- ۲- ذوب پریدوتیت آبدار (استرن<sup>۱</sup> و همکاران، ۱۹۹۱، مارتین و همکاران، ۲۰۰۵).
- ۳- اختلاط ماقمای بازالتی با ماقمای فلسيک مشتق شده از پوسته (گوو<sup>۲</sup> و همکاران، ۲۰۰۷).
- ۴- ذوب بخشی پوسته قاره‌ای پایینی ضخیم و لامینه شده (زوو<sup>۳</sup> و همکاران، گوو و همکاران، ۲۰۰۷). حاصل می‌شوند.
- ماقمای آداسیتی حاصل ذوب ورقه اقیانوسی فرورانده شده و اکلوزیتی شده (رب<sup>۴</sup> و همکاران، ۱۹۹۱، سن و دان<sup>۵</sup>، ۱۹۹۴، رب و واتسون<sup>۶</sup>، ۱۹۹۵) و واکنش مذاب تولید شده با گوه گوشته‌ای (بوردون<sup>۷</sup> و همکاران، ۲۰۰۲، براووز<sup>۸</sup> و همکاران، ۲۰۰۴) و متعاقب آن تبلور بخشی پلاژیوکلاز<sup>۹</sup> هورنبلند است (کامی<sup>۹</sup>، ۲۰۰۴)
- وانگ<sup>۱۰</sup> و همکاران (۲۰۰۸) شش مدل پیشنهادی برای پتروژنز سنگ‌های آداسیتی ارائه داده‌اند که شامل موارد ذیل است:

- ۱- آداسیت‌های حاصل از ذوب پوسته اقیانوسی فرورانده شده (استرن و کیلیان<sup>۱۱</sup>، ۱۹۹۶، رب و همکاران، ۱۹۹۹، دوفان و همکاران، ۲۰۰۲، ژو<sup>۱۲</sup> و همکاران، ۲۰۰۶، وانگ و همکاران، ۲۰۰۷)

1 .stern

2 .Gao

3 .Zhu

4 .Rapp

5 .Sen & Dunn

6 .Watson

7 .Bourdon

8 .Beraaouz

9 .Kamy

10 .Wang

11 .Stern & Kilian

12 .Zhu

۲- آدکیت‌های حاصل از تبلور تفریقی مواد مذاب بازالتی فشار بالا (پروتو و اسکایت، ۲۰۰۳، مکفرسون و همکاران، ۲۰۰۶)

۳- آدکیت‌های حاصل از تبلور تفریقی ماگمای والد بازالتی و هضم پوسته‌ای در فشار پایین (کاستیلو و همکاران، ۱۹۹۶)

۴- آدکیت‌های حاصل از اختلاط ماگمای بازالتی و فلسيك (استرن و همکاران، ۲۰۰۷، گیو و همکاران، ۲۰۰۷)

۵- آدکیت‌های حاصل از ذوب بخش زیرین و مافیک پوسته قاره‌ای ضخیم شده (وانگ و همکاران، ۲۰۰۶، ژانگ و همکاران، ۲۰۰۶)

۶- آدکیت‌های حاصل از ذوب پوسته زیرین دگرگون شده (گیو و همکاران ۲۰۰۴، وانگ و همکاران، ۲۰۰۶)

بر اساس تنوع پتروژنر، آدکیت‌ها را به ۴ دسته تقسیم می‌کنند:

- آدکیت‌های حاصل از ذوب ورقه اقیانوسی فرورونده (سورنسن، ۱۹۹۸)

- آدکیت‌های مشتق شده از ذوب پوسته ضخیم تحتانی (آترن، ۱۹۹۳)

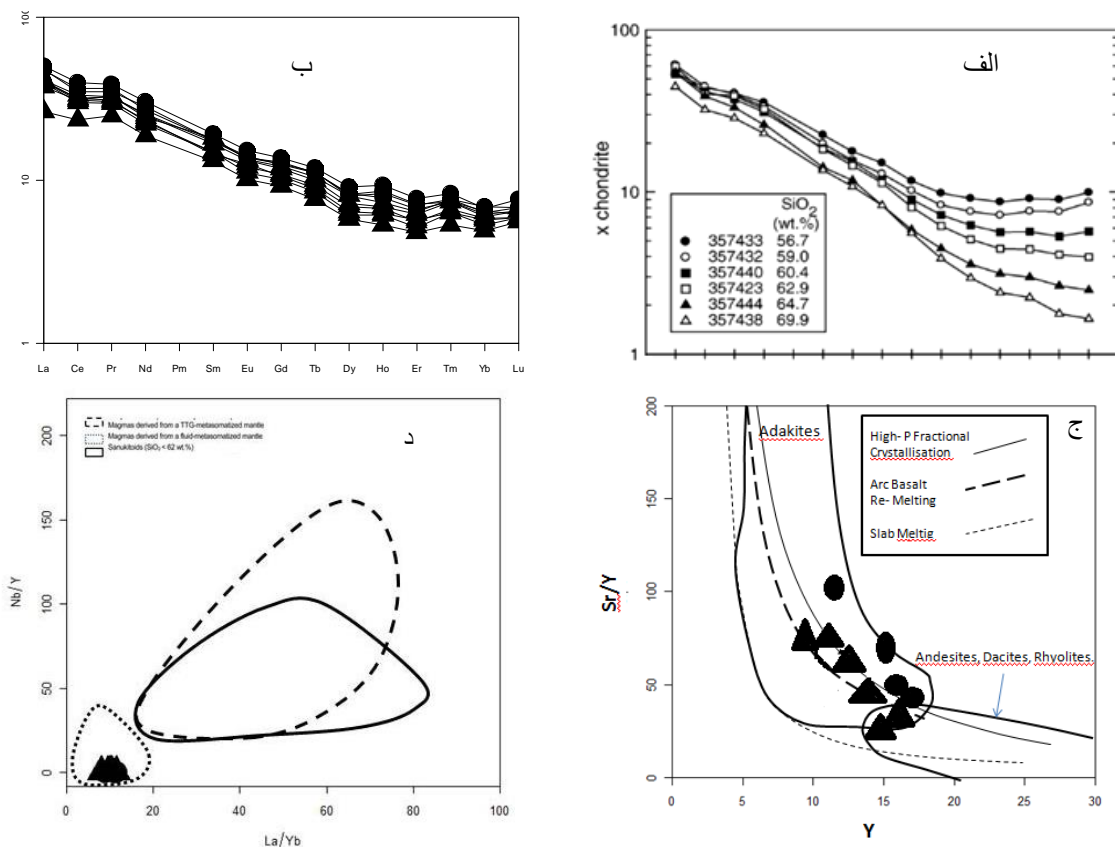
- آدکیت‌های حاصل از واکنش مذاب مربوط به ورقه فرورونده با پریدوتیت گوشه‌ای (درومون و همکاران، ۱۹۹۶)

- آدکیت‌های مشتق شده از ذوب پریدوتیت گوشه‌ای و واکنش با پوسته تحتانی (کای و همکاران، ۱۹۹۳)

در ادامه بحث پس از اینکه نظریه‌ها افراد مختلف در مورد منشأ آدکیت‌ها را بیان کردیم، نمودارهای ترسیم شده برای جایگاه تکتونیکی و منشأ آدکیت‌های منطقه مورد مطالعه را مورد بحث و بررسی قرار خواهیم داد.

مجموعه ویژگی‌های ژئوشیمی و ماهیت سنگ‌شناسی و زمین‌شناسی کلی منطقه مورد مطالعه و همچنین مقایسه شواهد با معیارهای ارائه شده توسط مکفرسون، (۲۰۰۶)، نشأت گرفتن ماگماهای

آدکیتی سازنده سنگ‌های مورد مطالعه از ذوب بخشی گوه گوشه‌ای پریدوتیتی همراه با مشارکت سیالات آزاد شده از ورقه اقیانوسی فرورونده را بیشتر تأیید می‌کند (شکل ۲-۵).



شکل ۲-۵-الف- نمودار بهنجار شده برای آدکیت‌های کم سیلیس ارائه شده توسط مکفرسیون (۲۰۰۶). ب- نمودار بهنجار شده آدکیت‌های کم سیلیس منطقه مورد مطالعه. ج- نمودار  $\text{Sr}/\text{Y}$  در مقابل  $\text{Y}$  جهت تعیین ماقماهای آدکیتی کم سیلیس مورد مطالعه. نمونه‌ها در امتداد روندی قرار می‌گیرند که معرف ذوب گوه گوشه‌ای می‌باشد. د- نمودار  $\text{Nb}/\text{Y}$  در مقابل  $\text{La}/\text{Y}$  جهت تعیین منشاء آدکیت‌های مورد مطالعه.

راهنمایی شکل ۲-۵

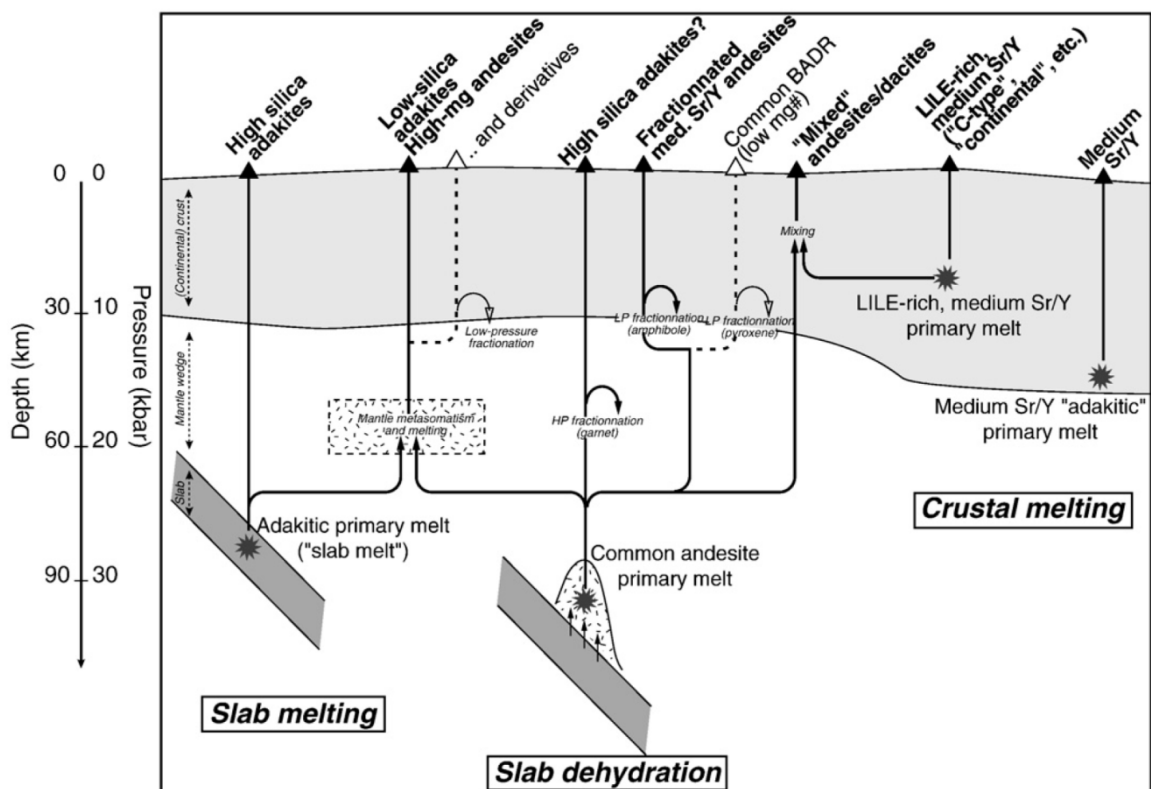
[---] Mamas driven from a TTG-metasomatized mantle  
 [----] Mamas driven from a fluid-metasomatized mantle  
 [ ] Sanukitoids ( $\text{SiO}_2 < 62 \text{ W\%}$ )

#### ۴-۵- خصوصیات محل منشأ و الگوی تکتونوماگمایی تشکیل سنگ‌های آذرین مورد

#### مطالعه

با در نظر گرفتن شواهدی چون ویژگی‌های صحرایی و ویژگی‌های ژئوشیمیایی که در مباحث گذشته مورد بحث و بررسی قرار گرفتند، می‌توان گفت که سنگ‌های منطقه دارای منشأ کمان آتشفسانی بوده و در اثر فروزانش ورقه اقیانوسی به زیر ورقه قاره‌ای ایجاد شده‌اند. حضور کانی‌های آبدار و ماهیت

کالکآلکان سنگ‌های منطقه نیز این موضوع را تأیید می‌کند. مدل تکتونیکی ارائه شده توسط موین (۲۰۰۹) در ارتباط با تشکیل آدکیت‌ها در شکل ۵-۴ نشان داده شده است.



شکل ۵-۴-۵- مدل پتروژنی چگونگی تشکیل انواع ماقماهای آدکیتی در مناطق فروزانشی کمان آتشفشاری (موین، ۲۰۰۹).

از ذوب پوسته اقیانوسی فرورونده در اعماق ۷۰ تا ۸۰ کیلومتری و در فشار ۲۵ کیلوبار ماقمایی ایجاد می‌شود که اگر این ماقما به درون گوشته بالایی صعود کند، پس از متاسوماتیسم کردن گوه گوشته‌ای و ذوب آن صعود کرده و ماقماهای آدکیتی گروه کم سیلیس و یا آندزیت‌های منیزیم بالا را تولید می‌نماید. ماقمای مذکور اگر در فشارهای کم تحت تأثیر فرایند تبلور تغیری قرار گیرد، سنگ‌های حد بواسطه وجود خواهد آمد (مکفرسون و همکاران، ۲۰۰۶؛ اولمر و همکاران، ۲۰۰۸).

دسته دیگری از آدکیت‌ها که معمولاً دارای مقدار سیلیس بیشتری هستند و به آنها آدکیت‌های سیلیس بالا می‌گویند از طریق فرایند زیر به وجود می‌آیند:

پوسته اقیانوسی فروزانده شده به زیر پوسته قاره‌ای، در ابتدای فروزانش، آب خود را از دست می‌دهد. این ورقه اقیانوسی در اعماق دچار دگرگونی در حد رخساره آمفیبوليٹ و یا اکلوژیت می‌شود. پس از

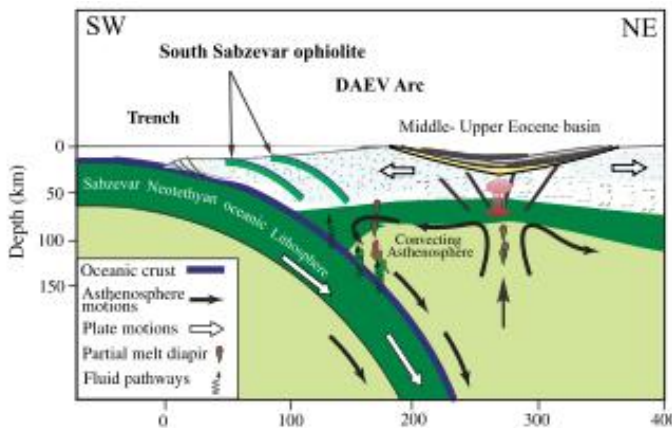
ذوب شدن این ورقه در اعمق، عناصر با قدرت میدانی بالا (HFSE) که در فازهای پایدار در رخساره آمیبیولیت و یا اکلوژیت سازگارند، در محل منبع باقی مانده و عناصر ناسازگار همچون عناصر لیتوفیل بزرگ یون (LILE) و عناصر نادر سبک (REE) به همراه مذاب حاصل از ذوب ورقه اقیانوسی به سمت گوه گوشه‌ای متاسوماتیسم شده حرکت کرده و باعث ذوب آن می‌شوند و مذابی غنی از LILE و REE تولید می‌کنند که طی صعود از میان گوشه و سپس پوسته دچار اختلاط ماقمایی، تفریق ماقمایی و آلایش پوسته‌ای خواهد شد. آدکیت‌های سیلیس بالا معمولاً حاصل تبلور مذاب‌های مشتق شده از ذوب ورقه اقیانوسی فرورانده شده می‌باشند.

با توجه به اینکه از نمودارهای ژئوشیمیایی به این استنباط رسیدیم که آدکیت‌های مورد مطالعه، جزء آدکیت‌های کم سیلیس هستند، بنابراین با در نظر گرفتن زمین‌شناسی منطقه به تشریح چگونگی تشکیل آنها در مبحث بعدی خواهیم پرداخت.

#### ۵-۵- مدل تکتونیکی تشکیل ماقمایی آدکیت‌های منطقه مورد مطالعه

با توجه به رخمنونهای سنگی موجود در نوار آتشفسانی شمال زون ایران مرکزی، پیامد فرورانش ورقه اقیانوسی سبزوار به زیر لبه شمالی ایران مرکزی یک حوضه آتشفسانی رسوی در واخر پالئوسن تا احتمالاً ائوسن بالایی تشکیل گردید که ضخامت زیادی از رسوبات و گدازه در آن نهشته شده است. قاسمی و رضایی (۲۰۱۵) در مقاله‌ای تحت عنوان پتروشیمی و موقعیت تکتونیکی سنگ‌های آتشفسانی ائوسن داورزن- عباس‌آباد، شمال شرق ایران، مدل تکتونوماقمایی برای تشکیل حوضه‌های مورد نظر در محدوده عباس‌آباد- سبزوار ارائه کرده‌اند که در شکل ۵-۵ نشان داده شده است. سپس در اوخر ائوسن به بعد تا احتمالاً ابتدای الیگوسن منطقه تحت تأثیر تنش‌های تکتونیکی تراکمی کوتاه مدت قرار گرفته و در جهات مختلف به ویژه رو به شمال متحمل بالا آمدگی و کوتاه‌شدگی شده است که با تشکیل تاقدیس و ناویدیس‌های چین‌خورده توالی آتشفسانی- رسوی اوخر پالئوسن- ائوسن مشخص می‌گردد و نمونه‌های بارز آن در عباس‌آباد، پهناوز، احمد‌آباد، شمال سمنان و .... مشاهده می‌شود. در ادامه فعالیت‌های آذرینی در ارتباط با کشش‌های موضعی و یا جایگزینی در ارتباط با

گسل‌ها رخ داده است. این فعالیت‌های آذرین به صورت گنبدهای نیمه عمیق و سیل می‌باشند که در نتیجه فرسایش و بالا آمدگی در سطح زمین دیده می‌شوند. این گنبدها، دایک‌ها و سیل‌ها غالباً در درون مجموعه آتشفشاری و آتشفشاری-رسوبی اوسن رخنمون‌های محدودی از آنها همراه با سنگ‌های آذرین و دگرگونی نوپروتزوژنیک و مارن‌های کرتاسه شده است.



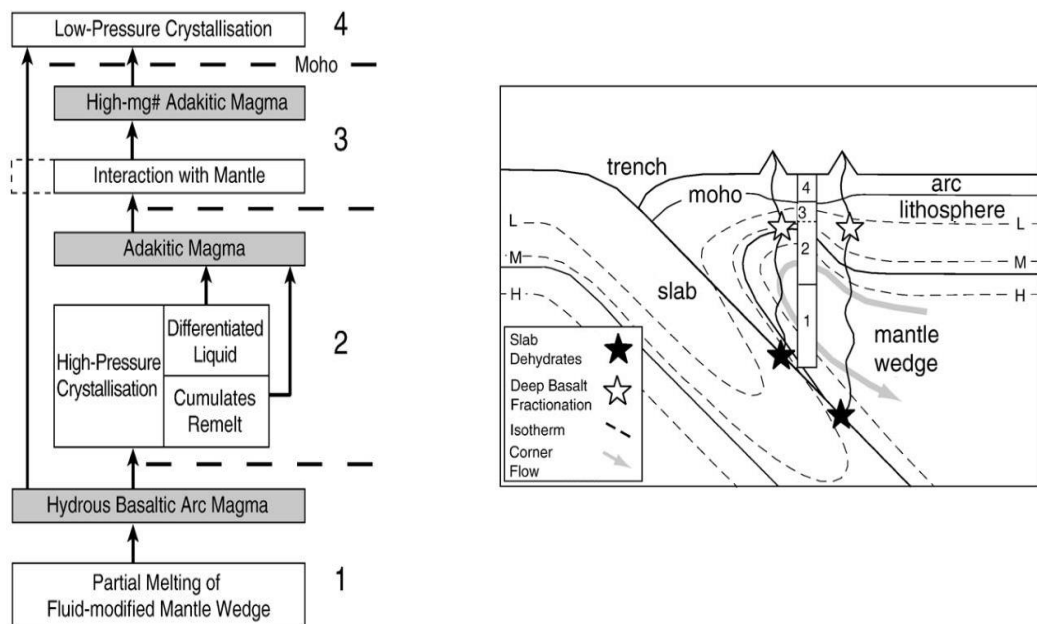
شکل ۵-۵- مدل شماتیک نشان‌دهنده تشکیل حوضه‌های آتشفشاری رسوبی در یک محیط پشت قوس مرتبط با فرورانش ورقه اقیانوسی سبزوار به زیر لبه شمالی ایران مرکزی (قاسمی و رضایی، ۲۰۱۵).

وقتی لیتوسفر اقیانوسی فرورانده می‌شود، سیالات آزاد شده از آن در طی دگرگونی، با گوه گوشته‌ای واکنش می‌دهند و پریدوتیت‌های متاسوماتیسم شده را به وجود می‌آورند، ذوب این پریدوتیت‌ها به ایجاد مذاب‌های کم سیلیس با منیزیم بالا منجر می‌شوند (شکل ۵-۶). این مذاب‌ها در پوسته تحتانی- میانی بصورت موضعی استقرار می‌یابد (شکل ۵-۷)، در این زمان متحمل تبلور تفریقی و آلایش پوسته‌ای شده‌اند. توقف کوتاه مدت مagma و تبلور اولیه آن به تشکیل انباشته‌هایی از کانی‌های فرومیزین به ویژه هورنبلند و پیروکسن (اوژیت) و تشکیل سنگ‌های نسبتاً دانه درشت با ترکیب گابرویی، دیوریتی، گابرودیوریتی و پگماتوئیدی- دیوریتی منجر شده است. با صعود مجدد magma تا حدودی تبلور یافته به ترازهای بالاتر پوسته، بخش‌هایی از magma قبل تبلور یافته بصورت لخته‌های مافیک و انباشته‌های بلوری توسط magma حمل شده و بصورت آنکلاو تجلی پیدا کرده‌اند.

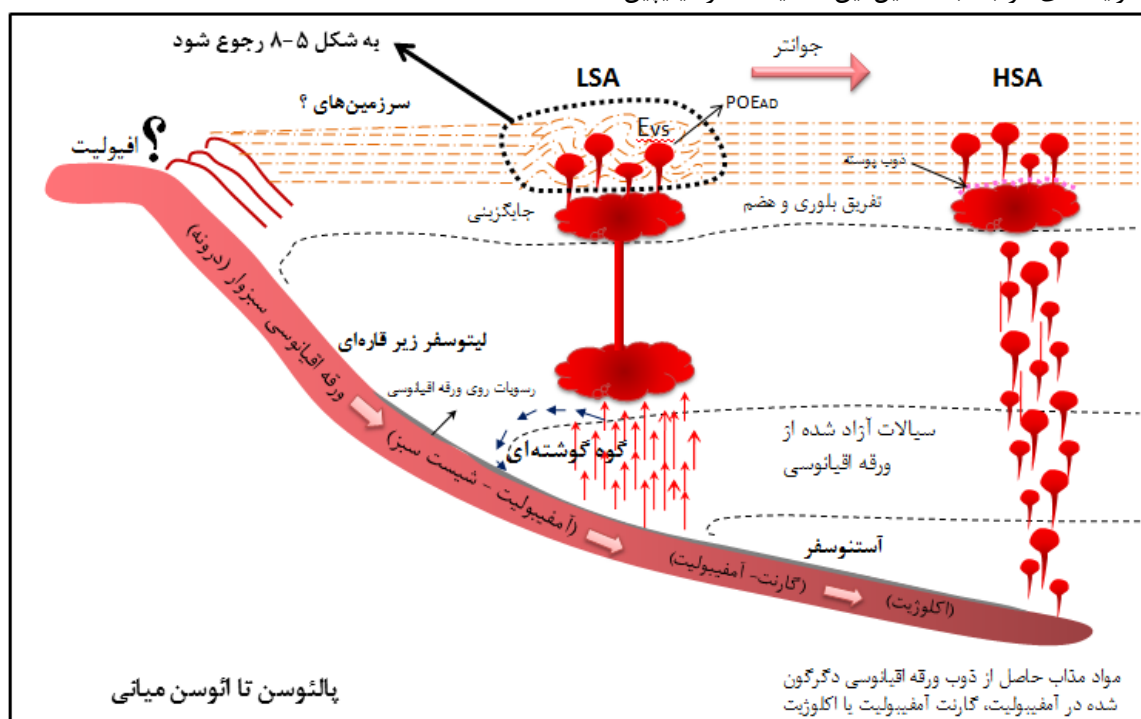
این مذاب‌ها ضمن صعود قطعاتی از سنگ‌های میزبان اتاق‌های ماقمایی را بصورت آنکلاوهای آمفیبولیتی، گنیسی، گلبروی و تونالیتی و ... با خود حمل کرده که به طور پراکنده در آنها یافت می‌شوند.

در نهایت مذاب‌هایی که به درون پوسته بالایی صعود کرده‌اند بصورت سیل، دایک و گنبد جای گرفته‌اند. سپس بر اثر بالا آمدگی و فرسایش، احتمالاً در اواخر الیگوسن یا در اوایل میوسن بر روی سطح زمین رخنمون پیدا کرده‌اند (شکل ۵-۸). وجود لایه‌های کنگلومراتی سرشار از قطعات سنگی تراکی داسیتی و تراکی آندزیتی سرچشم‌های گرفته از گنبدهای تراکی داسیتی و تراکی آندزیتی در شمال غرب روستای رضا آباد (خارتوران) در بین مارن‌ها و مارن‌های گچ دار الیگومیوسن مؤید این امر است.

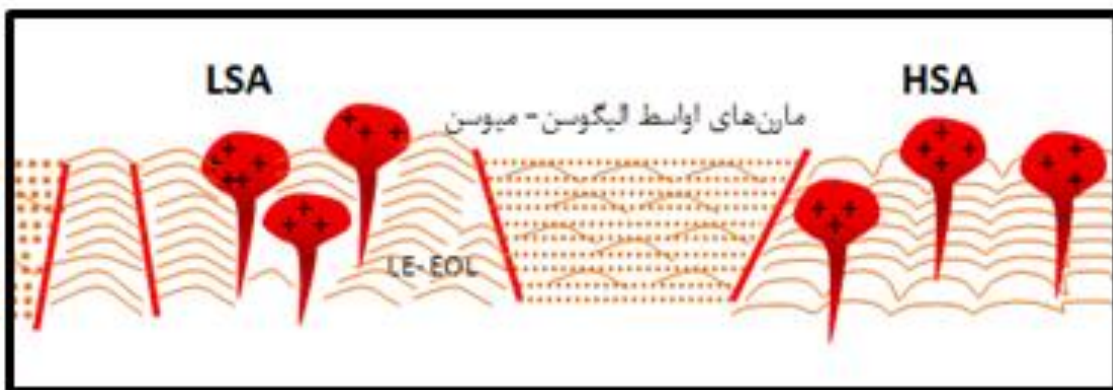
معمولًا همراه با سنگ‌های آداسیتی کانسارسازی از نوع Fe,Cu,Au,Pb,Zn,Mn مشاهده می‌شود، لیکن در منطقه مورد مطالعه کانه‌زایی خاصی مشاهده نشد. جمشیدی و همکاران (۱۵-۲۰)، نیز با توجه به مطالعات میکروپریوپ و ترموبارومتری که انجام داده‌اند، ایده‌ای مشابه برای تشکیل گنبدهای آداسیتی مشابه در شمال و شمال غرب سبزوار، ارائه داده‌اند. در ضمن الگوی مشابهی برای جایگزینی ماقما برای منطقه مورد مطالعه نیز پیشنهاد شده که در شکل نشان داده شده است (شکل ۵-۹).



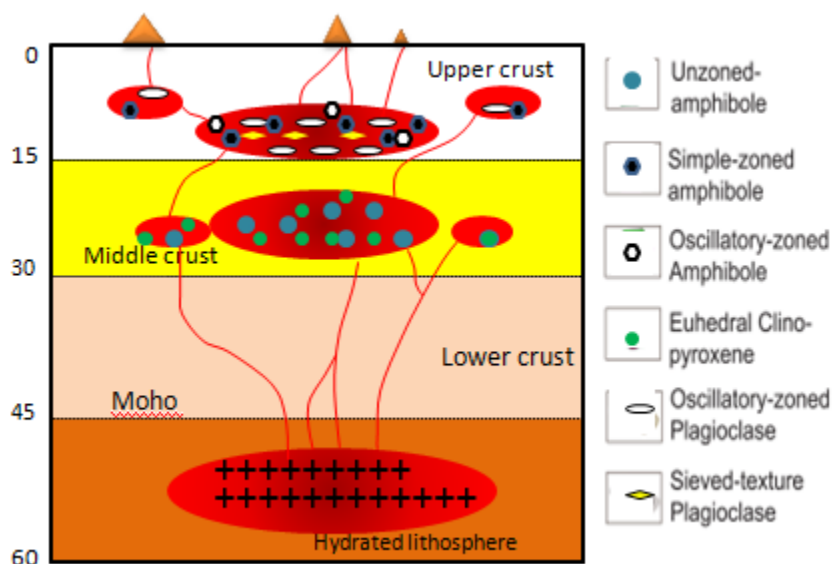
شکل ۵-۶-الگوی احتمالی پیشنهاد شده توسط مکفرسیون (۲۰۰۶)، برای تشکیل سنگ‌های آدکیتی کم سیلیس و فرایندهای مرتبط با تشکیل این آدکیت‌ها در فیلیپین.



شکل ۵-۷-الگوی نمادین نشان دهنده چگونگی تشکیل ماقماهای سازنده توده‌های نیمه نفوذی آدکیتی جوانتر از ائوسن در منطقه مورد مطالعه و مناطق همجوار نظیر احمدآباد و مقیسه. لازم به ذکر است، نمایش همه فرایندهای دگیر در تشکیل آدکیت‌های مورد مطالعه در قالب یک مدل و به خصوص در یک شکل نمی‌تواند همه واقعیت‌ها را انعکاس دهد، ولی تا حد امکان به واقعیت نزدیک است.



شکل ۵-۸- الگوی نمادین نشان‌دهنده وضعیت جایگیری و رخنمون یافتن گنبدهای آداسیتی مورد مطالعه در اواخر الیگومن-میوسن به تشکیل حوضه‌های فروافتاده درون قاره‌ای پر شده توسط رسوبات مارنی و ماسه‌سنگی و گهگاه بازالتی الیگو میوسن در این تصویر توجه نمائید (بدون در نظر گرفتن ورقه فرورونده).



شکل ۵-۹- الگوی نمادین جایگزینی توده‌های آذرین نیمه‌عمیق (سنگ‌های آداسیتی مورد مطالعه) بعد از اوسن منطقه سبزوار (جمشیدی و همکاران، ۲۰۱۵).

## ۵-۶- مقایسه آداسیت‌های مورد مطالعه با آداسیت‌های سایر نقاط ایران و جهان

از مقایسه آداسیت‌های مورد مطالعه با سایر آداسیت‌های مطالعه شده در ایران دریافتیم که این آداسیت‌ها بیشترین شباهت را با بخشی از آداسیت‌های جنوب غرب بیرجند و آداسیت‌های منطقه شرق-رزه دارند. آداسیت‌های جنوب غرب بیرجند دارای طیف ترکیبی آندزیت-تراکی آندزیت، داسیت-تراکی داسیت، ریولیت و سینیت می‌باشند و در اثر ذوب ورقه اقیانوسی فرورونده (فرورانش ورقه اقیانوسی) بیرجند متشکل از افیولیت‌ها کذب متشکل از افیولیت‌ها و

سنگ‌های آتشفسانی- تخریبی اوسن) در یک زون فرورانش قوسی و در اثر تبلور تفریقی به همراه آلایش ماقمایی به وجود آمده‌اند که در این میان ذوب گوه گوشه‌ای متاسوماتیسم شده نیز در این فرایند نقش بسزایی داشته است (دلاور، ۱۳۸۹). آدکیت‌های منطقه باشتن نیز دارای طیف ترکیبی ریولیت، داسیت، تراکی‌داسیت، آندزیت و آندزیت هستند. این آدکیت‌ها از ذوب بخشی ورقه اقیانوسی فرورونده (فرورانش ورقه اقیانوسی سبزوار به زیر ورقه اقیانوسی دیگر) در یک زون فرورانش قوسی، از طریق نخ ذوب بخشی متوسط و تبلور تفریقی در فشار بالا حاصل شده‌اند (صالحی، ۱۳۸۷). نوار آتشفسانی کالک‌آلکالن- آلکالن سنوزوئیک جنوب قوچان در شمال نوار افیولیتی سبزوار که در آن گنبدهای تراکی‌آندزیتی، آندزیتی، تراکیتی، داسیتی و ریوداسیتی رخنمون دارد. شواهد ژئوشیمیایی موجود در این گنبدها حاکی از ماهیت کالک‌آلکالن، نقش تبلور تفریقی و فرآیندهای هضم و آلایش ماقمایی در تکوین و تحول ماقمای آن‌ها، ماهیت فرورانش قوس قاره‌ای منطقه، وجود یک سنگ منبع اکلوژیتی یا گارنت آمفیبولیتی حاصل از دگرگونی ورقه اقیانوسی فرورانده شده سبزوار است (تنها، ۱۳۸۸، قاسمی و همکاران، ۱۳۸۹).

سنگ‌های آدکیتی شهر فیروزه (غرب- شمال غرب نیشابور) دارای طیف ترکیبی تراکی‌آندزیت، داسیت و ریولیت می‌باشند و از ذوب بخشی ورقه اقیانوسی فرورانش شده سبزوار و متعاقب آن واکنش‌های مذاب‌های تولید شده با گوه گوشه‌ای- پریدوتیتی حاصل شده‌اند (دهنوی، ۱۳۸۸). (جدول ۱-۵).

به احتمال قوی آدکیت‌های مورد مطالعه، حاصل تبلور مواد مذابی هستند که از ذوب گوه گوشه‌ای متاسوماتیسم شده سر چشم‌ه گرفته‌اند. این آدکیت‌ها، با آدکیت‌های حاصل از ذوب پوسته پایینی و آدکیت‌های حاصل از ذوب ورقه اقیانوسی فرورانشی دارای تفاوت چشم‌گیری دارند. این تفاوت‌ها به طور عمدۀ شامل اختلاف در مقادیر  $\text{La/Yb}$ ،  $\text{Ba/La}$ ،  $\text{Sr/Y}$  است.

مقایسه مربوط به این بحث به صورت جداول ارائه شده است (جدول ۱-۵ و جدول ۲-۵).

جدول ۵ - مقایسه ویژگی‌های ژئوشیمیایی آداسیت‌های مورد مطالعه با آداسیت‌های سایر نقاط ایران.

آداسیت‌های شهر فیروزه (غرب نیشابور)	آداسیت‌های جنوب قوچان	آداسیت‌های جنوب غرب بیرجند	آداسیت‌های منطقه شرق رزه	آداسیت‌های منطقه مردمانه مطالعه	ویژگی مورد بررسی
۶۰/۰۹ - ۶۷/۱۸	بیشتر از ۶۹/۳	بیشتر از ۶۱/۳	۵۶ - ۶۱/۵	۵۱/۳۸ - ۵۹/۰۲	$\text{SiO}_2$
۱۶/۳۸	کمتر از ۱۷/۶۶	بیشتر از ۱۶/۳۸	۱۵ - ۱۷	۱۵/۲۶ - ۱۶/۷۸	$\text{Al}_2\text{O}_3$
۱/۶۷ - ۳۷/۳	کمتر از ۴/۹۸	کمتر از ۳/۰	۳/۱ - ۳/۵	۳/۹ - ۹/۰۹	$\text{MgO}$
۴/۶ - ۶/۹۲	۴ - ۶	۳/۷ - ۶/۵	۳/۵ - ۴/۵	۳/۲۳ - ۵/۰۱	$\text{Na}_2\text{O}$
۰/۴۵ - ۱/۹۸	۰/۲ - ۳/۴	۰/۲ - ۳/۴	۲/۵ - ۵	۲/۴۷ - ۳/۴۶	$\text{K}_2\text{O}$
۲۱۹ - ۹۹۴	۴۹۷	۱۳۰ - ۷۳۰	۵۹۸ - ۱۱۰۰	۴۷۹ - ۱۰۲۱	$\text{Sr}(\text{ppm})$
۱/۶۷/۳	۱۶/۳۸	۱۶/۳۸	۱۵ - ۱۷	۱۵/۲۶ - ۱۶/۷۸	فقط آنومالی منفی Eu
۱/۶۷ - ۳۷/۳	۴/۹۸	۳/۰	۳/۱ - ۳/۵	۳/۹ - ۹/۰۹	فقط آنومالی منفی Eu
۱۸/۶	۱۵	کمتر از ۱۸/۶	۱۴ - ۲۰	۱۰/۶ - ۱۴/۵	$\text{Y}(\text{ppm})$
۲۱ - ۸۸	۲۰	۴۶/۵۷	۴۱ - ۸۰	۱۰/۶ (میانگین)	$\text{Sr/Y}$
۱ - ۱/۶۷	۱/۹	۱/۵۴	۱۰/۳ - ۱/۴۴	۱۰/۳ (میانگین)	$\text{Yb}(\text{ppm})$
۷ - ۱۱	۱۶	۱/۵۶	۹ - ۱۴	۹ - ۱۴ (میانگین)	$\text{La/Yb}$
۱/۷	۱/۸	۱/۸	۲/۶ (میانگین)	۴/۲۵	$(\text{Ta}, \text{Nb})/\text{HFSE}$
۱/۷	۱/۸	۱/۸	۱/۸ (میانگین)	۴/۲۵	$\text{Rb/La}$
۱۸/۵	۱۸	۱۸	۱۲ (میانگین)	۲۸/۲۳	$\text{Ba/La}$
(۱۳۸۸)	۱۳۸۷	۱۳۸۷	دلاور (۱۳۸۹)	ساداتی جمالی (۱۳۹۳)	منبع
(۱۳۸۸)	۱۳۸۷	۱۳۸۷	همکاران (۱۳۸۹)	منصوری (۱۳۹۴)	منبع

جدول ۵ - ۲- مقایسه ویژگی‌های ژئوشیمیایی آداسیت‌های مورد مطالعه با آداسیت‌های سایر نقاط جهان.

آداسیت‌های آداسیتی در Xuelonghao جنوب چین	آداسیت‌های غرب کراتون غرب آفریقا	آداسیت‌های شمال چین	آداسیت‌های دابی (چین مرکزی)	آداسیت‌های جنوب	آداسیت‌های مورد مطالعه
۶۲ - ۷۲	۵۰ - ۷۳	۵۷ - ۶۳/۵	۵۱/۰۸ - ۷۱/۰۳	$\text{SiO}_2$	۴۸ - ۵۸
۱۴/۳ - ۱۷/۷	۱۳ - ۱۹/۷	۱۴/۳ - ۱۶/۳	۱۵/۴۷ - ۱۷/۶۸	$\text{Al}_2\text{O}_3$	۱۴/۵۸ - ۱۷/۸۳
۰/۲ - ۲/۳	۰/۸ - ۰/۱۵	۲/۱۳ - ۴/۵۵	۰/۶۷ - ۵/۲	$\text{MgO}$	۲/۶۱ - ۸/۷۰
۴/۱ - ۶/۷	۲ - ۶/۴	۳/۹ - ۴/۱۸	۲/۸۵ - ۵/۰۳	$\text{Na}_2\text{O}$	۳/۷۹ - ۵/۵۸
۰/۴ - ۱/۹	۰/۲ - ۱/۳	۲/۵ - ۳/۴۸	۲/۳۶ - ۶/۸۹	$\text{K}_2\text{O}$	۱/۸۶ - ۳/۵۰
۳۲۰ - ۷۷۵	۱۰/۸ - ۴۹۸	۵۸۰ - ۷۸۰	۶۷۵ - ۱۳۰۹	$\text{Sr}(\text{ppm})$	۵۶۶/۱ - ۱۵۰۶/۲
۵/۴	۲۱/۴	۱۳ - ۲۱	۴/۴۳ - ۱۶/۷	فقط آنومالی منفی Eu	آنومالی منفی Eu
۱۲۲/۷	۲۵	۳۰/۵ - ۴۹	۱۰/۶/۴ (میانگین)	فقط آنومالی منفی Eu	$\text{Y}(\text{ppm})$
۰/۵	۲	۱/۲ - ۱/۹	۰/۳۹ - ۱/۵۳	فقط آنومالی منفی Eu	$\text{Sr/Y}$
۲۲/۵	۹/۲	۳۰ (میانگین)	۵۵ (میانگین)	فقط آنومالی منفی Eu	$\text{Yb}(\text{ppm})$
۶/۲	۶/۲ (میانگین)	۳۰ (میانگین)	۵۵ (میانگین)	فقط آنومالی منفی Eu	$\text{La/Yb}$
۶/۲	۶/۲ (میانگین)	۳۰ (میانگین)	۵۵ (میانگین)	فقط آنومالی منفی Eu	$\text{HFSE} (\text{Nb}, \text{Ta})$
۱۰/۴/۲	۱۳ (میانگین)	۳ (میانگین)	۱/۹ (میانگین)	فقط آنومالی منفی Eu	$\text{Rb/La}$
۱۰/۴/۵	۲۱/۵ (میانگین)	۱۵ - ۶۰	۱۹/۸۸ (میانگین)	فقط آنومالی منفی Eu	$\text{Ba/La}$
ذوب بخشی ورقه اقیانوسی فورونده	ذوب بخشی پوسته پایینی و اکتش با پریدوتیت گوه گوشتهای	ذوب بخشی پوسته پایینی و اکتش با پریدوتیت گوه گوشتهای	ذوب بخشی پوسته پایینی	نحوه تشکیل	منبع
ژوو و همکاران (۲۰۰۶)	برآورده همکاران (۲۰۰۴)	وانگ و همکاران (۲۰۰۷)	دی چانگ زو (۲۰۱۲)	منصوری (۱۳۹۴)	منبع

## فصل ششم

نتیجه گیری و پیشنهادها

## ۶-۱- نتیجه‌گیری

مهمترین نتایجی که می‌توان از این تحقیق گرفت به قرار زیر می‌باشند:

- منطقه مورد نظر بخشی از نوار ماقمایی شمال ایران مرکزی است که فعالیت‌های ماقمایی آن عمدتاً در دوره زمانی اوسن بالایی به وقوع پیوسته است.
- در این منطقه تعدادی گنبد نیمه عمیق با ترکیب غالب تراکی آندزیتی و تراکی آندزی بازالتی وجود دارد. میزبان این گنبدها مجموعه آتشفسانی و آتشفسانی-رسوبی اوسن است.
- این گنبدها دارای آنکلاوهای متنوع با اندازه‌ها و اشکال مختلف هستند و بر حسب اینکه از جنس خود ماقما باشند یا نباشند، می‌توان آنها را به دو دسته زینولیتی و اтолیتی تقسیم‌بندی کرد. آنکلاوهای زینولیتی در واقع بیگانه سنگ‌های مربوط به پوسته قاره‌ای هستند که به همراه ماقما حمل شده‌اند و نشان دهنده آلایش و هضم پوسته‌ای بوده و شامل: آنکلاوهای گنیسی، آمفیبولیتی و میکاشیستی هستند. آنکلاوهای اтолیتی نیز مربوط به خود ماقما هستند و شامل آنکلاوهای هورنبلنیتی، آنکلاوهای پیروکسنیتی، و آنکلاوهای میکروگرانولار مافیک هستند.
- سنگ‌های مورد مطالعه دارای ساخت جریانی، گلومروپورفیری و پورفیری هستند.
- کانی‌های اصلی این سنگ‌ها پلاژیوکلاز، هورنبلند و اوژیت هستند، کانی‌های فرعی شامل بیوتیت و کانی‌های اوپک می‌شوند و کانی‌های ثانویه آنها نیز کلسیت، کلریت و... می‌باشند. پلاژیوکلاز در واقع کانی فلزیک این سنگ‌ها به شمار می‌آید که هم به صورت ریز بلور در زمینه سنگ و هم به صورت فنوکریست مشاهده می‌شود. هورنبلند موجود در این سنگ‌ها بیشتر از نوع هورنبلند سبز است و در اکثر موارد با حاشیه سوخته حضور دارد. و پیروکسن این سنگ‌ها اغلب از نوع تیتان اوژیت بوده و در مواردی دارای ماکل ساعت شنی است.
- نمودارهای تغییرات عناصر اصلی و کمیاب در برابر سیلیس (هارکر)، ضریب تفریق و انجاماد نشان می‌دهند که تفریق ماقمایی و تبلور تفریقی پدیده غالب در تحول ماقمای والد سازنده سنگ‌های مورد مطالعه است. البته با توجه به حضور گسترده لخته‌های مافیک متخلک از هورنبلند و اوژیت و

آنکلاوهای میکروگرانولار، اختلاط ماقمایی نیز در تحول سنگ‌های مورد مطالعه نقش ایفا کرده‌اند ولی به علت محدود بودن آنالیزهای شیمیایی و نحوه انتخاب نمونه‌های سنگی جهت آنالیز، انعکاس آن در نمودارهای ژئوشیمیایی به سادگی امکان‌پذیر نیست.

- نمونه‌های سنگی مورد مطالعه دارای ماهیت کالک‌آلکالن پتابسیم بالا هستند.  
- عناصر کمیاب نمونه‌های مورد مطالعه الگوی موازی و یکسان نشان می‌دهند، این موضوع نشان دهنده منشأ واحد برای ماقمای سازنده این نمونه‌ها است. غنی شدگی از عناصر کمیاب خاکی سبک (LREE) و تهی شدگی از عناصر کمیاب خاکی سنگین (HREE) نشان دهنده وقوع تبلور تفریقی و ماقماتیسم نوع متالومین نوع حاشیه قاره‌ای است و در ارتباط با فرایند فرورانش ورقه اقیانوسی به زیر ورقه قاره‌ای حاصل می‌باشد.

- غنی شدگی از عناصری مانند K، Rb، Cs، Ba، Pb، Sr و Th نشان دهنده انجام تبلور تفریقی و آلایش پوسته‌ای است.

- ناهنجاری منفی P، Ta، Ti و Nb و ناهنجاری مثبت Pb از ویژگی‌های شاخص سنگ‌های کمان ماقمایی حاشیه قاره‌ای است.

- شواهدی که برای اختلاط ماقمایی می‌توان نام برد عبارتند از: لخته‌های مافیک (شواهد صحرایی)، حضور بافت‌های غیرتعادلی و خوردگی (شواهد پتروگرافی)، نمودار نسبت  $Rb/Zr$  در برابر  $K_2O/Na_2O$  (اسپرانسا و همکاران، ۱۹۹۲) و نمودارهای عنکبوتی (شواهد ژئوشیمیایی).

- نمودار نسبت  $Rb/Zr$  در برابر نسبت  $K_2O/Na_2O$  (اسپرانسا) نشان می‌دهد که نمونه‌های سنگی مورد مطالعه از روند تبلور تفریقی همراه با هضم و آلایش پوسته‌ای تبعیت می‌کنند.

- با توجه به نمودار  $Sr/Y$  در برابر  $Y(ppm)$  (کاستیلو، ۲۰۱۲) و مقایسه ویژگی‌های ژئوشیمیایی نمونه‌های مورد مطالعه با ویژگی‌های آداسیت‌ها، این نمونه‌ها در زمرة آداسیت‌ها قرار می‌گیرند. و همچنین با توجه به تقسیم‌بندی آداسیت‌ها به دو گروه کم سیلیس و غنی از سیلیس (توسط

مارtin و همکاران، ۲۰۰۵)، آدکیت‌های منطقه مورد مطالعه به گروه آدکیت‌های کم سیلیس تعلق دارند.

- همچنین مقایسه آدکیت‌های رزه با آدکیت‌های مطالعه شده در نقاط مختلف جهان بیانگر آن است که این آدکیت‌ها بسیاری از ویژگی‌های آدکیت‌های مرتبط با گوه گوشه‌ای متاسوماتیسم شده را

نشان می‌دهند و با آدکیت‌های مرتبط با ذوب بخشی پوسته پایینی که دارای مقادیر بالاتر نسبت‌های Ba/La و Sr/Y، La/Yb، Rb/La

در مجموع با توجه به شواهد ژئوشیمیایی ذوب بخشی گوه گوشه‌ای متاسوماتیسم شده مناسب‌ترین منشاء برای تشکیل سنگ‌های منطقه مورد مطالعه می‌باشد.

## ۶- پیشنهادها

- انجام آزمایشات سن سنجی برای تعیین سن دقیق گنبدها.

- آنالیزهای میکروپرورپ بر روی برخی کانی‌های مناسب برای دما و فشار سنجی.

- تعیین نسبت‌های بعضی از ایزوتوپها به منظور تعیین دقیق ویژگی‌های محل منشأ سنگ‌های منطقه مورد مطالعه.

- مطالعه عوامل ساختاری و زمین ساختی موجود در منطقه به منظور تعیین نحوه جایگیری گنبدهای نیمه عمیق در سنگ میزبان آنها.

# **منابع**

## منابع فارسی:

- امامی م، (۱۳۷۹)، "ماگماتیسم در ایران، سازمان زمین‌شناسی و اکتشافات معدنی کشور، ۸۰۶ صفحه.
- اشتوكلين و همکاران (۱۳۵۲)، "بررسی مقدماتی زمین‌شناسی در لوت مرکزی، شرق ایران"، انتشارات سازمان زمین‌شناسی و اکتشافات معدنی کشور.
- آسیابانها ع، (۱۳۷۴)، "بررسی میکروسکوپی سنگ‌های آذرین و دگرگونی"، مترجم، چاپ اول، انتشارات دانشگاه بین المللی امام خمینی، ص ۶۳۰.
- آقانباتی ع، (۱۳۸۳)، "زمین‌شناسی ایران"، چاپ اول، انتشارات سازمان زمین‌شناسی و اکتشافات معدنی کشور، ص ۶۰۶.
- بحیرایی ز، خلعتبری جعفری م، (۱۳۹۲)، "ژئوشیمی سنگ‌های آتشفسانی ایوسن محدوده رزه، جنوب شاهروند"، اولین همایش زمین‌شناسی کاربردی، دانشگاه دامغان.
- بحیرایی ز، (۱۳۸۹)، پایان‌نامه ارشد: "پترولوزی سنگ‌های آتشفسانی شمال تا شمال باختری ترود"، سازمان زمین‌شناسی و اکتشافات معدنی کشور.
- برهمند م، قاسمی ح، (۱۳۸۹)، "ب، بررسی عوامل تهی‌شدگی و تهی‌نشدگی عناصر HFS در ماگماتیسم آلکالن پشت قوسی الیگوسن ایران مرکزی در نواحی گرم‌سار و احمدآباد". چهارمین همایش ملی زمین‌شناسی دانشگاه پیام نور، ۱۴ آبان ماه ۱۳۸۹ تا ۱۲ آبان ماه ۱۳۸۹، دانشگاه پیام نور مشهد، صفحات ۱۹۸ تا ۲۰۴.
- برهمند م، قاسمی ح، (۱۳۸۹)، "الف، زمین‌شناسی و ژئوشیمی سنگ‌های آذرین نیمه عمیق موجود در سازند قرمز زیرین ناحیه گرم‌سار". چهاردهمین همایش انجمن زمین‌شناسی ایران و بیست و هشتمین گردهمایی علوم زمین، ۲۵ تا ۲۷ شهریور ماه ۱۳۸۹، دانشگاه ارومیه.
- برهمند م، قاسمی ح، طاهری ع، صادقیان م، (۱۳۸۹)، "ژئوشیمی و پتروژئن روانه‌های بازالتی الیگوسن احمدآباد (جنوب شرق شاهروند)". هجدهمین همایش بلور‌شناسی و کانی‌شناسی ایران، ۲۴ و ۲۵ شهریور ماه ۱۳۸۹، دانشگاه تبریز، صفحات ۱۷۹ تا ۱۸۴.

- برهمند م، (۱۳۸۹)، پایان نامه ارشد: "بررسی موقعیت چینه شناسی و پتروژنر بازالت های نئوژن منطقه‌ی احمدآباد (خارتوران، جنوب شرق شاهروند)"، دانشکده علوم زمین دانشگاه صنعتی شاهروند، صفحه ۱۴۵.

- بлагی اینالو ز، صادقیان م، جای، م، قاسمی ح، مجلل م، (۱۳۹۳)، "کانی‌شناسی، زمین‌شیمی و سن پرتوسنجی دایک‌های مافیک موجود در مجموعه دگرگونی دلبر، بیارجمند (جنوب شرق شاهروند)"، مجله بلورشناسی و کانی‌شناسی، سال بیست و دوم، شماره سوم، ص ۴۷۱-۴۸۴.

- بлагی اینالو ز، صادقیان م، جای، م، قاسمی ح، علیمحمدیان ح، (۱۳۹۳)، "کاربرد شیمی کانیها در دما- فشارسنجی سنگ‌های متاپلیتی مجموعه دگرگونی دلبر، بیارجمند (جنوب شرق شاهروند)"، اولین همایش زمین‌شیمی کاربردی، دانشگاه دامغان.

- بлагی ز، صادقیان م، قاسمی ح، مجلل م، (۱۳۹۲)، "ژئوشیمی و سن‌سنجدی U-Pb- سنگ‌های گرانیتی کمپلکس دگرگونی- آذرین دلبر (بیارجمند)، جنوب شرق شاهروند"، هفدهمین همایش انجمن زمین‌شناسی ایران، دانشگاه شهید بهشتی.

- پیرمحمدی علیشاه ف، جهانگیری ا (۱۳۹۲)، "مطالعات زمین شیمی سنگ‌های آتشفسانی سهند(شمال‌غرب ایران)" مجله ژئوشیمی، سال اول، شماره چهارم، صفحات ۳۰۱ تا ۳۰۸.

- تنها ع، قاسمی ح، (۱۳۸۷)، "پتروژنر گنبدهای نیمه آتشفسانی شمال مشکان (جنوب قوچان)"، شانزدهمین همایش انجمن بلورشناسی و کانی‌شناسی ایران، دانشگاه گیلان، صفحات ۳۸۵ تا ۳۹۰ رشت.

- تنها ع، (۱۳۸۸) پایان نامه ارشد: "پتروژنر سنگ‌های آذرین نئوژن شمال عنبرآباد (مشکان)"، دانشگاه صنعتی شاهروند، ص ۱۸۸.

- جمشیدی خ، قاسمی ح، صادقیان م، (۱۳۹۳)، "سنگ‌شناسی و زمین‌شیمی سنگ‌های آدکیتی پرسیلیس پسا افیولیتی سبزوار" مجله پترولوزی، سال پنجم، شماره هفدهم، صفحات ۵۱ تا ۶۸.

- حسینی ح، صادقیان م و قاسمی ح، (۱۳۹۲)، "سنگ‌شناسی، زمین‌شیمی و جایگاه چینه‌شناسخانی اجتماعات دایکی دیابازی قطع کننده توده گرانیتوبییدی بند هزارچاه (جنوب شرق شاهروند) شاهدی بر مأگماتیسم سیمرین میانی"، مجله ژئوشیمی، سال اول، شماره ۴، ص ۳۰۹ تا ۳۱۷.

- حسینی ح، صادقیان م و قاسمی ح، (۱۳۹۲)، الف- "اهمیت کنگلومرای سرشار از قطعات گرانیتی به سن اواخر تریاس- اوایل ژوراسیک در تعیین جایگاه چینه‌شناسی توده‌های گرانیتیوئیدی بند هزارچاه بیارجمند و جنوب غرب میامی"، هفدهمین همایش انجمن زمین‌شناسی ایران، دانشگاه شهید بهشتی تهران.
- حسینی ح، صادقیان م و قاسمی ح، (۱۳۹۲)، ب- "سنگ‌شناسی، زمین‌شیمی و جایگاه چینه‌شناختی اجتماعات دایکی دیابازی قطع کننده توده گرانیتیوئیدی بند هزارچاه (جنوب شرق شهرود) شاهدی بر مagmaتیسم سیمرین میانی"، مجله ژئوشیمی، سال اول، شماره ۴، ص ۳۰۹ تا ۳۱۷.
- خاکی خ، امامی، م، محمدی س، س، نصر اصفهانی ع، (۱۳۹۰)، "سنگ‌شناسی و جایگاه زمین- ساختی سنگ‌های آذرین توشیری در منطقه دوکوهه (جنوب غرب بیرجند)" مجله بلور‌شناسی و کانی- شناسی ایران، سال نوزدهم، شماره چهارم، صفحات ۷۳۵ تا ۷۴۸.
- خواجه زاده، م ح، (۱۳۸۸)، پایان نامه ارشد، "پترولوزی و ژئوشیمی توده‌های آذرین نفوذی شمال معلمان". دانشکده علوم زمین، دانشگاه صنعتی شهرود.
- درویشزاده ع، (۱۳۸۲)، "زمین‌شناسی ایران"، انتشارات امیر کبیر، ص ۹۰۱.
- دلاور، ز. (۱۳۸۹)، پایان نامه ارشد، "پترولوزی و ژئوشیمی گنبدهای ساپولکانیک جنوب غرب بیرجند"، دانشکده علوم زمین، دانشگاه صنعتی شهرود.
- دلاور. ز، صادقیان م، (۱۳۸۹)، "پترولوزی و ژئوشیمی گنبدهای و جایگاه تکتونیکی گنبدهای آذرین بیرجند"، بیست و نهمین گردهمایی علوم زمین، سازمان زمین‌شناسی و اکتشافات معدنی کشور.
- دلاور ز، صادقیان م، (۱۳۸۹)، "پتروژنز گنبدهای آدکیتی جنوب غرب بیرجند"، چهارمین همایش انجمن زمین‌شناسی ایران و بیست و هشتمین گردهمایی علوم زمین، دانشگاه ارومیه.
- دلاور ز، صادقیان م، فردوست ف، (۱۳۸۹)، "ماگماتیسم الیگوسن در منطقه جنوب غرب بیرجند"، چهارمین همایش ملی زمین‌شناسی دانشگاه پیام‌نور، دانشگاه پیام‌نور مشهد.

- دلاور ز، صادقیان م، فردوست ف، قاسمی ح، (۱۳۸۹)، "پترولوزی و پتروشیمی بازالت‌های پلیوکواترنر جنوب‌غرب سرچاهشور (صمد آباد)"، هجدهمین همایش بلورشناسی و کانی‌شناسی ایران، دانشگاه تبریز.
- دهنوی ن، (۱۳۸۸)، پایان‌نامه کارشناسی ارشد "پترولوزی و پتروشیمی سنگ‌های آذرین منطقه شهر فیروزه (غرب نیشابور) و کانه‌زایی وابسته به آن"، دانشگاه صنعتی شاهروド، ۱۷۵ ص.
- دهنوی ن، مهدی زاده شهری ح، صادقیان م، (۱۳۸۷)، "پترولوزی و پتروشیمی گنبد‌های ساب-ولکانیک شهر فیروزه (بزغان) در غرب نیشابور"، دوازدهمین همایش انجمن زمین‌شناسی ایران، اهواز.
- سعیدی، س. (۱۳۸۹)، پایان نامه ارشد، "پترولوزی و پتروشیمی گنبد‌های ساب-ولکانیک بیرجند"، دانشکده علوم زمین، دانشگاه آزاد واحد شاهروド.
- سلطانی، ا. (۱۳۸۵)، "تعیین سن بیوتیت-سنگ کل به روش Rb-Sr روی گرانیت کاشمر، بیست و پنجمین گردهماهی علوم زمین.
- رحمتی ایلخچی، م. (۱۳۸۲)، گزارش ورقه ۱:۱۰۰۰۰ رزو، انتشارات سازمان زمین‌شناسی و اکتشافات معدنی کشور.
- صادقی ع، (۱۳۸۸): پایان‌نامه کارشناسی ارشد، "پترولوزی و پتروشیمی توده گرانیتوئیدی ششتمد (جنوب سبزوار)"، دانشگاه صنعتی شاهروド.
- صادقیان م، قاسمی ح، (۱۳۸۶)، "پترولوزی و پتروشیمی سنگ‌های آذرین بعد از ائوسن نوار افیولیتی سبزوار"، یازدهمین همایش انجمن زمین‌شناسی ایران، دانشگاه فردوسی مشهد، صفحات ۱۲۴۱ تا ۱۲۴۸.
- صالحی نژاد ح، صادقیان م، قاسمی ح، (۱۳۸۷) "پترولوزی و پتروژنر ماقم‌تیسم آدکیتی در منطقه باشتین، غرب سبزوار"， دوازدهمین همایش انجمن زمین‌شناسی ایران، اهواز.
- صالحی نژاد، ح. (۱۳۸۷)، پایان نامه ارشد، "بررسی پترولوزی و پتروشیمی گنبد‌های ساب-ولکانیک منطقه باشتین (جنوب‌غربی سبزوار)"، دانشکده علوم زمین، دانشگاه صنعتی شاهروド.

- فارسی ز، (۱۳۸۶): پایان نامه کارشناسی ارشد، "پترولوزی و ژئوشیمی توده گرانیت‌وئیدی چاه سالار (جنوب غرب نیشابور)"، دانشگاه صنعتی شاهرود.
- فارسی ز، صادقیان م، (۱۳۸۶)، "پترولوزی و ژئوشیمی توده گرانیت‌وئیدی چاه سالار (جنوب غرب نیشابور)، یازدهمین همایش انجمن زمین‌شناسی ایران، دانشگاه فردوسی مشهد.
- فتح آبادی، ف. (۱۳۹۳)، پایان نامه ارشد، "زمین‌شناسی، پترولوزی و ژئوشیمی گنبدهای ساب-ولکانیک منطقه مقیسه (جنوب‌غربی سبزوار)"، دانشکده علوم زمین، دانشگاه صنعتی شاهرود.
- فتح‌آبادی ف، قاسمی ح، (۱۳۹۳)، "شوahد ماگماتیسم آدکیتی پرسیلیس بعد از اؤسن در منطقه مقیسه (جنوب‌غرب سبزوار)" هفدهمین همایش انجمن زمین‌شناسی ایران، آبان‌ماه ۱۳۹۲.
- فتح‌آبادی ف، قاسمی ح، صادقیان م، جمشیدی خ، (۱۳۹۳)، "پتروژنز گنبدهای آدکیتی نئوژن منطقه مقیسه (جنوب‌غرب سبزوار)" هفتمین همایش ملی تخصصی زمین‌شناسی دانشگاه پیام‌نور.
- فتح‌آبادی ف، قاسمی ح، صادقیان م، جمشیدی خ، (۱۳۹۲) "پترژنز گنبدهای ساب‌ولکانیک منطقه مقیسه (جنوب‌غربی سبزوار)" هفتمین همایش ملی تخصصی زمین‌شناسی، دانشگاه پیام‌نور، خرم‌آباد.
- قاسمی ح، الهیاری س، طاهری ع، صادقیان م، (۱۳۹۲)، "موقعیت چینه‌شناختی و تحلیل بافتی سنگ‌های آتشفسانی نوار آتشفسانی- رسوی عباس‌آباد، شمال شرق شاهرود". پژوهش‌های چینه‌نگاری و رسوب‌شناسی، سال بیست و نهم، شماره اول، ۴۴-۲۵ ص.
- قاسمی ح، برهمند م، صادقیان م، (۱۳۹۰)، "گدازه‌های بازالتی الیگو سن شرق و جنوب شرق شاهرود: شاهدی بر جایگاه پشت کمانی حوضه الیگو- میوسن ایران مرکزی". مجله پترولوزی، سال دوم، شماره هفتم، صفحات ۷۷ تا ۹۴.
- قاسمی ح، تنها ع، صادقیان م، خانعلی‌زاده ع، (۱۳۸۷)، "اولین گزارش از ماگماتیسم آدکیتی نئوژن در جنوب قوچان"، دوازدهمین همایش انجمن زمین‌شناسی ایران، اهواز.
- قاسمی ح، جمشیدی خ، (۱۳۹۰)، "ژئوشیمی سنگ شناسی و الگوی تکتونوماگمایی پیشنهادی برای تشکیل سنگ‌های بازی قلیایی در قاعده سازند شمشک، زون البرز شرقی"، مجله بلور‌شناسی و کانی‌شناسی ایران، صفحه ۷۱۴-۶۹۹.

- قاسمی ح، صادقیان م، خانعلیزاده ع، تنها ع، (۱۳۸۹)، "سنگ شناسی، ژئوشیمی و سن تابش سنجی گنبدهای آداسیتی پرسیلیس کمان قاره‌ای نئوژن، جنوب قوچان". مجله بلور شناسی و کانی شناسی ایران ۳: ۳۴۷-۳۷۰.
- قاسمی ح، فتاحی ا، (۱۳۸۳)، "ماگماتیسم نئوژن در منطقه سرولات (جنوب قوچان)", هشتمین همایش انجمن زمین شناسی ایران، شاهروд.
- قاسمی ح، لنکرانی م، همام م، (۱۳۸۹)، "پترولوزی سنگ‌های آذرین"، مترجم، چاپ اول، مشهد، ص ۵۵۶.
- محمدی س، زرین‌کوب م ح، کرامتی ف، (۱۳۹۰) "ژئوشیمی و پتروژن سنگ‌های آتشفشاری ترشیری منطقه حسین آباد(جنوب باختر بیرجند، خاور ایران)" مجله پترولوزی، سال دوم، شماره ششم، صفحه ۸۳ تا ۹۶.
- محمدی گورجی ا، قربانی ق، شفاهی مقدم ۵، (۱۳۹۱)، "منشاء ماگماتیسم آداسیت‌های پرسیلیس شمال‌غرب سبزوار"، اولین همایش زمین‌شناسی فلات ایران، کرمان.
- مر ف، مدبیری س، (۱۳۸۴)، "کاربرد داده‌های زمین شیمی"، مترجم، چاپ اول، مرکز نشر دانشگاهی، تهران، ص ۴۵۲.
- معین وزیری ح و احمدی ع، (۱۳۷۱)، "پتروگرافی و پترولوزی سنگ‌های آذرین" ، انتشارات دانشگاه تربیت معلم، ص ۱۷۵.
- موسوی ا، (۱۳۸۸)، پایان‌نامه کارشناسی ارشد، "پترولوزی و ژئوشیمی سنگ‌های آتشفشاری منطقه چغدر سر (جنوب غرب عباس‌آباد) و کانه زایی وابسته به آن" ، دانشکده علوم زمین، دانشگاه صنعتی شاهروд.
- ولی‌زاده م، صادقیان م، اکرمی م ع، (۱۳۸۰)، "انکلاوهای پترولوزی گرانیت"، مترجم، چاپ اول، انتشارات دانشگاه تهران، ص ۸۲۳.

## Reference

- Alavi M. (1991) "Sedimentary and structural characteristics of the Paleo-Tethys remnants in Iran". Geological society of America Bulletin. Vol 103, pp 983-992.
- Alvaro, J.J., Ezzouhairi, H., Vennin, E., Ribeiro, M.L., Clausen, S., Chrif, A., Ait- Ayad, N., and Moreira, M.E., (2006)."The early- Cambrian Boho volcano of the El Graraa massif, Morocco; Petrology, Geodynamic setting and coeval sedimentation", Jurnal of African Earth Science, 44, 396- 410.
- Atherton, M.P., Petford, N, (1993)."Generation of sodium- rich magmas from newly underplated basaltic crust". Nature 362, 144- 146.
- Balaghi Einalou, M., Sadeghian, M., Zhai, M., Ghasemi, H., Mohajjal, M., (2014). "Zircon U-Pb ages, Hf isotopes, and geochemistry of the schists, gneisses and granites in Delbar metamorphic-igneous complex, SE of shahrood (Iran): Implications for Neoproterozoic geodynamic evolutions of Central Iran", Journal of Asian Earth Sciences, 2014.
- Beraaouz, EH., Ikenne, M., Madi, A., Lahmam, M., Gosquet, D, (2004)."Neoproterozoic granitoids associated with the Bou- Azzer ophiolitic melange (Anti- Atlas, Morocco): evidence of adakitic magmatism in a segment at the NW edge of the West- African craton". Jurnal of African Earth, 39, 285- 293.
- Best M.G., Christiansen E.H., (2001) "Igneous Petrology. Blackwell Science". 458pp.
- Best G. (2003) "Igneous and metamorphic petrology". 729pp.
- Castillo, P.R., (2006)"An overview of adakite petrogenesis". Chinese Science Bulletin 51, 257- 268.
- Castillo, R., (2012)" Adakite petrogenesis". USA. journal of Lithos, 304- 316.

- Cox K.G., Bell, J.D., Pankhursts, R.J., (1979). “The interpretation of igneous rocks. George Allen and Unwin”, 450 p.
- Davidson J.P., De Silva S.L., Holden P. and Holliday A.N., (1987) “Small-Scale disequilibrium in a magmatic inclusion and its more silicic host”. Journa Geophysics. Vol 95, pp 17661-17675.
- Defant, M.J., Drummond, M.S., (1990). “Derivation of some modern arc magmas by melting of young subducted lithosphere” . Nature 347, 662-665.
- Devin G.D. Singurdsson H.J volc."Geotherm" Res (1995) 69- 35.
- Didier, J., 1964, Etue petrographique des enclaves de quelques granites du Massif Central Francais, Ann, Fac. Sci. Univ. Clermont- Ferrond, 23:254pp.
- Didier, J., 1973, Granite and Their Enclave: The Bearing of Enclave on the origion of granites. Devolopment in petrology, 3 Elsevier, Amesterdam, 393pp.
- Esperanca, S., Crisci, M., derosa, R., Mazuli R., (1992). “ The role of-The crust in The magmatic evolution of The Island lipari (Aeolian island , Italy) ”. Contributions To Mineralogy To Island Arc. Journal of Geology 86, 323-334 .
- Gao S., Rudnick R. L., Yuan H. L., Liu X. M., Liu Y. S., Xu W. L., Ling W. L., Ayers J., Wang X. C., and Wang Q. H. (2004)“Recycling lower continental crust in the North China craton”. Nature 432, 892- 987.
- Guo, Z., Hertogen, J., Liu, J., Pasteels, P., Boven, A., Punzalan, L., He, H., Luo, X., Zhang, W., (2005). “Potassic magmatism in western Sichun and Yunnan provinces, SE Tibet, China: petrological and geochemical constraints on petrogenesis”. Journal of Petrology 46, 33- 78.
- Gupta Alok K. (2007) “Petrology and genesis of igneous rocks”. 479 pp.

- Harker, A., (1909). “The Natural History of Igneous Rock, Methuen Co. London”.
- Hibbard, M. Sabatiye, J., (1998). “The magma mixing origin of mantal feldspars. Contrib. Mineral”. Petrol. vol 79, PP 158- 170.
- Irvine, T.N., and Baragar, W.R.A.(1971). “A guide to chemical classification of the common volcanic rocks”. Can. J. Sci, 8, 523- 548.
- Jahangiri A. (2007) “Post-collisional Miocene adakitic volcanism in NW Iran: geochemical and geodynamic implications”. Journal of Asian Earth Sciences. Vol 30, pp 433-447.
- Jamshidi K., Ghasemi H., Troll V.R., Sadeghian M., Dahren B.,(2015) “Magma storage and plumbing of adakite- type post-ophiolite intrusions in the Sabzevar ophiolitic zone, northeast Iran”.Solid Earth. Vol 6, pp 49-72.
- Jamshidi K., Ghasemi H., & Sadeghian M. (2014) “Petrology and geochemistry of the Sabzevar post-ophiolitic high silica adakitic rocks”. Petrology. (2228-5210), 5(17).
- Kamei, A, (2004). “An adakitic pluton on Kyushu Island, southwest Japan arc tsushi”. Journal of Asian Earth Sciences 24, 43- 58.
- Kay, R.W., Kay, S.M., (1993). “Delamination and delamination magmatism”. Tectonophysics. 219, 177- 189.
- Kuno H., (1975). “Differentiation of Hawaiian magmas“. Japanese. J. Geol, Geog, 28.
- Macpherson, C.G., Dreher, S.T., Thirlwall, M.F., (2006). “Adakites without slab melting: High pressure differentiation of island arc magma, Mindanao, the Philippines”. Earth and Planetary Science Letters 243, 581– 593.
- Martin, H., Smithies, R. H., Rapp, R., Moyen, J. F. & Champion, D. (2005). “An overview of adakite, tonalite–trondhjemite–granodiorite

(TTG), and sanukitoid: relationships and some implications for crustal evolution“. Lithos 79, 1- 24.

- Middlemost, E.A.K., (1994). “Naming materials in The magma/igneous rock System”. Longman Groun u. k., pp. 73- 86.

-Moyen, J.F., (2009). “High Sr/Y and La/Yb ratios: “The meaning of the“adakitic signature”. LITHOS.

- Nakamura N. (1974). “Determination of REE, Ba, Fe, Mg, Na and K in carbonaceous and ordinary chondrites. Geochim. Cosmochim”. Acta , 38, 757- 775.

- Pearce, J.A., Harris, B.W., Ttindle, A. G. (1984). Trace element of iseriminant diagrams for the tectonic interpretation of granitic rocks. Journal of petrology. 25. PP .983- 956.

- Peccerillo R., Taylor S.R. (1976). “Geochemistry of Eocene calc-alkaline volcanic rocks from the Kastamonu area, northern Turkey”. Contrib. Mineral. Petrol., 58, 63- 81.

-Rahmati Ilkhchi M., Jerebek P., Faryad Sh., Koyi Hemin A., (2010) “Mid-Cimmerian, Early Alpine and Late Cenozoic orogenic events in the Shotur Kuh metamorphic complex, Great Kavir block, NE Iran”. Tectonophysics. Vol 494, pp101-117.

-Rapp, R.P., Shimizu, N., Norman, M.D., Applegate, G.S., (1999) “Reaction between slabderived melts and peridotite in the mantle wedge: experimental constraints at 3.8 GPa”. Chemical Geology 160, 335- 356.

- Rollinson, H. (1993). “Using geochemical data: ealuation, presentation, interpretation”. Longman.

- Sen, N. Dunn, NG ., (1994). C. Sen and T. Dunn, “Dehydration melting of a basaltic composition amphibolite at 1.5 and 2.0 Gpa: implications for the origin of adakites”. Contrib. Mineral. Petrol. Vol. 117, pp. 394- 409.

- shabanian, E. Acocella, V. Gioncada, A. Ghasemi, H. Bellier, O,(2012). “Structual control on volcanism in itraplated post collisional setting: Late Cenozoic to Quaternary examples of Iran Estern Turkey”. Jornal of TECTONIC, vol. 31, TC3013.25.
- Shafaii Moghadam H. S., Khademi M., Hu Z., Stern R. J., Santos J. F., & Wu Y. (2015) “Cadomian (Ediacaran–Cambrian) arc magmatism in the ChahJam–Biarjmand metamorphic complex (Iran): magmatism along the northern active margin of Gondwana”. *Gondwana Research*, 27(1), 439-452.
- Shahabpour J., (2007) “Island – arc affinity of the central Iranian volcanic belt”. Journal of Asian Earth Science. Vol 30, pp 652 – 665.
- Shelly D. (1993). “Igneous and metamorphic rocks under microscope classification features, microstructures and mineral preferred orientations”. Chapman & Hall, London. 405pp.
- Slaby, E., Gotze, j.(2004). "Feldespar crystallization under magma mixing conditions shown by cathodoluminescence and geochemical modelling: a case study from the Karkonosze pluton (SW Poland)". *Mineralogical Magazine*, Vol. 68, pp. 561-577.
- Spise. O., Lencsh. G., Mihm, A., (1980). Geochemistry of the post-ophiolitic tertiary volcanics between Sabzevar and Guchan/NE-Iran. Internal report of geological and mining exploration of Iran, pp. 248- 263.
- Stern, C. R. Kilian, R., (1996). “Role of the subducted slab mantle wedge and continental crust in the generation of adakites from the evidence from mantle interaction-evidence from mantle xenoliths in the north Kamchatka arc”. Jornal of petrology, vol. 36, pp. 1505- 1527.
- Spies O., Lensch G. and Mihem A., (1983) “Chemistry of the post-ophiolitic tertiary volcanics between sabzevar and Quchan/NE-IRAN”.

Geodynamic project (geotraverse) in Iran, final report. Geology Survey of Iran, Report. Vol 51, pp 247-265.

- Sun, S.S., and MC Donough, W.F. (1989). "Chemical and isotopic systematics of oceanic basalts: implications for mantle composition and processes. In: Saunders, AD. And Norry , M.J. (eds), Magmatism in oceanic basins. Geol". Soc. London. Spec. Pub, 42, 313- 345.
- Thoronton , C.P., and Tattle. O.F., (1960). "chemistry of igneous rocks: Differentiation index, Am". Sci., v258. 664- 684.
- Ulmer, P.,(2008). "Differentiation of mantle-derived calc-alkaline magmas at mid to lower crustal levels: experimental and petrologic constraints".Periodico Di Mineralogia, 76 (2- 3), 309- 325.
- Wang, Q., Wyman, D.A., Zhao, Z.H., Xu, Ji.F., Bai, Z.H., Xiong X.L., Dai, T.M., Li, C.F., Chu, Z.Y., (2007). "Petrogenesis of Carboniferous adakites and Nb- enriched arc basalts in the Alataw area, northern Tianshan Range (western China): Implications for Phanerozoic crustal growth in the Central Asia orogenic belt". Chemical Geology 236, 42- 64.
- Wang, Q., Xu, J.F., Jian, P., Bao, Z.W., Zhao, Z.H., Li, C.F., Xiong, X.L., Ma, J.L., (2006) "Petrogenesis of adakitic porphyries in an extensional tectonic setting, Dexing, for thegenesis of porphyry copper mineralization".J. Petrol.47, south China: implications 119- 144.
- Weaver S.A., Kar A., Davidson., Colucci M., (1996) "Geochemical characteristics of volcanic rocks from ascension island, south Atlantic ocean. pp 14-40.
- Wilson M. (1989) "Igneous petrogenesis a global tectonic approach". Department of earth science, University of leeds. 466pp.
- Wilson M., Shimron A. E., Rosenbaum J. M., Preston j., (2000) "Early Cretaceous magmatism of Mount Hermon, Northern Israel". Contrib Mineral Petrol. 139, 54±67.

- Winchester J. A. and Floyd P.A., (1977) “Geochemical discrimination of different magma series and their differentiation products using immobile element Geology”. Chemical Geology. Vol 20, pp 249-287.
- Winter O, (2001) “An introduction of igneous and metamorphic petrology”. Department of Geology at Whitman College. 697pp.
- Yogodzinski G.M., Kay R.W., Volynets O.N., Koloskov A.V., Kay S.M., (1995) “Magnesian Andesite in the Western Aleutian Komandorsky Region- implications for slab melting and processes in the mantle wedge”. Geological Society of America Bulletin. Vol 107, pp 505–519.
- Wood D.A., Joron J.L., And Treuil M., (1979) “A re-appraisal of the use of trace elements to classify and discriminate between magma series in different tectonic settings. Earth Planet Sciences. Vol 45, pp 326- 336.
- Xu W.L., Wang Q.H., Wang D.Y., Guo J.H., (2006) “Mesozoic adakitic rocks from the Xuzhou- Suzhou area, eastern China: Evidence for partial melting of delaminated lower continental crust”. Journal of Asian Earth Sciences. Vol 27, pp 326-336.
- Xu, X-W., Jiang, N., Yang, K., Zhang, B.L., Liang, G.H., Mao, Q., Li, J.X., Du, S.J., Ma, Y.G., Zhang, Y., Qin, K.Z., (2009) “Accumulated phenocrysts and origin of feldspar porphyry in the Chango area, western Yunnan, China”. Lithos. Vol 113, pp 595-611.
- Zho Z.H., Xiong X.L., Wang Q., Wyman D.A., Bao Z.W., Bai Z.H., Qiao Y.L., (2008) “Underplating-related adakites in Xinjiang Tianshan China”. Lithos. vol 102, pp 374- 391.
- Zho Z.H., Zho M.F.U., (2008) “Neoproterozoic adakitic plutons in the northern margin of the Yangtze Block, China: Partial melting of a thickened lower crust and implications for secular crustal evolution”. Lithos. vol 104, pp 231-248.

- Zhou M.F., Yan D.P., Wang C.L., Qi L., Kennedy A., (2006) “Subduction-related origin of the 750 Ma Xuelongbao adakitic complex (Sichuan Province, China): Implications for the tectonic setting of the giant Neoproterozoic magmatic event in South China”. *Earth and Planetary Science Letters*. Vol 248, pp 286–300.
- Zhu A.C., Zhao Z.D., Pan G.T., Lee H.Y., Kang Z.Q., Liao Z.L., Wang L.Q., Li G.M., Dong G.C. and Liu B., (2009) “Early cretaceous subduction-related adakite-like rocks of the Gangdese Belt, southern Tibet: Products of slab melting and subsequent melt-peridotite interaction?”. *Journal of Asian Earth Sciences*. vol 34, pp 298-309.

## **Abstract**

The study area is part of north of central Iran magmatic belt. It is located at 100 to 120 kilometers from Shahrood and at 30 kilometers to south – east from Sahl village, more precisely. North of central Iran magmatic belt includes a Paleocene to middle Eocene volcanic and volcano - sedimentary sequence. Volcanic rocks in this sequence have a trachy – basaltic to trachy- andesitic composition. Sedimentary rocks of this sequence are composed of crystal tuff, crystal- lithic tuff, lithic tuff, conglomerate, sand stone, silt stone, marl, gypsum-bearing marl and smaller amounts of nummulitic lime stones. Some sub volcanic bodies, in form of domes and dikes, cut the volcano-sedimentary sequence in upper Eocene. These bodies have a trachy-andesitic basalt to trachy- basalt composition. Their main minerals consist of plagioclase (andesine-oligoclase), clinopyroxene (augite), green hornblende (to oxy- Hornblende). Two groups of autolith enclaves (mafic Hornblenditic, Hornblenditic- pyroxenitic and mafic micro granular clods) and xenolith enclaves (micaschistic, amphibolitic, gabbroic, tonalitic) can be found in this rocks.

According to chemical analysis, fractional crystallization, assimilation and crustal contamination took part in evolutions of the plutonic igneous rocks parent magma. These rocks have an enrichment in light rare earth elements (LREE) and large ion lithophyle elements (LILE) such as La, Ce, Nd, K, Rb, Sr, Th, U and a depletion in heavy rare earths elements (HREE) and high filed strength elements (HFSE) such as Nb, Ta, Ti, Y, Yb, Lu. These Features are compatible with those of continental margin magmatic arc rocks.

According to geochemical properties, the domes and the trachyandesi -basaltic to trachy-andesitic dikes fall in to low silica adakite (LSA) class. Low silica adakite is the result of crystallization of magmas which derived from modified peridotitic mantel wedge melting.

According to geology of the area and general geology of the northern and north- eastern Iran in Eocene time, Sabzevar (Daruneh) neothetian oceanic crust subduction under Alborz southern edge and melting and evolution of mantle wedge ( as a result of the subduction) lead to form these magmatic rocks.

Key words: dome, trachy- andesite, mantle wedge, metasomatism, adakite, Sabzevar, Shahrood, Sahl.



**Shahrood University**

**Faculty of Earth Sciences**

**MSc thesis**

**Petrology and geochemistry of subvolcanic domes**

**in southeast of Sahle area (NE Torud)**

**Batoul Mansouri Moghaddam**

**Supervisor:**

**Dr. M. Sadeghian**

**Advisor:**

**Dr. H. Ghasemi**